

00  
UNIVERSIDADE FEDERAL DA PARAÍBA  
CENTRO DE CIÊNCIAS E TECNOLOGIA  
CURSO DE MESTRADO EM METEOROLOGIA

ESTUDO DA PRECIPITAÇÃO NO ESTADO DA PARAÍBA:  
REGIMES PLUVIAIS E CARACTERIZAÇÃO DE ANOS SECOS E CHUVOSOS

BERNARDO BARBOSA DA SILVA

CAMPINA GRANDE  
MARÇO - 1985

BERNARDO BARBOSA DA SILVA

ESTUDO DA PRECIPITAÇÃO NO ESTADO DA PARAÍBA: REGIMES PLUVIAIS  
E CARACTERIZAÇÃO DE ANOS SECOS E CHUVOSOS

Dissertação apresentada ao Curso de MESTRADO  
EM METEOROLOGIA da Universidade Federal da  
Paraíba, em cumprimento às exigências para  
obtenção do Grau de Mestre.

ÁREA DE CONCENTRAÇÃO: METEOROLOGIA APLICADA

MARGRIT HENRIETTE NITZSCHE

Orientadora

DIGITALIZAÇÃO:

SISTEMOTECA - UFCG

CAMPINA GRANDE

MARÇO - 1985\*

OFERECIMENTO

Aos meus pais

Francisco

e

Terezinha

ao meus filhos

Daniely

e

Junior

e à minha esposa

Verônica

ESTUDO DA PRECIPITAÇÃO NO ESTADO DA PARAÍBA: REGIMES  
PLUVIAIS E CARACTERIZAÇÃO DE ANOS SECOS E CHUVOSOS

BERNARDO BARBOSA DA SILVA

DISSERTAÇÃO APROVADA EM 28/03/85

*Margrit Henriette Nitzsche.*  
MARGRIT HENRIETTE NITZSCHE

Orientadora

*Antônio Carlos de Souza Reis*  
ANTÔNIO CARLOS DE SOUZA REIS

Presidente da Banca

*Pedro Vieira de Azevedo*  
PEDRO VIEIRA DE AZEVEDO  
Componente da Banca

CAMPINA GRANDE  
MARÇO — 1985

## AGRADECIMENTOS

Agradecemos à Professora Margrit Henriette Nitzsche pela valiosa orientação; ao Professor Mário Adelmo Varejão-Silva pelas sugestões apresentadas na redação do texto; ao Professor Manoel Francisco Gomes Filho (Coordenador do Mestrado) e à Professora Zenaide Rosa Sobral (Coordenadora do Núcleo de Meteorologia Aplicada) pelas facilidades oferecidas; ao Professor Pedro Vieira de Azevedo e ao Professor Antonio Carlos de Souza Reis pelas críticas e sugestões apresentadas; à Engª Eyres Diana pelo apoio computacional; à Desenhista Cleide Santos; à Lauridete Japiassú, pelo excelente trabalho datilográfico; aos alunos do Bacharelado em Meteorologia da UFPB, Francisco de Assis Salviano, Alberto Smith Martinez e Tereza Carolina Sobreira Cariry, pela colaboração prestada; à Superintendência de Desenvolvimento do Nordeste (SUDENE), na pessoa do Dr. Aidil Gusmão Carneiro da Silva; assim como àqueles que direta ou indiretamente contribuíram para a consecução deste trabalho.

## ABSTRACT

Total daily rainfall data from 1940 to 1977 at 32 stations in the state of Paraíba, were analized and four distinct rainfall regimes were identified. The maximum and minimum numbers of expected rainy days in the雨iest quarter of the year in each station, at a 80% probability level were determined employing the "quintis" technique. The different years are classified as "dry", "normal" and "rainy", based on the mean and standard deviation of the total annual rainfall. The characteristics of the "dry" and "rainy" years were determined by using those rainfall informations. A method is proposed to evaluate, at the beginning of the year, if a particular year will be "dry or normal" (SL) or "normal or rainy" (CL), by comparing the total rainfall observed, against a limiting value (L) which corresponds to a reference month ( $M_i$ ) in each station. Values of L and  $M_i$ , as well as the probability of occurrence of SL and CL years, associated to the possible situations ( $P \leq L$  and  $P > L$  in the  $M_i$  month) are included. Finally, a method is presented where the "quintis" technique is also applied, aiming to determine, at a 80% probability level, the expected amounts of maximum and minimum rainfall that might occur after the "Saint Joseph's day" ("Dia de São José" - 19th of March), as a function of the total rainfall actually observed till that day.

## RESUMO

Analisando-se os totais pluviométricos diários de 32 postos do estado da Paraíba (Brasil), referentes ao período de 1940 a 1977, identificam-se quatro regimes de precipitação. Determinam-se o número máximo e o número mínimo de dias chuvosos esperados no trimestre mais chuvoso de cada posto pluviométrico, ao nível de 80% de probabilidade, utilizando-se a técnica dos "quintis". Adota-se uma técnica, com base na média e desvio-padrão dos totais anuais de precipitação, para classificar os anos em "secos", "normais" e "chuvosos". Servindo-se dessas informações determinam-se as características pluviométricas de anos "secos" e "chuvosos" e propõe-se um método para avaliar, no início do ano civil, se este será "seco ou normal" (SL), ou, "normal ou chuvoso" (CL), comparando-se o total pluviométrico observado e um valor limite ( $L$ ), correspondentes a um mês de referência ( $M_i$ ), em cada posto. Valores de  $L$  e  $M_i$ , bem como as probabilidades de ocorrência de anos SL ou CL, associados às situações possíveis ( $P \leq L$  e  $P > L$ , no mês  $M_i$ ) incluem-se no texto. Por último, apresenta-se um método, também utilizando-se a técnica dos "quintis", visando determinar as quantidades — máxima e mínima de chuva — esperadas após o "dia de São José", em função do total pluviométrico observado até essa data, com probabilidade de 80%.

## S U M Á R I O

	<u>Página</u>
1. INTRODUÇÃO .....	01
2. REVISÃO BIBLIOGRÁFICA .....	05
3. MATERIAIS E MÉTODOS .....	09
3.1 - Levantamento de dados .....	09
3.2 - Escala aritmética simplificada .....	12
3.3 - Regimes pluviais com base em dados diários...	15
3.4 - Estimativa da ocorrência de dias com chuva no trimestre mais chuvoso .....	15
3.5 - Indicativo de ano "seco", "normal" ou " <u>chuvo</u> <u>so</u> " .....	16
3.6 - Estimativa da precipitação após o "dia de São José" .....	18
4. RESULTADOS E DISCUSSÕES .....	21
4.1 - Regimes pluviais .....	21
4.2 - Estimativa do número mínimo ( $N_m$ ) e máximo ( $N_x$ ) de dias chuvosos no trimestre mais chuvoso...	27
4.3 - Indicativo de ano "seco", "normal" ou " <u>chuvo</u> <u>so</u> " .....	29
4.4 - Estimativa da precipitação após o "dia de São José" .....	34
5. CONCLUSÕES.....	38
6. BIBLIOGRAFIA .....	40
7. APÊNDICES	

## LISTA DE ILUSTRAÇÕES

### Página

Figura 1 - Média aritmética (●—●—●) e desvio-padrão (---x---x---) dos regimes pluviais dos postos de cada um dos regimes identificados.....	22
Figura 2 - Características da precipitação pluviométrica em anos secos (●—●) e chuvosos (---x---x---) (A-C) e regime pluvial (D). Posto:Cajazeiras .....	31
Carta 1 - Nordeste Brasileiro com destaque para a região em estudo .....	02
Carta 2 - Localização geográfica dos 32 postos escolhidos e as 12 micro-regiões homogêneas do Estado .....	10
Tabela 1 - Postos pluviométricos utilizados.....	11
Tabela 2 - Total de dias analisados (TDA), freqüência média anual de dias chuvosos (FMADC), média ( $\bar{X}$ ) e desvio-padrão (S) dos totais anuais e os limites $X \pm S$ (período 1940/77).....	13
Tabela 3 - Escala Aritmética Simplificada e limites de abrangência de cada classe (em "mm" de precipitação) .....	14

Página

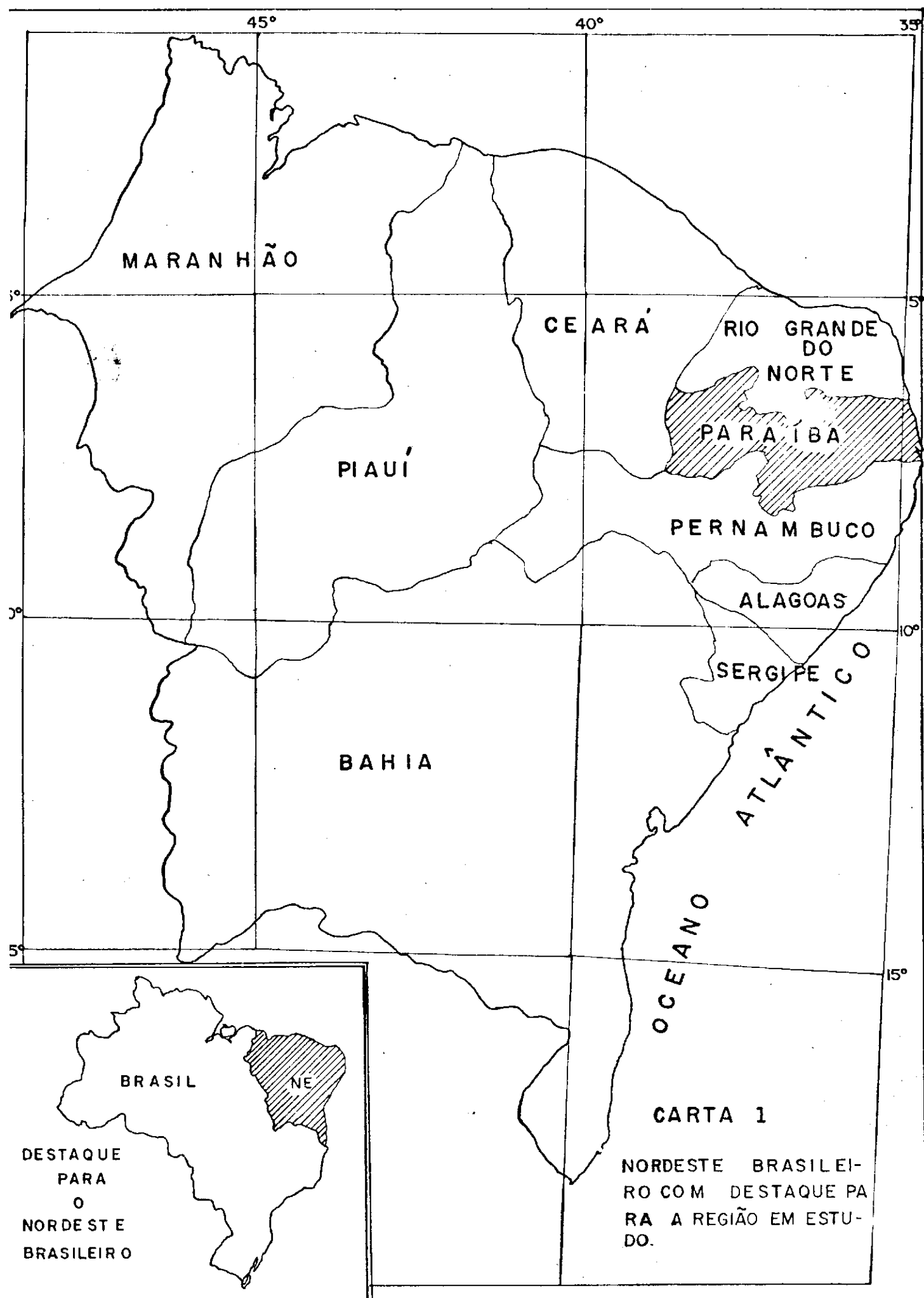
Tabela 4 - Número mínimo ( $N_m$ ) e número máximo ( $N_x$ ) de dias com chuva, em cada mês do trimestre com maior freqüência de dias chuvosos, com probabilidade de 80%.....	28
Tabela 5 - Probabilidade (em %) do ano ser "seco ou normal" ( $P_{SL}$ ) ou "normal ou chuvoso" ( $P_{CL}$ ) se a precipitação do mês $M_i$ for, respectivamente, inferior ou igual, ou superior ao valor limite $L$ .....	32
Tabela 6 - Porcentagem mínima ( $Q_1$ ) e máxima ( $Q_4$ ) da precipitação pluviométrica registrada no primeiro semestre do ano equinocial ao nível de 80% de probabilidade.	35

## 1. INTRODUÇÃO

O estado da Paraíba (Carta 1), compreendendo uma área de 56.372 Km<sup>2</sup>, onde vivem quase três milhões de habitantes, possui características climáticas de regiões semi-áridas em aproximadamente 70% de sua área. Como em tais regiões, também aqui a precipitação pluviométrica apresenta acentuada irregularidade espacial e temporal. Freqüentemente, sua população depara-se com o fenômeno das secas; em outras ocasiões, com excesso prejudicial de chuvas.

Na seca de 80/81, para que se tenha idéia de sua severidade, 115 municípios da Paraíba — que representam mais de 80% da área do Estado — decretaram "estado de emergência". Naquela ocasião quase 60% da sua população foi diretamente atingida por tal flagelo (BRASIL-SUDENE, 1981). Possivelmente, os prejuízos sócio-econômicos causados por essa calamidade seriam amenizados, caso existissem estudos que possibilitassem avaliar, em tempo hábil, se aqueles anos viriam a ser secos ou chuvosos.

A análise dos dados pluviais disponíveis no estado da Paraíba permite concluir que, nas áreas mais secas, os totais pluviométricos ocorridos em alguns meses podem resultar apenas das chuvas caídas em dois ou três dias. Daí porque, se faz necessário conhecer, não apenas a quantidade da precipitação mas, sobretudo, o modo como esta se distribui nos dias chuvosos de tais meses. Nesse sentido, são estudados os regimes pluviais com base em totais diários de precipitação, que além de possibilitar a delimitação de re-



giões com regimes de chuva idênticos, se constitui em valiosa informação ao planejamento de atividades agrícolas, bem como àquelas que dependam de recursos hídricos de origem pluvial. Em complemento ao estudo da pluviometria diária no estado da Paraíba, são determinados o número máximo e mínimo de dias com chuva, esperados ao nível de 80% de probabilidade, no trimestre mais chuvoso de cada posto pluviométrico selecionado.

São estabelecidos critérios discriminantes com o intuito de determinar o que vem a ser "ano seco", "ano normal" e "ano chuvoso". O estabelecimento desses critérios vai ao encontro do interesse crescente de parte da comunidade científica no sentido de se estabelecer com mais precisão as características pluviais de tais anos. Compartilhando dessa expectativa, uma parte desta pesquisa está orientada especificamente ao estudo das características pluviométricas apresentada por anos "secos" e "chuvosos". Como fruto preliminar desse estudo, propõe-se uma técnica que possibilita avaliar se o ano em curso virá a ser "seco" ou "chuvoso", a partir de informações coligidas num dos primeiros meses do mesmo.

Por outro lado, o sertanejo acredita que, quando não chove até o "dia de São José" (19 de março), todas as esperanças, até então existentes de que o ano em transcurso venha a ser chuvoso, chegam ao fim. Para tal crença poderá existir uma explicação científica, já que o "dia de São José" praticamente coincide com o equinócio de outono (21 de março) no Hemisfério Sul. Com o objetivo de buscar essa explicação são analisadas as quantidades de chuva caídas até o equinócio de outono e sua respectiva porcentagem em relação à precipitação "anual". Em seguida, utiliza-se um método que

permite estimar a quantidade máxima e mínima de chuva esperada no segundo semestre do ano equinocial, em função da chuva observada até o "dia de São José", com base na técnica dos "quintis".

## 2. REVISÃO BIBLIOGRÁFICA

Embora a precipitação pluvial constitua objeto de preocupação constante de pesquisadores voltados à problemática do Nordeste, poucos trabalhos, de fato, fogem ao tratado de isoetas médias. Só recentemente JACCON (1982) efetuou uma análise mais refinada dos totais anuais de precipitação usando várias leis probabilísticas, especificamente para a Paraíba, em busca da determinação de valores mais representativos da chuva esperada. De certo modo, os trabalhos de HARGREAVES (1973) e de AZEVEDO (1974) podem ser considerados pioneiros, no tocante à distribuição estatística de totais mensais e anuais de precipitação, usando o modelo probabilístico gama. No que concerne ao estudo de totais diários de chuva, porém, os textos disponíveis, relativos ao Nordeste, são bastantes raros.

SUBBARAMAYYA & RAO (1964) determinaram, para vários postos pluviométricos da Índia, a distribuição das frequências diárias de precipitação ( $p$ ), nos meses de julho e agosto, agrupando os dados em oito classes ( $p < 1$ ;  $1 \leq p < 5$ ;  $5 \leq p < 10$ ;  $10 \leq p < 20$ ;  $20 \leq p < 40$ ;  $40 \leq p < 80$  e  $p \geq 80$  em mm). Concluiram que a função hiperbólica poderia representar a distribuição empírica resultante.

DEVINCK (1971 a) estudou as características da precipitação diária para Concepción (Chile), durante 20 anos e fez a classificação dos totais pluviométricos diários segundo uma escala logarítmica. O citado autor concluiu que a distribuição estatística dos totais diários, naquela locali-

dade, obedece aproximadamente a lei de Galton para os casos considerados: 0,3 a 10,0 mm (anual), 0,6 a 6,0 mm (fevereiro) e 0,3 a 6,0 mm (junho). Caracterizou, ainda, o regime diário da precipitação na mesma localidade. DEVINCK (1971 b) realizou estudos de freqüência das intensidades diárias de precipitação em 30 postos pluviométricos, localizados no Chile. No seu trabalho considerou como "dia chuvoso" todo aquele com precipitação superior ou igual a 0,1 mm e utilizou três escalas pluviométricas (aritmética, logarítmica e aritmética simplificada) com intervalos e número de classes distintos. Determinou o regime diário de todos os 30 postos, delimitou regiões com idênticos regimes e analisou a variação desses regimes com a latitude, longitude e altitude.

LIMA (1975), trabalhando com a classificação dos totais diários da região Nordeste do Brasil, utilizando estações "litorâneas", "neutras" e "orográficas", determinou a função densidade de probabilidade (f.d.p.) para os postos escolhidos durante o mês de março. Incluiu, igualmente nesse trabalho, as freqüências acumuladas dos totais diários, a sequência de dias chuvosos, etc..

MILDE (1983) fez a classificação dos totais diários de precipitação para a região cacaueira do estado da Bahia e determinou cinco regimes diários distintos. Nesse estudo, fez ajustes de curvas às freqüências acumuladas, obtidas segundo a utilização de duas escalas pluviométricas (aritmética e aritmética simplificada), e determinou a probabilidade de ocorrência de dias secos e chuvosos, usando cadeias de Markov de primeira ordem.

STRANG (1972) constatou, ao estudar totais pluviométricos mensais, que no Nordeste brasileiro atuam três

sistemas de precipitação. Mostra, claramente, que a Paraíba está submetida a dois desses sistemas os quais determinam três regimes pluviais bem definidos. O primeiro, com máximo em março, cobrindo todo o Sertão do Estado; o segundo, tendo maio como o mês mais chuvoso, observado na costa atlântica; e por fim, o que apresenta máximo entre março e maio, localizado na zona central do Estado.

ROEDER (1975) efetuou um estudo sobre a pluviometria, utilizando totais mensais, na região cacaueira da Bahia. Analisou os diversos transcursos anuais e propôs uma metodologia para o cálculo da probabilidade de ocorrência de totais anuais de precipitação.

BRAGA (1984), realizando estudos sobre a distribuição da chuva no Rio Grande do Norte, determinou, com base nos totais de precipitação no trimestre mais chuvoso, anos "otimistas", "normais" e "pessimistas". Considerou ano "otimista" o que apresenta precipitação superior à lâmina de 75% de probabilidade, calculada sobre os totais do trimestre mais chuvoso, utilizando a distribuição gama incompleta. Analogamente, denominou ano "pessimista" àquele que apresenta precipitação inferior à lâmina de 25%, também no trimestre mais chuvoso e "normal" ao caso intermediário. No entanto, BRAGA (1984) não fez nenhuma consideração quanto à distribuição probabilística dos totais diários de chuva naquele Estado.

Recentemente, foram publicados novos trabalhos visando a determinar critérios discriminantes de anos secos e chuvosos. XAVIER & XAVIER (1984) consideraram cinco níveis relativos: "muito seco", "seco", "normal", "chuvoso" e "muito chuvoso", utilizando a técnica dos "quintis". Tal método

mostrou-se sensível a ponto de revelar anos com pouca precipitação, que não são referidos na cronologia histórica das secas. SILVA & MARQUES (1984) discutiram a aplicação de alguns índices estatísticos utilizados na caracterização de períodos secos e chuvosos para a região Nordeste do Brasil. Empregaram o desvio-padrão normalizado, a variabilidade relativa temporal, a variabilidade relativa e o coeficiente de variação, aplicados aos dados diários e mensais. Observaram que tais índices comportaram-se de maneira inversa à quantidade de precipitação na Região.

Da análise dos textos mencionados depreende-se que começa a surgir, na comunidade científica, um interesse marcante por estudos de regimes pluviais, distribuição probabilística de precipitação, etc.. Verifica-se, porém, a inexistência de trabalhos que visem a caracterizar regimes de chuva no Estado, com base em dados diários, bem como, estudos que possibilitem avaliar se o ano será "seco" ou "chuvoso", ainda no seu início.

### 3. MATERIAIS E MÉTODOS

#### 3.1 - Levantamento de dados

Os dados utilizados no presente estudo foram cedidos pela Divisão de Hidrometeorologia (HM), do Departamento de Recursos Naturais (DRN) da SUDENE. Referem-se a totais diários e mensais de chuva, coletados em 32 postos pluviométricos do estado da Paraíba.

O critério adotado para a seleção dos 32 postos pluviométricos envolvidos nesta pesquisa, levou em consideração a duração da série cronológica dos postos disponíveis, bem como, a localização geográfica dos mesmos. Procurou-se contemplar, do modo mais uniforme possível, todas as doze micro-regiões homogêneas do Estado (Carta 2). As coordenadas geográficas de cada um dos postos escolhidos figuram na TABELA 1.

O período escolhido compreende os anos de 1940 a 1977, que foi considerado o melhor por assegurar uma amostragem mínima de 30 anos de dados em todos os postos selecionados. Todos os meses com registros pluviométricos completos, dentro do período escolhido, foram considerados. Por este motivo, alguns postos pluviométricos não apresentam o mesmo número de anos com dados em todos os meses (ver APÊNDICE A).

Os critérios mencionados para a escolha dos postos possibilitou que fossem computados 78.098 dias com chuva, distribuídos em cada posto conforme apresenta a TABE

CARTA 2 - Localização geográfica dos 32 postos escolhidos  
e as 12 micro-regiões homogêneas do Estado.

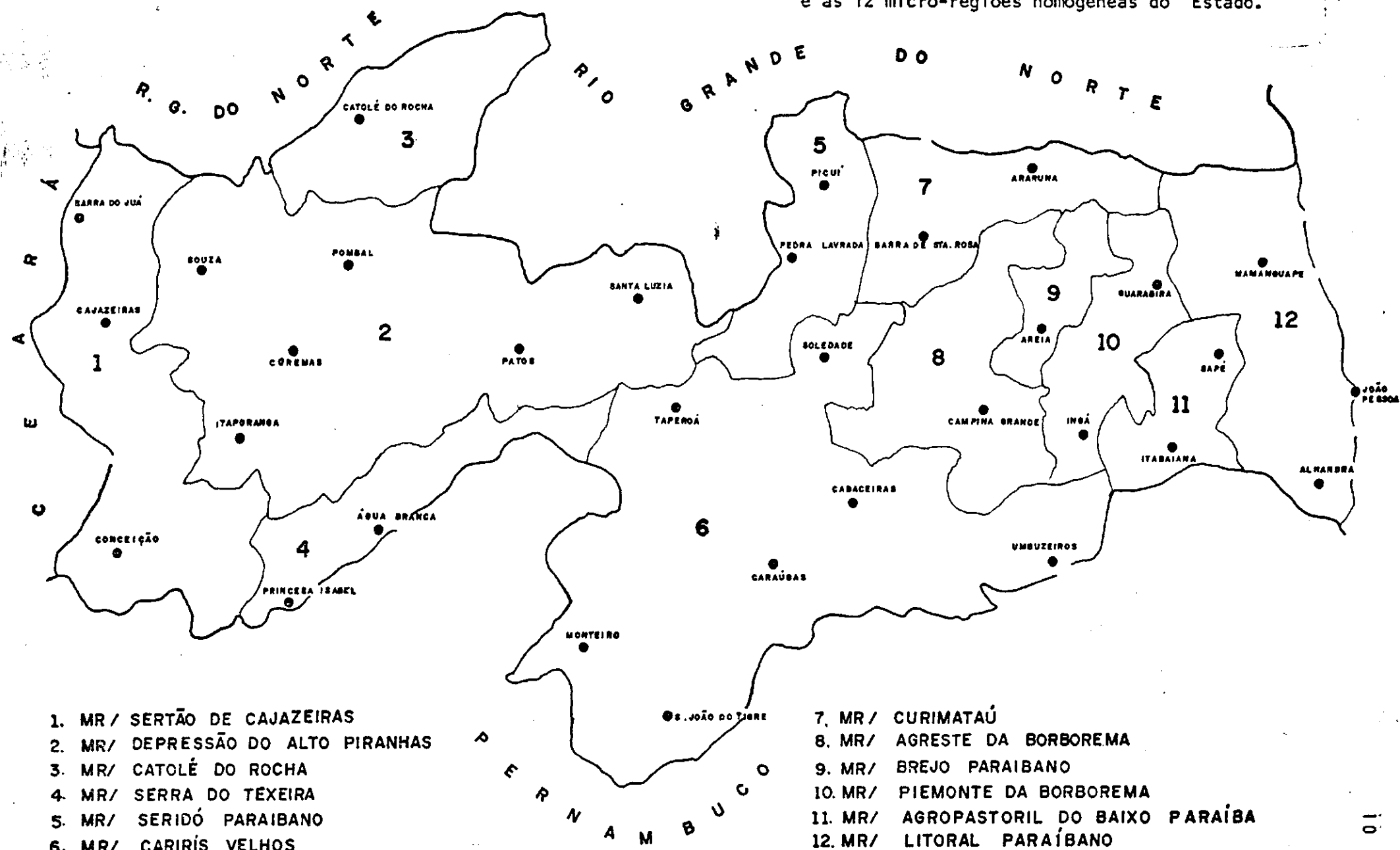


TABELA I

## Postos pluviométricos utilizados

Nome do Posto	Latitude (S) (graus e min)	Longitude (W) (graus e min)	Altitude (metros)
Água Branca	07 31	37 39	710
Alhandra	07 26	34 55	49
Araruna	06 31	35 44	580
Areia	06 58	35 42	645
Barra de Santa Rosa	06 43	36 04	440
Barra do Juá	06 32	38 34	500
Cabaceiras	07 30	36 17	390
Cajazeiras	06 53	38 34	291
Campina Grande	07 13	35 52	508
Caraúbas	07 43	36 31	460
Catolé do Rocha	06 21	37 45	250
Conceição	07 33	38 31	370
Coremas	07 01	37 58	220
Guarabira	06 51	35 29	89
Ingá	07 17	35 37	144
Itabaiana	07 20	35 20	45
Itaporanga	07 18	38 10	230
João Pessoa	07 07	34 53	5
Mamanguape	06 50	35 07	54
Monteiro	07 53	37 07	590
Patos	07 01	37 17	250
Pedra Lavrada	06 45	36 28	525
Picuí	06 31	36 22	450
Pombal	06 46	37 49	178
Princesa Isabel	07 44	38 01	660
Santa Luzia	06 52	36 56	290
Sapé	07 06	35 14	125
São João do Tigre	08 04	36 52	616
Soledade	07 04	36 22	560
Souza	06 45	38 14	200
Taperoá	07 12	36 50	500
Umbuzeiro	07 42	35 40	553

LA 2. Além dessas informações, constam ainda, na referida tabela: a freqüência média anual de dias chuvosos (FMADC), a média ( $\bar{X}$ ) e o desvio-padrão (S) dos totais anuais de chuva, bem como, os limites ( $X \pm S$ ) que são utilizados na discriminação de anos "secos", "normais" e "chuvosos".

### 3.2 - Escala aritmética simplificada

Foram considerados "dias chuvosos", os dias com precipitação pluviométrica mensurável, ou seja, os que apresentaram total pluvial superior ou igual a 0,1 mm.

A classificação dos totais pluviométricos diárias foi feita utilizando-se a escala aritmética simplificada que apresenta seis classes (TABELA 3). Na primeira delas (classe 0,1) foram agrupados os dias com precipitação diária superior ou igual a 0,1 mm e inferior a 2,0 mm. Toda precipitação que se verifica dentro dos limites desta classe é denominada de "chuva muito fraca". Na segunda classe (classe 2,0), são reunidos os dias com precipitações superior ou igual a 2,0 mm e inferior a 6,0 mm, genericamente chamadas de "chuvas fracas". É designada de "chuva moderada" toda precipitação superior ou igual a 6,0 mm e inferior a 10,0 mm; os dias com esta característica constituem, por sua vez, a terceira classe (classe 6,0). "Chuva forte" é a denominação dada à precipitação diária que ocorrer com intensidade superior ou igual a 10,0 mm e inferior a 30,0 mm, constituindo a quarta classe (classe 10,0). Por outro lado, é considerada "chuva muito forte" aquela superior ou igual a 30,0 mm e inferior a 60,0 mm (classe 30,0). A última classe (classe

TABELA 2

Total de dias analisados (TDA), freqüência média anual de dias chuvosos (FMADC), média ( $\bar{X}$ ) e desvio-padrão (S) dos totais anuais e os limites  $X \pm S$  (período 1940/77)

	TDA (dias)	FMADC (dias)	$\bar{X}$ (mm)	S (mm)	$\bar{X} + S$ (mm)	$\bar{X} - S$ (mm)
Barra do Juá	1.624	48,5	736,8	228,5	965,4	508,4
Cajazeiras	1.855	49,0	882,2	280,5	1.162,7	601,7
Catolé do Rocha	2.600	68,4	903,4	332,7	1.236,1	570,7
Coremas	2.111	59,2	844,1	308,8	1.152,9	535,3
Itaporanga	2.458	64,7	903,0	338,7	1.241,7	564,3
Patos	1.816	49,0	735,2	273,2	1.008,4	462,0
Pombal	2.153	57,3	761,5	253,7	1.015,2	507,8
Santa Luzia	1.661	43,8	556,3	241,3	797,6	315,0
Souza	1.688	45,3	806,3	288,3	1.094,6	518,0
Água Branca	1.451	38,5	728,0	289,4	1.017,4	438,6
Conceição	1.358	35,9	717,8	219,6	937,4	492,2
Princesa Isabel	1.996	52,6	838,9	264,7	1.103,6	574,2
Barra de Stª Rosa	1.456	38,9	352,3	196,0	548,3	156,3
Cabaceiras	969	26,2	304,7	200,9	505,9	103,8
Caraúbas	1.200	31,2	363,8	139,7	503,6	224,2
Monteiro	1.134	36,9	483,1	165,7	648,8	317,4
Pedra Lavrada	1.415	37,3	350,8	199,8	550,6	151,0
Picuí	933	27,7	314,4	155,2	469,6	159,2
São João do Tigre	1.034	27,9	520,9	251,3	772,1	269,5
Soledade	1.369	36,1	346,3	153,9	500,2	192,4
Taperoá	1.465	39,0	512,5	208,5	721,0	304,0
Araruna	2.971	78,2	852,8	244,2	1.097,0	608,6
Campina Grande	3.494	102,2	741,8	186,4	928,2	555,4
Guarabira	3.041	97,5	1.274,3	416,0	1.690,3	858,3
Ingá	4.568	102,4	630,8	202,2	833,0	428,6
Itabaiana	2.858	74,0	744,5	227,5	972,0	517,0
Mamanguape	3.450	93,8	1.345,3	363,6	1.708,9	981,7
Sapé	3.357	90,2	1.026,3	281,2	1.307,5	745,1
Umbuzeiro	2.877	76,0	738,1	272,0	1.010,1	466,1
Alhandra	5.760	152,5	1.624,9	416,5	2.041,4	1.208,4
Areia	5.854	176,5	1.396,0	289,8	1.686,8	1.106,2
João Pessoa	6.112	203,8	1.809,2	466,0	2.275,2	1.343,2

60,0) é formada pelos dias com precipitação superior ou igual a 60,0 mm, que são ditas "chuvas extremas".

Com o objetivo de possibilitar uma imediata identificação dos totais pluviométricos diários, contidos em cada classe, as mesmas são denotadas por seu limite pluviométrico inferior.

Um programa em FORTRAN foi elaborado com o objetivo de efetuar a classificação dos dados diários, segundo a citada escala aritmética. Tais resultados são apresentados sob forma de tabelas (ver APÊNDICE A) onde se incluem: o número total de meses com dados (NM) e de dias com precipitação (TDCP) no período estudado (1940/77), a freqüência absoluta (FA) e a freqüência relativa (FR) de cada uma das classes da escala aritmética simplificada.

TABELA 3

Escala Aritmética Simplificada e limites de abrangência de cada classe (em "mm" de precipitação)

Classe	Precipitação (mm)	Tipo de chuva
0,1	$0,1 \leq p < 2,0$	muito fraca
2,0	$2,0 \leq p < 6,0$	fraca
6,0	$6,0 \leq p < 10,0$	moderada
10,0	$10,0 \leq p < 30,0$	forte
30,0	$30,0 \leq p < 60,0$	muito forte
60,0	$60,0 \leq p$	extrema

### 3.3 - Regimes pluviais com base em dados diários

Segundo DEVINCK (1971 b), a poligonal que representa as freqüências médias mensais de ocorrência de dias chuvosos no transcurso do ano, agrupadas segundo a escala aritmética simplificada, constitui o "regime pluvial". STRANG (1972), por sua vez, considerou "regime pluvial" a forma do histograma dos totais pluviométricos médios mensais, no transcurso do ano. Note-se que os critérios propostos são diferentes, conforme sejam considerados dados mensais ou diários.

No presente estudo foram determinados os regimes pluviais segundo o método proposto por DEVINCK (1971 b), que resultaram do agrupamento dos totais diários, utilizando-se a escala aritmética simplificada. Na representação gráfica de tais regimes, foi adotado o "ano hidrológico (outubro a setembro).

Com o auxílio da representação gráfica dos regimes pluviais dos postos selecionados (ver APÊNDICE B), procurase verificar uma possível existência de analogias entre os mesmos, bem como, determinar regiões que possuam regimes idênticos. Também foi investigado como a média anual do número de dias com chuva varia em função da latitude, da longitude e da altitude, considerando esses parâmetros isolada e conjuntamente.

### 3.4 - Estimativa da ocorrência de dias com chuva no trimestre mais chuvoso

Visando à estimativa do número máximo ( $N_x$ ) e mini

nimo ( $N_m$ ) de dias chuvosos esperados - num dado mês - empregou-se a técnica estatística dos "quintis". Essa técnica consiste no ordenamento crescente dos dados correspondentes ao número de dias com precipitação, observados em cada mês do trimestre freqüentemente mais chuvoso. Em seguida determinam-se os valores que correspondem a 20% ( $Q_1$ ) e a 80% ( $Q_4$ ) da seqüência. Esse procedimento, citado por XAVIER & XAVIER (1984), tem a vantagem de ser extremamente simples, dispensando formulações matemáticas complicadas, normalmente exigidas quando se pretende determinar os "quintis" a partir de modelos probabilísticos teóricos, em geral inacessíveis à maioria dos usuários.

Utilizando-se o significado de "quintil" pode-se afirmar que existe uma probabilidade de 80% do número mínimo ( $N_m$ ) de dias chuvosos, num mês particular, ser representado por  $Q_1$ ; analogamente, o número máximo ( $N_x$ ) de dias chuvosos, esperado com 80% de probabilidade, pode ser estimado pelo valor do quarto "quintil" ( $Q_4$ ).

Os valores de  $N_m$  e  $N_x$ , correspondentes ao trimestre mais chuvoso de cada posto pluviométrico selecionado, constam da TABELA 4.

### 3.5 - Indicativo de ano "seco", "normal" ou "chuvoso"

O critério adotado para classificar os anos em "secos", "normais" e "chuvosos", baseou-se na média ( $\bar{X}$ ) e no desvio-padrão ( $S$ ) dos totais anuais de precipitação, no período estudado, como segue:

$$\text{ano "seco"} \quad X_i < \bar{X} - S$$

$$\text{ano "normal"} \quad \bar{X} - S \leq X_i \leq \bar{X} + S$$

$$\text{ano "chuvisco"} \quad \bar{X} + S < X_i$$

onde  $X_i$  representa a precipitação ocorrida em cada um dos anos das séries cronológicas estudadas.

Considerando a classificação acima mencionada, foram calculadas as médias mensais, o número médio de dias com chuva e as intensidades médias diárias, tanto para os anos "secos", quanto para os "chuviscos". Em seguida, foram elaborados gráficos (ver APÊNDICE B), referentes a cada uma dessas situações, para todos os postos. Em tais gráficos são incluídos os regimes pluviais, o que, também, podem servir de comparações com as situações acima mencionadas.

Como resultado da análise das características pluviométricas apresentadas por anos "secos" e "chuviscos", apresenta-se um método que consiste em identificar um valor limite ( $L$ ) — em mm de precipitação — registrado num determinado mês  $M_i$ , antes do período chuvoso e com características distintas em anos "secos" e "chuviscos". A identificação de  $L$  e  $M_i$  permitem estimar — com uma certa probabilidade — se o ano em transcurso virá a ser "seco ou normal" ou, alternativamente, "normal ou chuvoso", conforme a precipitação registrada no mês  $M_i$  seja, respectivamente, inferior ou igual, ou superior ao valor limite  $L$ .

Concluiu-se que o mês  $M_i$  seria determinado — em cada posto — por aquele que antecedesse o seu trimestre mais chuvoso. Entretanto, para maior generalidade, escolheu-se um único mês para cada regime pluvial. Assim, optou-se

por aquele determinado na maioria dos postos do citado regime. Por sua vez, observou-se que  $L$  — de cada posto — seria igual ao segundo "quintil" ( $Q_2$ ), calculado a partir do rol dos totais pluviais do seu correspondente mês  $M_i$ . Porém, com a intenção de ampliar as aplicações deste método, para postos de um mesmo regime, considerou-se  $L$  como o valor da média aritmética do segundo "quintil" dos mesmos ( $\bar{Q}_2$ ), arredondada para a dezena mais próxima.

Finalmente, quando a precipitação do mês  $M_i$  for inferior ou igual, ou superior ao valor limite  $L$ , calculou-se, respectivamente, a probabilidade do ano em curso ser "seco ou normal" ( $P_{SL}$ ) por

$$P_{SL} = n_{SL}/n_L \quad (3.1)$$

ou, a do ano ser "normal ou chuvoso" ( $P_{CL}$ ) conforme

$$P_{CL} = N_{CL}/N_L \quad (3.2)$$

onde,  $n_{SL}$  (respectivamente  $N_{CL}$ ) corresponde ao número de anos "secos" (respectivamente "chuvosos") ou normais" com precipitação no mês  $M_i$  inferior ou igual (respectivamente superior) a  $L$ ,  $n_L$  (respectivamente  $N_L$ ) igual ao número de anos com precipitação no mês  $M_i$  inferior ou igual (respectivamente superior) a  $L$  (TABELA 5).

### 3.6 - Estimativa da precipitação após o "dia de São José"

Com a finalidade de estimar a quantidade de

precipitação (mm) que deverá ocorrer no semestre seguinte ao "dia de São José" (19 de março) – com probabilidade de 80% – adotou-se a técnica abaixo descrita.

Considerando que o equinócio de outono no Hemisfério Sul (21 de março) praticamente coincide com o "dia de São José", procurou-se estudar, ano a ano, a contribuição pluviométrica verificada no semestre anterior a essa data. Isto corresponde a considerar um ano pluviométrico centrado no equinócio de outono, designado como ano equinocial.

A contribuição pluviométrica verificada até 21 de março foi expressa em porcentagem do total de chuva do ano equinocial e colocada em ordem crescente, servindo para determinar o valor do primeiro ( $Q_1$ ) e do quarto ( $Q_4$ ) "quintil" (TABELA 6). Conseqüentemente, em 80% dos casos, pelo menos  $Q_1\%$  da precipitação do ano equinocial, ocorre até 21 de março. Conclui-se, portanto, que deverá ocorrer, no máximo,  $(100-Q_1)\%$  da precipitação após 21 de março, com 80% de probabilidade.

A partir desses resultados, e utilizando-se o conceito do quarto "quintil" ( $Q_4$ ) – pode-se estimar a precipitação máxima (respectivamente mínima) esperada no segundo semestre do ano equinocial através de:

$$X_x = X_{21/3} \times (100 - Q_1)/Q_1 \quad (3.3)$$

$$X_m = X_{21/3} \times (100 - Q_4)/Q_4 \quad (3.4)$$

onde,  $X_x$  e  $X_m$  representa a precipitação máxima e mínima esperadas no segundo semestre, respectivamente;  $Q_1$  e  $Q_4$  corres-

pondem ao primeiro e quarto "quintis" e, finalmente,  $X_{21/3}$  a precipitação registrada até 21 de março.

#### 4. RESULTADOS E DISCUSSÕES

##### 4.1 - Regimes pluviais

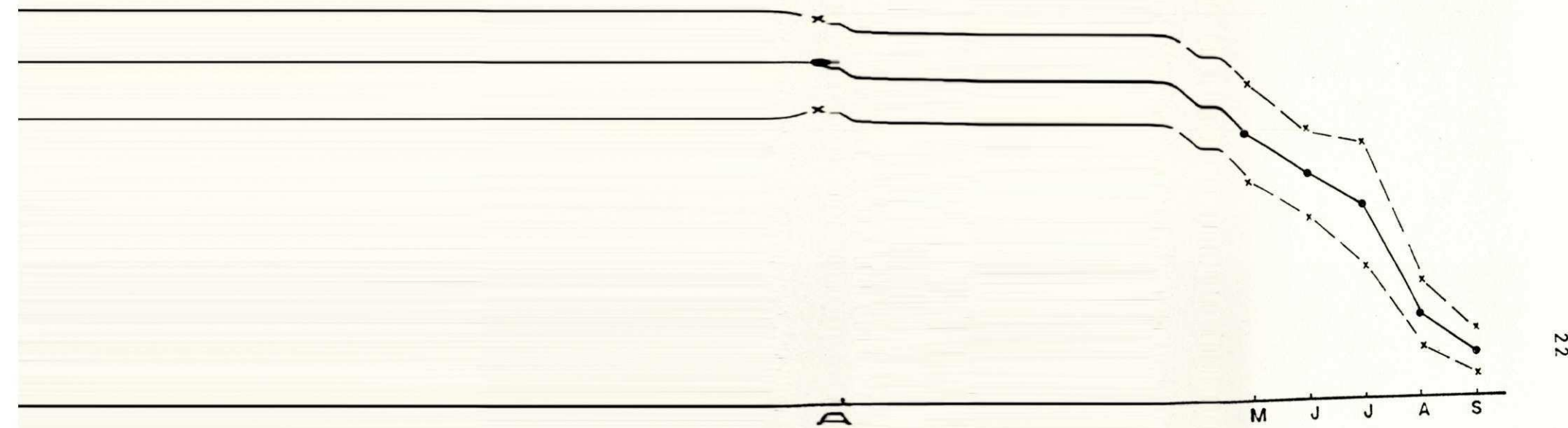
Uma análise minuciosa dos regimes de chuva referentes a cada um dos 32 postos pluviométricos selecionados (ver APÊNDICE B), possibilitou a identificação de quatro regimes pluviais distintos. A figura 1 mostra a média aritmética dos regimes pluviais dos postos de cada um dos regimes identificados, bem como, a dispersão destes expressa através do desvio-padrão. A distribuição espacial dos regimes de chuva é apresentada na Carta 3.

O regime pluvial denominado R1 é representado por Água Branca, Barra do Juá, Cajazeiras, Catolé do Rocha, Conceição, Coremas, Itaporanga, Patos, Pombal, Princesa Isabel, Santa Luzia e Souza, postos estes localizados no Sertão do Estado. Março apresenta-se como o mês mais chuvoso neste regime, onde registram-se de 8 (em Água Branca) a 16 (em Catolé do Rocha) dias com chuva. Apenas os postos de Água Branca, Conceição e Princesa Isabel não chegam a registrar, em média, mais de 10 dias com chuva no mês mais chuvoso. Por sua vez, o trimestre mais chuvoso é constituído pelos meses de fevereiro, março e abril – exceto em Água Branca, onde o mesmo ocorre em março, abril e maio. Em agosto, setembro e outubro não se observa mais de um dia com precipitação, constituindo-se, portanto, no trimestre menos chuvoso. Neste regime a chuva mais freqüentemente observada é a classificada como "chuva forte". Outra característica marcante deste regi-

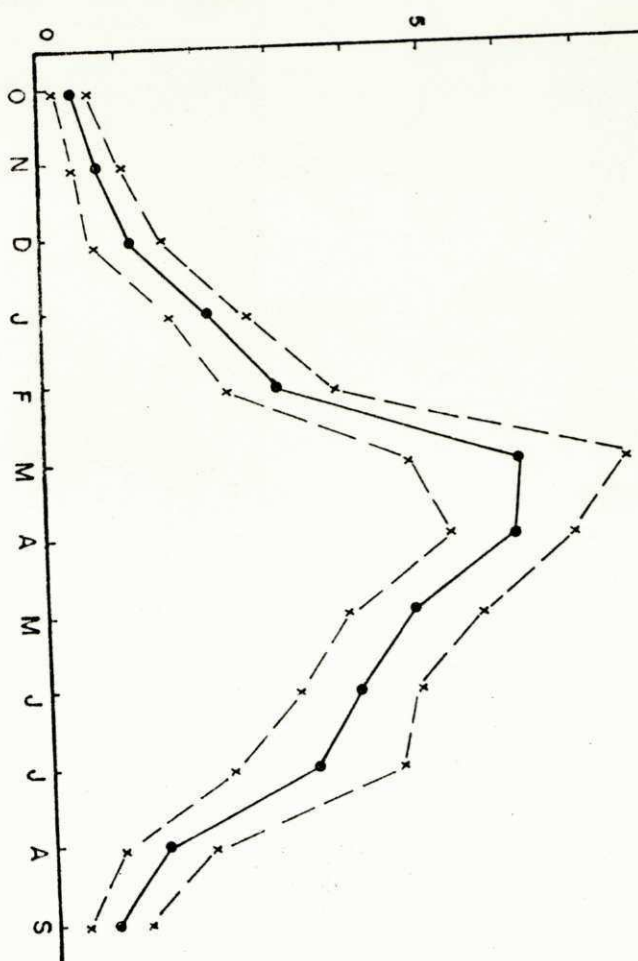
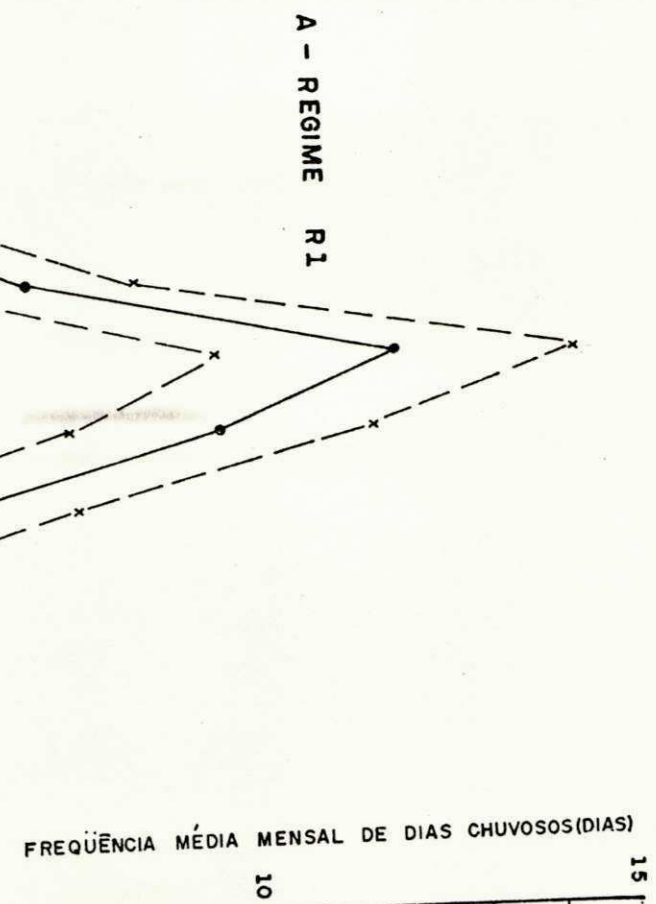
00



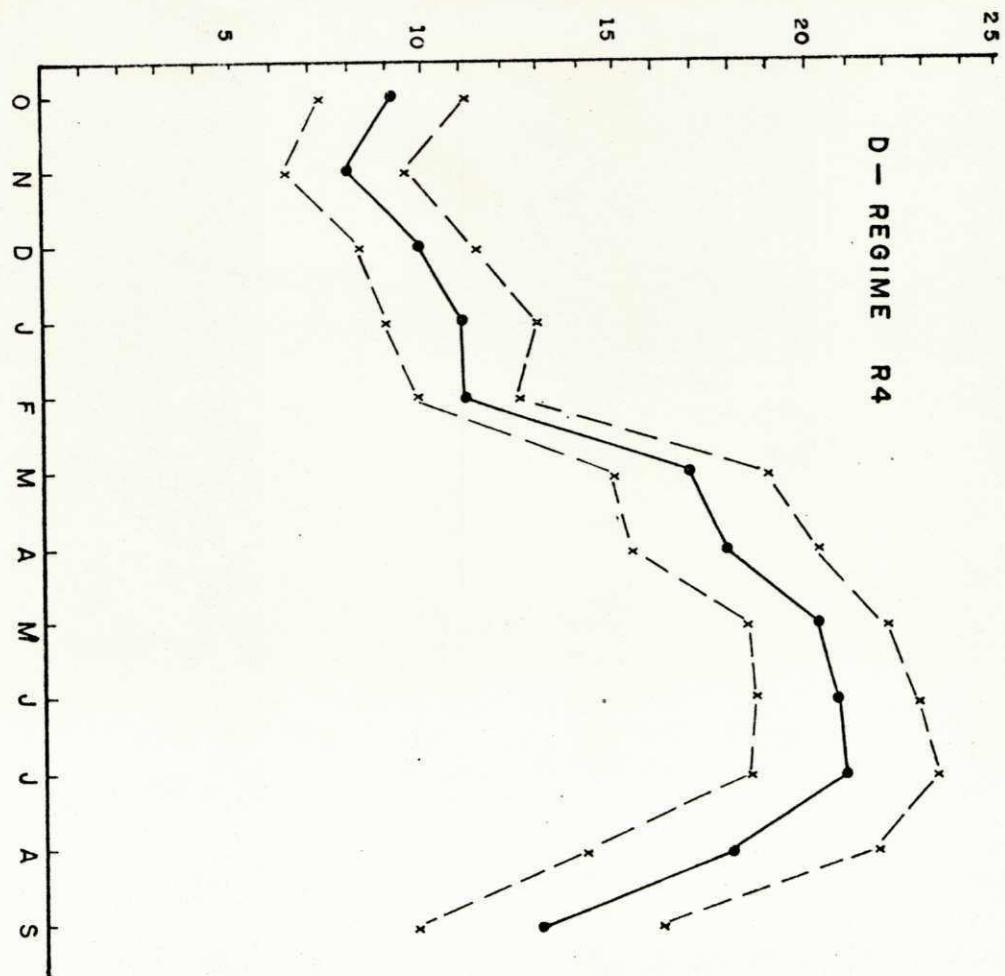
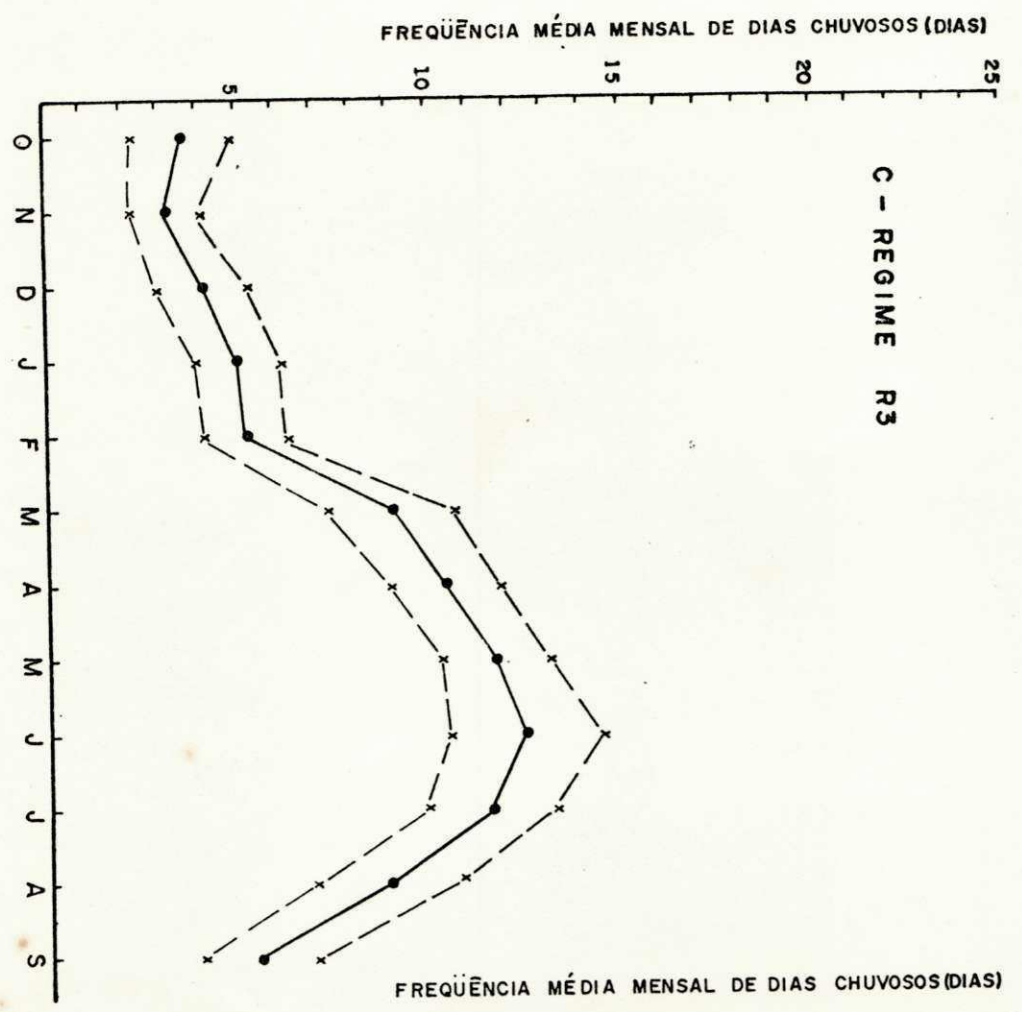
POSTOS DE CADA

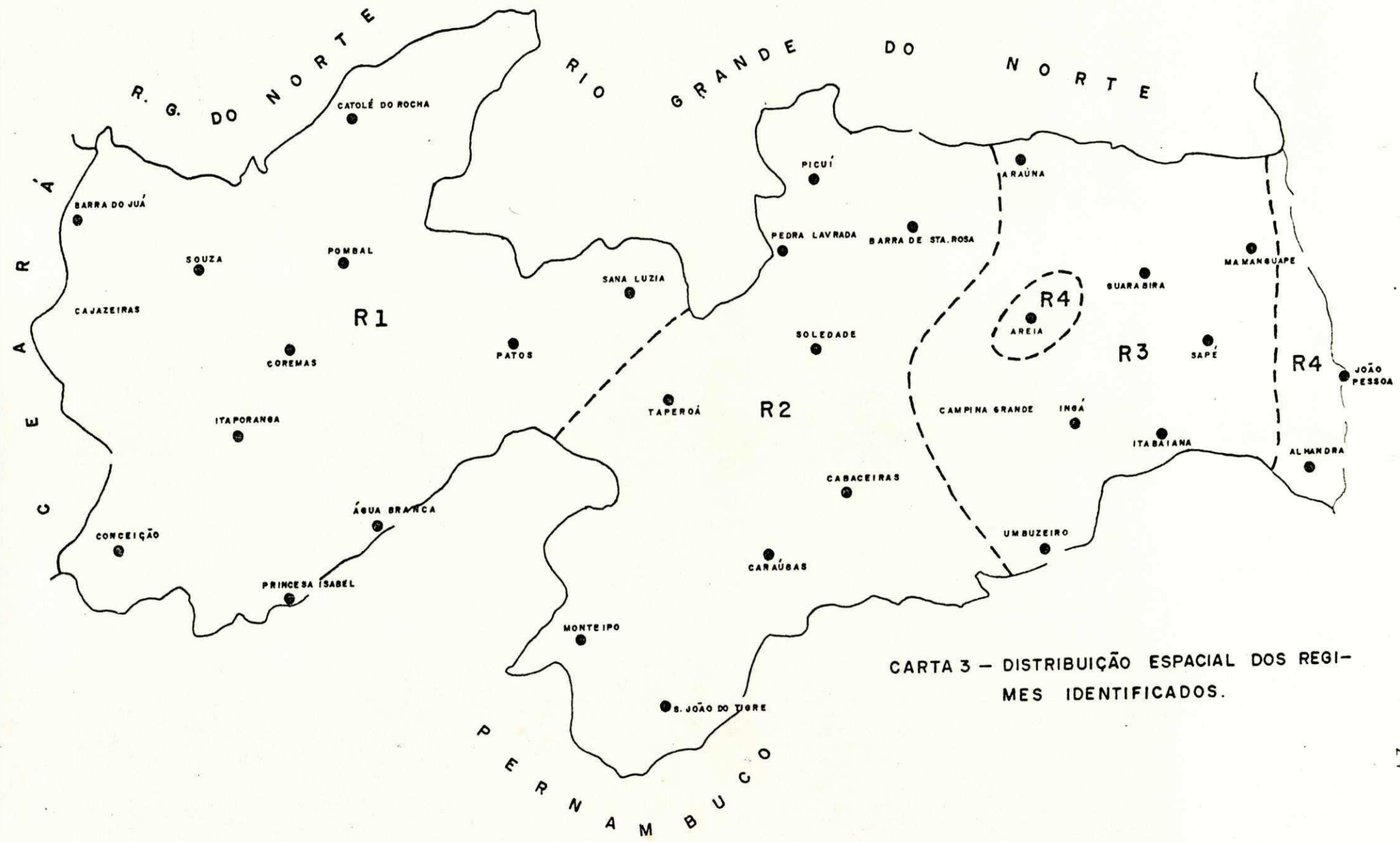


(A - D) - MÉDIA ARITMÉTICA (—●—) E DESVIO-PADRÃO (—x—x—) DOS RÉGIMES PLUVIAIS DOS POSTOS DE CADA UM DOS RÉGIMES IDENTIFICADOS.



CONTINUAÇÃO DA FIG. 1 (A - D)





me, constitui-se na alta concentração de dias com precipitação no trimestre mais chuvoso.

O regime pluvial R2 engloba os postos de Barra de Santa Rosa, Cabaceiras, Caraúbas, Monteiro, Pedra Lavra da, Picuí, São João do Tigre, Soledade e Taperoá. Neste regime o trimestre mais chuvoso é formado por março, abril e maio – com exceção de Cabaceiras, onde o mesmo ocorre em abril, maio e junho. Os menores índices pluviométricos do Estado são observados neste regime e, consequentemente, seus postos são os que apresentam as menores freqüências (mensais e anuais) de dias com precipitação. O mês mais chuvoso situa-se entre março e maio (inclusive) com, no máximo, de 5 a 8 dias com precipitação. Por outro lado, os meses com menor freqüência de dias com chuva, situam-se entre agosto e dezembro. Os postos de Barra de Santa Rosa, Caraúbas e Soledade apresentam considerável freqüência de ocorrência das denominadas "chuvas muito fracas", no transcurso do ano. Já em São João do Tigre, raramente se observam chuvas com essa característica ("muito fraca"). Uma contribuição quase equitativa, mas não predominante, das "chuvas fracas" e das "chuvas fortes", é observada em todos os postos deste regime – exceto em São João do Tigre. Já as "chuvas extremas" dificilmente são observadas. Os postos que constituem este regime localizam-se nas micro-regiões dos Cariris Velhos, Seridó e parte do Curimataú.

Araruna, Campina Grande, Guarabira, Ingá, Itabaiana, Mamanguape, Sapé e Umbuzeiro incluem-se no regime pluvial R3, que tem em maio, junho e julho o seu trimestre mais chuvoso, com exclusão de Guarabira onde o mesmo corresponde a abril, maio e junho. Em Guarabira o mês com a menor

ocorrência de dias chuvosos é outubro, enquanto que nos de mais postos novembro se apresenta como tal. Neste regime registra-se a ocorrência de dias com chuva em todos os meses do ano; com um mínimo de 2 dias com precipitação, no mês menos chuvoso, e de 10 a 16 dias no mais chuvoso, que se situa entre maio e julho (inclusive). Observam-se, em todos os postos, uma grande ocorrência de "chuvas fracas" e de "chuvas fortes" — com exceção de Ingá, onde estas são freqüentes mas as que predominam são as do tipo "chuva muito fraca". Praticamente não são registradas ocorrências de "chuvas extremas", neste regime. Os postos que representam tal regime localizam-se nas micro-regiões do Agreste da Borborema, Piemonte da Borborema, Agropastoril do Baixo Paraíba, Curimataú, Cariris Velhos e Litoral Paraibano.

No quarto e último regime pluvial (R4) estão incluídos os postos de Alhandra, Areia e João Pessoa. Este regime apresenta dias chuvosos em todo o ano. No mês de novembro, com menor freqüência de dias chuvosos, registram-se, no mínimo, cinco dias com precipitação, enquanto que no mês mais chuvoso (entre maio e julho, inclusive) são observados de 20 a 24 dias com chuva. O trimestre mais chuvoso é constituído por maio, junho e julho. As chuvas que ocorrem com mais freqüência são as "muito fracas", "fracas" e "fortes". Dentre todos os regimes já citados, este é o único que apresenta média de um dia com "chuva extrema", em pelo menos um dos meses do ano — no caso o posto de João Pessoa, em maio e junho. Seus postos estão localizados no Brejo Paraibano e Litoral do Estado.

Analizando a variação da freqüência média anual de dias chuvosos (FMADC) com a latitude, conclui-se que a

mesma não pode ser explicada quando este efeito é considerado isolada ou conjuntamente com os de altitude e longitude. Apenas este último apresenta comportamento relativamente explicável, especialmente quando o mesmo é analisado em combinação com o efeito de altitude. Tais conclusões resultam da ação dos sistemas responsáveis pela ocorrência de chuvas no Estado: o sistema equatorial marítimo (efeito latitudinal) e o sistema tropical marítimo (efeito longitudinal), segundo STRANG (1972). Por sua vez, o efeito de altitude só é evidenciado nas áreas sob influência do sistema tropical marítimo, que tem sua propagação fortemente influenciada pelo relevo (situação típica é observada em Areia, Campina Grande, Araruna e Umbuzeiro). O mesmo não evidencia-se nas regiões sob ação do sistema equatorial marítimo (resultante do deslocamento da ITCZ), possivelmente, por este resultar de ar convectivo e, por conseguinte, sofrer pequena influência do relevo.

#### 4.2 - Estimativa do número mínimo ( $N_m$ ) e máximo ( $N_x$ ) de dias chuvosos no trimestre mais chuvoso

Para todos os postos selecionados foram determinados o número mínimo ( $N_m$ ) e o número máximo ( $N_x$ ) de dias com precipitação, nos meses que constituem o seu trimestre com maior ocorrência de dias chuvosos (TMC), conforme apresenta a TABELA 4.

De acordo com a mencionada tabela, o posto de Cabaceiras é o que apresenta os menores valores de  $N_m$  (ABR=1, MAI = 2, JUN = 0) e  $N_x$  (ABR = 7, MAI = 8, JUN = 8); por sua

TABELA 4

Número mínimo ( $N_m$ ) e número máximo ( $N_x$ ) de dias com chuva, em cada mês do trimestre com maior frequência de dias chuvosos, com probabilidade de 80%

Nome do Posto	Trimestre com maior frequê- cia de dias com chuva	Primeiro mês do trimestre		Segundo mês do trimestre		Terceiro mês do trimestre	
		$N_m$	$N_x$	$N_m$	$N_x$	$N_m$	$N_x$
Barra do Juá	F M A	2	9	7	14	2	9
Cajazeiras	F M A	3	12	8	16	5	13
Catolé do Rocha	F M A	4	13	11	20	9	17
Coremas	F M A	4	13	9	18	7	16
Itaporanga	F M A	4	11	9	18	7	14
Patos	F M A	4	12	9	18	5	14
Pombal	F M A	4	11	10	19	8	16
Santa Luzia	F M A	3	11	6	16	8	13
Souza	F M A	2	11	9	15	8	11
Água Branca	M A M	3	12	4	12	2	9
Conceição	F M A	3	9	5	12	4	9
Princesa Isabel	F M A	3	11	5	14	5	12
Barra de Santa Rosa	M A M	1	7	7	8	2	9
Cabaceiras	A M J	1	7	2	8	0	7
Caraúbas	M A M	1	9	2	8	2	8
Monteiro	M A M	3	13	4	10	2	8
Pedra Lavrada	M A M	3	11	4	9	2	7
Picuí	M A M	3	10	2	9	2	5
São João do Tigre	F M A	1	5	1	9	2	9
Soledade	M A M	3	7	3	9	3	7
Taperoá	M A M	2	12	2	11	1	8
Araruna	M J J	7	12	7	14	6	14
Campina Grande	M J J	8	17	8	17	8	18
Guarabira	A M J	7	16	8	15	8	19
Ingá	M J J	10	19	13	21	12	19
Itabaiana	M J J	6	15	6	14	6	15
Mamanguape	M J J	8	17	8	17	6	17
Sapé	M J J	8	15	9	16	7	7
Umbuzeiro	M J J	7	16	6	16	7	15
Alhandra	M J J	15	24	13	24	14	24
Areia	M J J	16	24	17	25	16	24
João Pessoa	M J J	18	26	21	26	18	21

vez, os maiores valores de  $N_m$  (MAI = 18, JUN = 21, JUL = 18) e  $N_x$  (MAI = 26, JUN = 26, JUL = 21) são verificados no posto de João Pessoa. Considerando os postos de um mesmo regime, conclui-se que os regimes R2 e R4 são os que apresentam os menores e os maiores valores de  $N_m$  e  $N_x$ , respectivamente. Note-se, porém, que apenas os postos submetidos aos regimes R1 e R4, têm o seu TMC em fevereiro-março-abril e maio-junho-julho, respectivamente. Nos demais regimes (R2 e R3) verifica-se que existe um TMC predominante mas, que este não é comum, dentre os postos de um mesmo regime. O único posto com valor nulo de  $N_m$  é o de Cabaceiras, no mês de junho. Por outro lado, esperam-se — no máximo — vinte e seis dias com precipitação em João Pessoa, nos meses de maio e junho. No mês mais chuvoso nos locais de R1 (março), estima-se que ocorram valores de  $N_m$  e  $N_x$  da mesma ordem dos esperados no mês mais chuvoso dos postos de R3 (maio e junho). Deve-se ressaltar, como mencionado anteriormente (seção 3.4), que a probabilidade de vir a ocorrer  $N_m$  e  $N_x$ , em cada um dos meses de TMC de cada posto pluviométrico, é de 80%.

#### 4.3 - Indicativo de ano "seco", "normal" ou "chuvoso"

Conforme mencionado na seção 3.5, o método que objetiva estimar (a partir da precipitação observada no mês  $M_i$ ) se o ano em curso virá a ser "seco ou normal" ou, "normal" ou "chuvoso" (dependendo da quantidade de chuva registrada em  $M_i$ ) resulta da análise minuciosa realizada a partir das características dos anos "secos" e "chuvinhos", no que concerne às intensidades médias diárias, médias mensais e

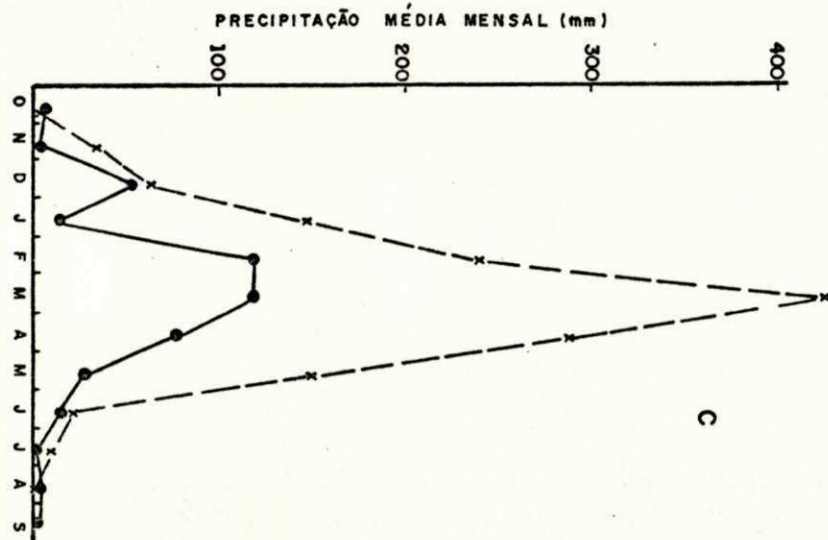
frequências mensais de dias com chuva, no transcurso anual. Como exemplo, observe-se a Figura 2 (referente ao posto de Cajazeiras), onde se pode notar que em janeiro existe uma considerável diferença entre os valores apresentados por anos "chuvosos" (linha cheia) e por anos "secos" (linha tracejada). O desejado é que seja identificado algum mês com essa característica antes do trimestre mais chuvoso de cada posto. No entanto, em alguns postos, o mês  $M_i$  só pode ser identificado como primeiro mês do trimestre mais chuvoso, o que, de fato, já é inconveniente. Por outro lado, percebe-se que, em alguns postos de um mesmo regime, o mês  $M_i$  pode ser considerado antes daquele que foi estabelecido (TABELA 5).

Analizando os resultados da TABELA 5, percebe-se que as probabilidades do ano vir a ser "seco" ou "normal" ( $P_{SL}$ ) ou "normal ou chuvoso" ( $P_{CL}$ ), apresentam-se ligeiramente distintas, conforme se considere  $L$  igual ao segundo "quintíl" ( $Q_2$ ) do mês  $M_i$ , de um mesmo posto pluviométrico, ou  $L$  igual à média aritmética dos valores de  $Q_2$ , dos postos de um mesmo regime pluvial, arredondada para a dezena mais próxima. Em geral, os resultados mostram-se mais precisos quando  $L$  é considerado igual a  $Q_2$ . Para o usuário, porém, torna-se mais prática a utilização de um valor (para  $L$ ) que se aplique, não apenas a um único posto mas, sobretudo, a postos de uma mesma região. Nesse sentido, são apresentados os valores de  $L$  representativos dos postos de todos os regimes e das probabilidades ( $P_{S\bar{Q}_2}$  e  $P_{C\bar{Q}_2}$ ) que lhes estão associadas (TABELA 5).

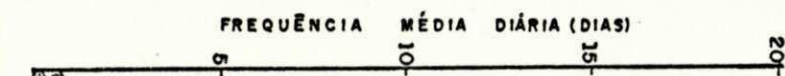
Na maioria dos postos de R1 e R2, percebe-se (TABELA 5) que  $P_{CL}$  se mostra superior a  $P_{SL}$ , independente de se tomar  $L$  igual a  $Q_2$  ou a  $\bar{Q}_2$ . Esta situação se inverte nos

FIG: 2 - CARACTERÍSTICAS DA PRECIPITAÇÃO PLUVIOMÉTRICA EM ANOS SECOS  
 (—●—) E CHUVOSOS (—×—) (A - C) E REGIME PLUVIAL (D).

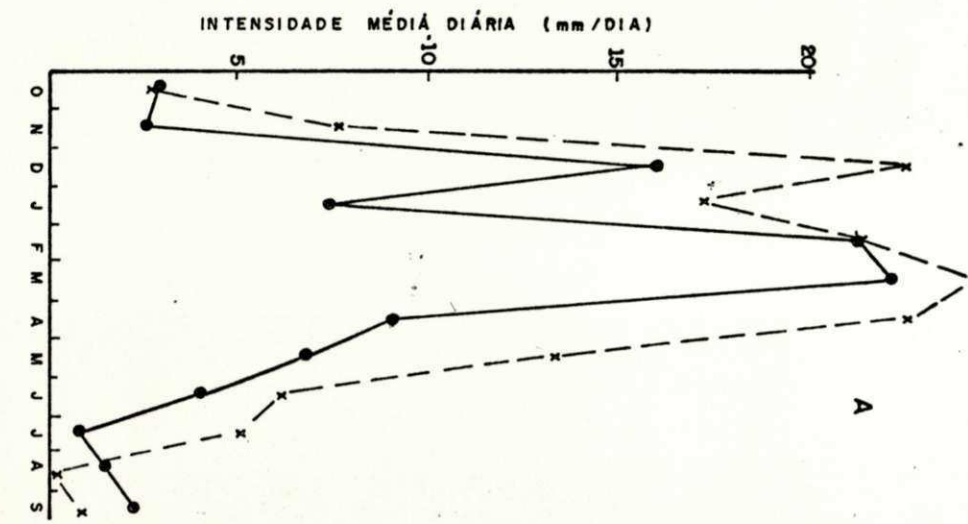
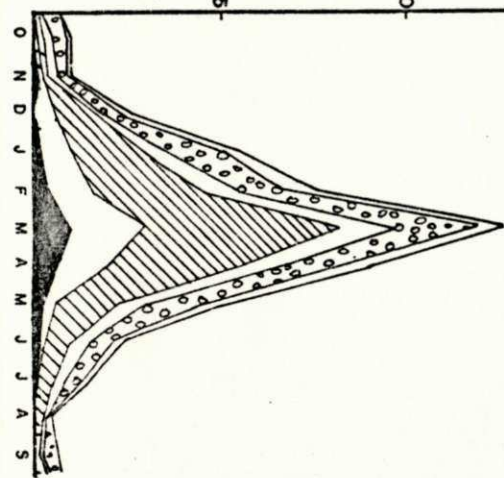
POSTO: CAJAZEIRAS



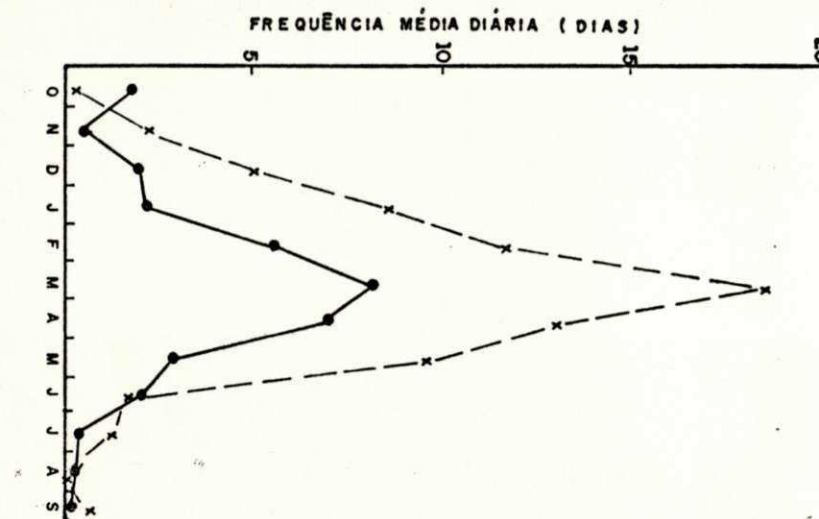
C



D



A



B

TABELA 5

Probabilidade (em %) do ano ser "seco ou normal" ( $P_{SL}$ ) ou "normal ou chuvoso" ( $P_{CL}$ ) se a precipitação do mês  $M_i$  fôr, respectivamente, inferior ou igual, ou superior ao valor limite  $L$ .

Nome do Posto	Regime	$M_i$	$L=Q_2$	$P_{SQ_2}$	$P_{CQ_2}$	$L=\bar{Q}_2$	$P_{\bar{S}Q_2}$	$P_{\bar{C}Q_2}$
Barra do Juá	R1	JAN	38,4	91	94	50	85	94
Cajazeiras	"	"	82,9	100	100	"	100	96
Catolé do Rocha	"	"	33,5	87	96	"	82	95
Coremas	"	"	62,7	93	100	"	100	93
Itaporanga	"	"	51,9	93	96	"	87	96
Patos	"	"	45,8	85	90	"	86	95
Pombal	"	"	37,0	100	91	"	100	91
Santa Luzia	"	"	15,2	80	91	"	73	92
Souza	"	"	53,0	86	95	"	85	90
Água Branca	"	JAN	24,4	91	100	50	92	100
Conceição	"	"	54,0	93	100	"	92	86
Princesa Isabel	"	"	59,0	87	91	"	83	88
Barra de Santa Rosa	R2	FEV	3,5	100	100	10	100	100
Cabaceiras	"	"	22,1	92	95	"	100	96
Caraúbas	"	"	3,6	78	100	"	82	100
Monteiro	"	"	19,2	86	82	"	67	100
Pedra Lavrada	"	"	17,9	93	95	"	100	90
Picuí	"	"	11,5	80	88	"	75	89
São João do Tigre	"	"	24,6	90	93	"	67	81
Soledade	"	"	8,7	93	95	"	93	95
Taperoá	"	"	14,4	62	79	"	60	77
Araruna	R3	MAR	82,8	93	100	70	100	100
Campina Grande	"	"	50,8	93	90	"	89	94
Guarabira	"	"	130,1	100	100	"	100	100
Ingá	"	"	37,9	100	83	"	100	94
Itabaiana	"	"	78,4	100	95	"	100	95
Mamanguape	"	"	103,3	86	83	"	86	92
Sapé	"	"	63,1	93	90	"	93	95
Umbuzeiro	"	"	38,1	100	87	"	96	93
Alhandra	R4	MAR	120,7	100	94	120	100	89
Areia	"	"	115,9	100	89	"	100	89
João Pessoa	"	"	135,0	100	100	"	100	100

postos de R3 e R4, especialmente quando L é considerado igual a  $Q_2$ . Note-se, também, que as probabilidades mais elevadas são observadas nos postos de R3 e R4; muito embora, nos postos de R1 e R2 os resultados apresentados sejam bastante encorajadores. Finalmente, constata-se que em apenas seis postos (Caraúbas, Monteiro, Picuí, Santa Luzia, São João do Tigre e Taperoá) são verificadas probabilidades ( $P_{SL}$  ou  $P_{CL}$ ) inferiores a 80%, quatro dos quais (Monteiro, Picuí, Santa Luzia e São João do Tigre) ao se tomar L igual a  $\bar{Q}_2$ .

Note-se que, com a intenção de proporcionar maior generalidade,  $M_i$  foi escolhido de maneira que, para um mesmo regime de chuvas, tal escolha recaísse sobre um único mês. Por conta desta preocupação — e da comentada anteriormente sobre L — as probabilidades apresentadas em alguns postos (Monteiro, Picuí, São João do Tigre e Taperoá, todos de R2) ficaram relativamente reduzidas.

De uma maneira geral as intensidades médias diárias dos anos chuvosos se mostram bastante superiores às dos anos secos (ver APÊNDICE B); da mesma maneira se comporaram as médias e as freqüências mensais de dias chuvosos, em tais anos, o que já era de se esperar.

Convém ressaltar, que ao se adotar a média aritmética do segundo "quintil" ( $\bar{Q}_2$ ) como representativo do valor limite L, dos postos de um mesmo regime pluvial, testou-se a sua validade para outros postos, que não os anteriormente es- colhidos. Com exceção de Sumé, Serra Branca, Prata (todos es- tes de R2) e Fagundes (R3), as probabilidades ( $P_{SL}$  e  $P_{CL}$ ) observadas, quando por ocasião do mencionado teste, se com- portaram como as apresentadas pelos 32 postos selecionados. Desta forma, confirmou-se a eficácia do método, ora propos-

to, quando aplicado aos demais postos de um mesmo regime pluvial.

#### 4.4 - Estimativa da precipitação após o "dia de São José"

Conforme mencionado na seção 3.6, o primeiro "quintil" ( $Q_1$ ) representa a fração (%) mínima da precipitação total do ano equinocial que é observada, ao nível de 80% de probabilidade, no primeiro semestre desse ano. Conseqüentemente, a precipitação máxima esperada após o "dia de São José" corresponde a  $(100 - Q_1)\%$  do total pluviométrico do referido ano, com a mesma probabilidade. Isto possibilita estimar a precipitação máxima esperada, no segundo semestre do ano equinocial, em termos da chuva registrada na sua primeira metade (Equação 3.3). Por sua vez, a precipitação mínima esperada, após o "dia de São José", pode ser estimada — em termos do quarto "quintil" ( $Q_4$ ) — através da Equação 3.4.

Segundo os resultados da TABELA 6, os postos do Sertão paraibano (regime R1) são os que apresentam os mais elevados valores de  $Q_1$ , que variam de 30,4% (em Catolé do Rocha) até 45,8% (em Cajazeiras). Os valores de  $Q_4$ , em todos os postos desta região, ultrapassam 63% — exceto em Catolé do Rocha, onde o mesmo é de 54,1%. Note-se que nesses postos pluviométricos a chuva máxima esperada, após o "dia de São José", geralmente não ultrapassa o dobro da registrada até essa data.

Os valores de  $Q_1$ , nos postos do regime R2, são os que se mostram com maior variabilidade e, também, onde se verifica o menor  $Q_1$  (8,6%, em Cabaceiras) dentre todos os

TABELA 6

Porcentagem mínima ( $Q_1$ ) e máxima ( $Q_4$ ) da precipitação pluviométrica registrada no primeiro semestre do ano equinocial, ao nível de 80% de probabilidade

Nome do Posto	Regime	$Q_1$ (%)	$Q_4$ (%)	Nome do Posto	Regime	$Q_1$ (%)	$Q_4$ (%)
Barra do Juá	R1	31,9	67,1	São João do Tigre	R2	24,6	66,2
Cajazeiras	"	45,8	69,4	Soledade	"	17,5	56,9
Catolé do Rocha	"	30,4	54,1	Taperoá	"	25,7	62,7
Coremas	"	41,0	68,3	Araruna	R3	15,6	41,0
Itaporanga	"	45,0	63,1	Campina Grande	"	13,8	31,8
Patos	"	42,6	71,4	Guarabira	"	17,5	40,8
Pombal	"	38,1	63,2	Ingá	"	16,2	38,5
Santa Luzia	"	37,2	69,2	Itabaiana	"	18,0	34,4
Souza	"	44,7	69,1	Mamanguape	"	15,7	32,2
Água Branca	"	33,7	63,7	Sapé	"	13,0	32,3
Conceição	"	43,1	72,1	Umbuzeiro	"	12,6	32,9
Princesa Isabel	"	43,6	66,1	Alhandra	R4	13,2	32,3
Barra de Santa Rosa	R2	10,8	50,0	Areia	"	14,3	35,0
Cabaceiras	"	8,6	49,2	João Pessoa	"	14,7	26,2
Caraúbas	"	24,5	58,4				
Monteiro	"	28,5	62,4				
Pedra Lavrada	"	29,1	61,7				
Picuí	"	24,9	59,6				

postos selecionados. Com exceção de Cabaceiras ( $Q_4=49,2\%$ ), os demais postos desse regime se apresentam com  $Q_4$  superior ou igual a 50%. A precipitação máxima esperada no segundo semestre do ano equinocial, dos postos de R2, varia de 2,4 (em Pedra Lavrada) a 10,6 (em Cabaceiras) vezes o total observado no primeiro semestre desse ano, com 80% de probabilidade.

Os postos de R3 e R4 são, por sua vez, os que mostram os menores e os mais regulares valores de  $Q_1$  e  $Q_4$ . Dentro destes, Umbuzeiro ( $Q_1=12,6\%$ ) e João Pessoa ( $Q_4=26,2\%$ ) apresentam os mais baixos valores de  $Q_1$  e  $Q_4$ , respectivamente. Em Itabaiana ( $Q_1=18,0$ ) e Araruna ( $Q_4=41,0\%$ ), registram-se, respectivamente, os mais elevados  $Q_1$  e  $Q_4$ . No segundo semestre do ano equinocial é esperado que chova, no máximo, de 4,6 (em Umbuzeiro) a 6,9 (em Itabaiana) vezes o ocorrido no primeiro semestre desse mesmo ano, também com 80% de probabilidade, nesses regimes.

Convém ressaltar que a idéia inicial previa a aplicação deste método apenas aos postos localizados no Sertão do Estado. No entanto, os resultados obtidos foram tão promissores que estimularam estender sua aplicação aos de mais postos. Ficou evidenciado, porém, que sua aplicação é mais recomendada para o Sertão paraibano, devido aos elevados percentuais apresentados por  $Q_1$  e  $Q_4$ . Para as outras áreas do Estado os resultados, embora promissores, sugerem estudos mais profundos que visem a identificar outra data de referência mais apropriada que a do "dia de São José".

Depreende-se, dos resultados, que a crença do sertanejo realmente tem fundamentação científica e é estatisticamente comprovável. Assim, a aplicação deste método constitui-se em valioso subsídio na estimativa da precipitação

total esperada após o "dia de São José".

## 5. CONCLUSÕES

As principais conclusões deste estudo dos regimes pluviais e da caracterização de anos secos e chuvosos no estado da Paraíba são as seguintes:

a - Foram identificados quatro regimes pluviais. O primeiro (R1) representado por Água Branca, Barra do Juá, Cajazeiras, Catolé do Rocha, Conceição, Coremas, Itaponga, Patos, Pombal, Princesa Isabel, Santa Luzia e Souza; o segundo (R2) por Barra de Santa Rosa, Cabaceiras, Caraúbas, Monteiro, Pedra Lavrada, Picuí, São João do Tigre, Soltade e Taperoá; o terceiro (R3) por Araruna, Campina Grande, Guarabira, Ingá, Itabaiana, Mamanguape, Sapé e Umbuzeiro; e o quarto (R4) por Alhandra, Areia e João Pessoa. Na maioria dos postos de R1 e R2 março se constituiu no mês mais chuvoso; já o mês com esta mesma característica, na maior parte dos postos de R3 e R4, corresponde a junho.

b - O comportamento da freqüência média anual de dias chuvosos (FMADC) não pode ser explicada, separadamente, através dos efeitos de latitude e altitude; apenas o de longitude apresenta um comportamento regular explicável — a pesar da influência de um dos outros efeitos (ou de ambos).

c - Os maiores valores do número máximo ( $N_x$ ) e mínimo ( $N_m$ ) de dias com precipitação no trimestre mais chuvoso (TMC), foram os apresentados pelos postos de R4; em contrapartida os postos de R2 mostraram os menores  $N_m$  e  $N_x$ .

d - Pode-se avaliar, no começo do ano civil, se este virá a ser "seco ou normal" ou "normal ou chuvoso"

em janeiro, nos postos de R1; em fevereiro, para os de R2; e em março, para os postos de R3 e R4. Este resultado constitui-se em importante subsídio na avaliação da característica do total pluviométrico anual esperado em cada posto.

e - A chuva máxima esperada após o "dia de São José", para os postos do Sertão do Estado, geralmente não ultrapassa o dobro da registrada até essa data, donde se conclui que a crença do sertanejo realmente tem fundamentação científica e é estatisticamente comprovável; o método que possibilitou tais resultados, reveste-se da maior importância na estimativa da precipitação total esperada, após aquela data.

Finalmente, sugerimos estudos mais profundos objetivando identificar outra data de referência, mais apropriada que a do "dia de São José", para as demais áreas do Estado — que não o Sertão do Estado — e outras regiões do Nordeste. Por outro lado, recomendamos a extensão da metodologia apresentada na seção 3.5 a todos os postos pluviométricos do Estado, com vistas ao aprimoramento na determinação de  $L$  e  $M_i$ , para postos de regiões com características pluviais idênticas.

## 6. BIBLIOGRAFIA

AZEVEDO, D.C. Chuvas no Brasil. Brasília, Ministério da Agricultura, INEMET, 1974, 436 p. (Dissertação de Mestrado defendida na UFRGS).

\* BRAGA, C.C. Contribuição ao estudo da distribuição da chuva no estado do Rio Grande do Norte. Campina Grande, 1984. 84 p. (Dissertação de Mestrado defendida na UFPb).

BRASIL. DEPARTAMENTO NACIONAL DE ÁGUAS E ENERGIA ELÉTRICA. DI  
VISÃO DE HIDROLOGIA. Inventário das estações pluviométricas; atualização até 31 de dezembro de 1976. Brasília, 1977. s.p.

BRASIL. SUDENE. As Secas do Nordeste; uma abordagem histórica de causas e efeitos. Recife, SUDENE-DRN, 1981. 122 p.

DEVINCK, J.L. Estudio de frecuencia de precipitaciones diarias ocurridas en Concepción (Chile) durante 20 años (1950-1969). Concepción, Departamento de Geofísica, Instituto de Física, Universidad de Concepción, 1971 a. 31 p.

———. Perfil pluviométrico de Chile. Concepción, Departamento de Geofísica, Universidad de Concepción, 1971 b. 56 p.

FIGUEIREDO, M.L. Geografia da Paraíba. Campina Grande, Gráfica Santa Fé, 1978. 103 p.

HARGREAVES, G.H. Monthly precipitation probabilities for Northeast Brazil. Logan, Utah State University, 1973. 423p.

JACCON, G. As precipitações anuais da região paraibana; homogeneização e análise regional. Recife, SUDENE. 1982. 98 p.

LIMA, J.F. Estudo de características estatísticas de precipitações pluviométricas. São José dos Campos, 1975. 89 p. (Dissertação de Mestrado defendida no INPE).

MILDE, L.C.E. Estudo de precipitação diária: regimes pluviométricos e modelos de distribuição para a região cacaueira do Sudeste da Bahia. Campina Grande, 1983. 102 p. (Dissertação de Mestrado defendida na UFPb).

NIMER, E. Climatologia do Brasil. Rio de Janeiro, IBGE, 1979. 422 p. (Série Recursos Naturais e Meio Ambiente, 4).

—. Pluviometria e recursos hídricos de Pernambuco e Paraíba. Rio de Janeiro, FIBGE, 1979. 117 p.

PORTO, E.R; GARAGORRY, F.L; SILVA, A.S & MOITA, A.W. Estimativa de sucesso da agricultura dependente da chuva para diferentes épocas de plantio. Petrolina, EMBRAPA-CPATSA , 1983. 129 p.

RÉGO, M.T.M.S. Estrutura e apresentação de dissertação e tese. João Pessoa, UFPb, 1983. 64 p.

ROEDER, M. Reconhecimento climatológico. Ilhéus, CEPLAC/ IICA, 1975. 89 p. (Diagnóstico Socio-Econômico da Região Cacaueira, 4).

SILVA, A.G.C. Avaliação das características do período de chuvas eficazes para a região Sertaneja da Paraíba. Campina Grande, 1983. 84 p. (Dissertação de Mestrado defendida na UFPb).

SILVA, A.T.A & MARQUES, V.S. Determinação de períodos secos e chuvosos para a região Nordeste do Brasil. In: CONGRESSO BRASILEIRO DE METEOROLOGIA, 3. Belo Horizonte, 3-7 dezembro, 1984. Anais... Rio de Janeiro, Sociedade Brasileira de Meteorologia, 1984. V.1. p. 291-308.

SPIEGEL, M.R. Probabilidade e estatística. São Paulo, McGraw-Hil, 1978. 528 p. (Coleção Schaum).

STRANG, D.M.G. Análise climatológica das normais pluviométricas do Nordeste Brasileiro. São José dos Campos, CTA/IAE, Ministério da Aeronáutica, 1972. 71 p.

SUBBARAMAYYA, I & RAO, N.J. The frequency distribution of rainfall of different intensities. J. Meteorological Soc. Japan, Tokyo, 42: 277-284, 1964.

TROJER, H. Fundamentos para una zonificación meteorológica y climatológica del tropico y especialmente de Colombia. Cenicafé, Caldas, 10(8): 289-373, 1959.

—. Introducción a la meteorología y climatología agrícola tropical. Turrialba, 1967. Notas mimeografadas do curso ditado no Instituto Interamericano de Ciências Agrícolas da OEA, 1967.

VAREJÃO-SILVA, M.A; NITZSCHE, M.H; DA SILVA, B.B; BRAGA, C.C. & AGUIAR, M.J.N. Atlas climatológico do estado da Paraíba. no prelo.

XAVIER, T.M.B.S & XAVIER, A.F.S. Classificação de anos secos e chuvosos na região Nordeste do Brasil e sua distribuição espacial. In: CONGRESSO BRASILEIRO DE METEOROLOGIA, 3. Belo Horizonte, 3-7 dezembro, 1984. Anais... Rio de Janeiro,

Sociedade Brasileira de Meteorologia, 1984. v.1. p. 267-

A P É N D I C E A

TABELA 1

JANEIRO

Número total de meses (NM) e total de dias chuvosos (TDCP) no período em estudo (1940/77), frequência absoluta (FA) e relativa (FR) de cada classe da Escala Aritmética Simplificada.

NOME DO POSTO	NM	TDCP	0,1		2,0		6,0		10,0		30,0		60,0	
			FA	FR	FA	FR	FA	FR	FA	FR	FA	FR	FA	FR
Água Branca	38	116	0	0	14	12	25	22	49	42	21	18	7	6
Alhandra	37	334	92	28	131	39	44	13	54	16	10	3	3	1
Araruna	38	175	14	8	72	41	28	16	47	27	11	6	3	2
Areia	33	373	164	44	99	27	39	10	58	16	12	3	1	0
Barra de Santa Rosa	36	89	35	39	25	28	9	10	19	21	1	1	0	0
Barra do Juá	38	162	12	7	46	28	23	14	57	35	19	12	5	3
Cabaceiras	38	39	3	8	11	28	5	13	15	38	3	8	2	5
Cajazeiras	37	204	14	7	56	27	28	14	68	33	31	15	7	3
Campina Grande	34	160	52	32	47	29	19	12	32	20	9	6	1	1
Caraúbas	38	67	15	22	9	13	12	18	24	36	7	10	0	0
Catolé do Rocha	38	198	50	25	39	20	26	13	56	28	19	10	8	4
Conceição	37	150	7	5	23	15	17	11	70	47	23	15	10	7
Curemas	36	200	36	18	49	24	18	9	54	27	31	16	12	6
Guarabira	31	191	36	19	58	30	30	16	45	23	18	9	4	2
Ingá	37	244	134	55	50	20	16	7	37	15	6	2	1	1
Itabaiana	38	166	28	17	66	40	30	18	34	20	7	4	1	1
Itaporanga	38	238	51	21	58	24	34	14	65	27	24	10	6	3

Cont. TABELA 1

NOME DO POSTO	NM	TDCP	0,1		2,0		6,0		10,0		30,0		60,0	
			FA	FR	FA	FR	FA	FR	FA	FR	FA	FR	FA	FR
João Pessoa	30	383	170	44	105	27	37	10	54	14	15	4	2	1
Mamanguape	38	213	29	14	72	34	28	13	72	34	9	4	3	1
Monteiro	30	77	11	14	17	22	12	16	26	34	7	9	4	5
Patos	38	166	20	12	47	28	22	13	48	29	23	14	6	4
Pedra Lavrada	38	91	8	9	40	44	8	9	25	27	8	9	2	2
Picuí	35	78	15	19	16	21	14	18	26	33	4	5	3	4
Pombal	38	201	53	26	50	25	13	6	52	26	26	13	7	3
Princesa Isabel	38	189	14	7	44	23	33	17	62	33	27	14	9	5
Santa Luzia	38	147	26	18	48	33	17	12	44	30	11	7	1	1
Sapé	37	203	54	27	67	33	23	11	46	23	9	4	4	2
São João do Tigre	37	69	1	1	9	13	13	19	31	45	12	17	3	4
Soledade	37	67	10	15	20	30	11	16	19	28	6	9	1	1
Souza	38	171	11	6	41	24	28	16	58	34	25	15	8	5
Taperoá	36	98	15	15	15	15	17	17	38	39	11	11	2	2
Umbuzeiro	38	131	33	25	30	23	26	20	30	23	7	5	5	4

TABELA 2

FEVEREIRO

Número total de meses (NM) e total de dias chuvosos (TDCP) no período em estudo (1940/77), frequência absoluta (FA) e relativa (FR) de cada classe da Escala Aritmética Simplificada.

NOME DO POSTO	NM	TDCP	0,1		2,0		6,0		10,0		30,0		60,0	
			FA	FR	FA	FR	FA	FR	FA	FR	FA	FR	FA	FR
Água Branca	38	173	4	2	11	6	32	18	81	47	34	20	11	6
Alhandra	38	379	110	29	114	30	50	13	83	22	18	5	4	1
Araruna	38	200	22	11	66	33	39	20	58	29	13	6	2	1
Areia	33	361	141	39	96	27	38	11	68	19	17	5	1	0
Barra de Santa Rosa	38	102	21	21	30	29	18	18	27	26	4	4	2	2
Barra do Juá	37	206	11	5	57	28	36	17	69	33	28	14	5	2
Cabaceiras	37	66	13	20	15	23	11	17	19	29	5	8	3	5
Cajazeiras	38	289	30	10	52	18	31	11	115	40	48	17	13	4
Campina Grande	34	187	66	35	57	30	25	13	33	18	6	3	0	0
Caraúbas	38	92	24	26	17	18	8	9	30	33	9	10	4	4
Catolé do Rocha	38	330	76	23	79	24	43	13	94	28	33	10	5	2
Conceição	38	220	15	7	31	14	35	16	85	40	35	16	15	7
Curemas	36	286	30	10	73	26	42	15	91	32	36	13	14	5
Guarabira	31	194	55	28	45	23	32	16	45	23	15	8	2	1
Ingá	38	257	132	51	59	23	26	10	34	13	4	2	2	1
Itabaiana	38	169	20	12	64	38	33	20	41	24	10	6	1	1
Itaporanga	38	334	50	15	92	28	48	14	90	27	41	12	13	4

Cont. TABELA 2

NOME DO POSTO	NM	TDCP	0,1		2,0		6,0		10,0		30,0		60,0	
			FA	FR	FA	FR	FA	FR	FA	FR	FA	FR	FA	FR
João Pessoa	30	379	174	46	101	27	40	11	44	12	15	4	5	1
Mamanguape	38	211	18	9	83	39	28	13	59	28	21	10	2	1
Monteiro	31	114	16	14	25	22	13	11	40	35	14	12	6	5
Patos	37	318	44	14	80	25	56	18	82	26	45	14	11	3
Pedra Lavrada	38	135	13	10	47	35	18	13	38	28	15	11	4	3
Picuí	35	104	8	8	37	36	25	24	25	24	7	7	2	2
Pombal	38	292	73	25	50	17	39	13	87	30	34	12	9	3
Princesa Isabel	38	260	9	3	59	23	44	17	104	40	29	11	15	6
Santa Luzia	38	240	25	10	66	27	50	21	70	29	24	10	5	2
Sapé	38	183	39	21	63	34	25	13	40	22	15	8	3	2
São João do Tigre	37	104	4	4	18	17	12	12	40	38	22	21	8	8
Soledade	38	98	23	23	23	23	12	12	27	28	8	8	5	5
Souza	37	281	9	3	68	24	45	16	102	36	39	14	18	6
Taperoá	38	150	23	15	33	22	26	17	45	30	15	10	8	5
Umbuzeiro	38	131	27	21	35	27	28	21	34	26	7	5	0	0

TABELA 3

MARÇO

Número total de meses (NM) e total de dias chuvosos (TDCP) no período em estudo (1940/77), frequência absoluta (FA) e relativa (FR) de cada classe da Escala Aritmética Simplificada.

NOME DO POSTO	NM	TDCP	0,1		2,0		6,0		10,0		30,0		60,0	
			FA	FR	FA	FR	FA	FR	FA	FR	FA	FR	FA	FR
Água Branca	38	306	3	1	28	9	44	14	152	50	65	21	14	5
Alhandra	37	548	121	22	149	27	79	14	146	27	46	8	7	1
Araruna	38	355	25	7	110	31	57	16	121	34	32	9	10	3
Areia	33	576	190	33	144	25	66	11	133	23	35	6	8	1
Barra de Santa Rosa	38	189	34	18	50	26	32	17	52	28	19	10	2	1
Barra do Juá	37	403	12	3	87	22	70	17	159	39	59	15	16	4
Cabaceiras	38	135	19	14	43	32	25	19	36	27	10	7	2	1
Cajazeiras	38	474	19	4	86	18	59	12	200	42	76	16	34	7
Campina Grande	34	345	84	24	114	33	42	12	86	25	16	5	3	1
Caraúbas	38	211	24	11	35	17	40	19	77	36	23	11	12	6
Catolé do Rocha	38	601	108	18	143	24	89	15	166	28	69	11	26	4
Conceição	38	325	9	3	29	9	51	16	146	45	69	21	21	6
Curemas	36	479	47	10	113	24	87	18	143	30	65	14	24	5
Guarabira	31	337	43	13	91	27	56	17	100	30	37	11	10	3
Ingá	38	409	167	41	106	26	49	12	71	17	11	3	5	1
Itabaiana	38	291	23	8	90	31	55	19	91	31	27	9	5	2
Itaporanga	38	548	65	12	135	25	87	16	163	30	80	15	18	3

Cont. TABELA 3

NOME DO POSTO	NM	TDCP	0,1		2,0		6,0		10,0		30,0		60,0	
			FA	FR	FA	FR	FA	FR	FA	FR	FA	FR	FA	FR
João Pessoa	30	564	178	32	142	25	53	9	135	24	41	7	15	3
Mamanguape	37	336	22	7	89	26	59	18	113	34	44	13	9	3
Monteiro	31	243	27	11	46	19	32	13	85	35	40	16	13	5
Patos	36	470	51	11	106	23	46	10	183	39	65	14	19	4
Pedra Lavrada	38	264	16	6	96	36	41	16	83	31	23	9	5	2
Picuí	34	219	20	9	59	27	43	20	68	31	23	10	6	3
Pombal	38	527	83	16	130	25	76	14	155	29	67	13	16	3
Princesa Isabel	38	373	12	3	67	18	46	12	154	41	71	19	23	6
Santa Luzia	38	455	53	12	122	27	69	15	129	28	65	14	17	4
Sapé	37	330	51	15	94	28	53	16	104	32	21	6	7	2
São João do Tigre	37	210	1	0	14	7	29	14	103	49	44	21	19	9
Soledade	38	226	36	16	69	30	32	14	54	24	27	12	8	4
Souza	37	442	13	3	100	23	66	15	176	40	69	16	18	4
Taperoá	38	300	27	9	69	23	33	11	105	35	49	16	17	6
Umbuzeiro	38	237	31	13	63	27	43	18	78	33	15	6	7	3

TABELA 4

ABRIL

Número total de meses (NM) e total de dias chuvosos (TDCP) no período em estudo (1940/77), frequência absoluta (FA) e relativa (FR) de cada classe da Escala Aritmética Simplificada.

NOME DO POSTO	NM	TDCP	0,1		2,0		6,0		10,0		30,0		60,0	
			FA	FR	FA	FR	FA	FR	FA	FR	FA	FR	FA	FR
Água Branca	37	289	9	3	39	13	53	18	132	46	44	15	12	4
Alhandra	38	593	108	18	169	28	85	14	161	27	54	9	16	3
Araruna	38	366	30	8	99	27	78	21	116	32	37	10	6	2
Areia	33	584	170	29	141	24	85	15	153	26	28	5	7	1
Barra de Santa Rosa	38	229	46	20	55	24	36	16	74	32	13	6	5	2
Barra do Juá	37	329	14	4	60	18	63	19	138	42	47	14	7	2
Cabaceiras	36	158	17	11	33	21	34	22	52	33	17	11	5	2
Cajazeiras	38	342	21	6	64	18	52	15	133	39	53	15	19	6
Campina Grande	34	387	89	23	103	27	50	13	120	31	22	6	3	1
Caraúbas	38	228	47	21	50	22	29	13	67	29	29	13	6	3
Catolé do Rocha	38	522	109	21	127	24	69	13	135	26	53	10	29	6
Conceição	38	245	8	3	29	12	38	16	118	48	41	17	11	4
Curemas	35	396	53	13	89	22	60	15	137	35	43	11	14	4
Guarabira	30	360	47	13	98	27	48	13	102	28	52	14	13	4
Ingá	38	470	201	43	117	25	57	12	77	16	18	4	0	0
Itabaiana	38	344	37	11	109	32	65	19	110	32	17	5	6	2
Itaporanga	38	443	76	17	97	22	71	16	131	30	46	10	22	5

Cont. TABELA 4

NOME DO POSTO	NM	TCCP	0,1		2,0		6,0		10,0		30,0		60,0	
			FA	FR	FA	FR	FA	FR	FA	FR	FA	FR	FA	FR
João Pessoa	30	611	180	29	133	22	83	14	138	23	54	9	23	4
Mamanguape	37	379	31	8	101	27	54	14	128	34	53	14	12	3
Monteiro	31	196	30	15	43	22	21	11	63	32	27	24	12	6
Patos	37	372	53	14	89	24	62	17	105	28	39	10	24	6
Pedra Lavrada	38	264	28	11	93	35	51	19	60	23	24	9	8	3
Picuí	33	185	17	9	45	24	35	19	69	37	14	8	5	3
Pombal	38	434	87	20	85	20	62	14	126	29	54	12	20	5
Princesa Isabel	38	326	27	8	51	16	55	17	121	37	56	17	16	5
Santa Luzia	38	352	36	10	93	26	56	16	114	32	45	13	8	2
Sapé	37	388	38	10	129	33	56	14	112	29	42	11	11	3
São João do Tigre	37	210	3	1	35	17	36	17	100	48	30	14	6	3
Soledade	38	224	46	21	66	29	19	8	54	24	29	13	10	4
Souza	37	302	4	1	58	19	46	15	121	40	57	19	16	5
Taperoá	38	274	28	10	63	23	40	14	101	37	29	11	13	5
Umbuzeiro	38	318	52	16	100	31	49	15	93	29	21	7	3	1

TABELA 5

MAIO

Número total de meses (NM) e total de dias chuvosos (TDCP) no período em estudo (1940/77), frequência absoluta (FA) e relativa (FR) de cada classe da Escala Aritmética Simplificada.

NOME DO POSTO	NM	TDCP	0,1		2,0		6,0		10,0		30,0		60,0	
			FA	FR	FA	FR	FA	FR	FA	FR	FA	FR	FA	FR
Água Branca	38	199	6	3	24	12	49	25	89	45	26	13	5	2
Alhandra	38	707	124	18	165	23	94	13	221	31	79	11	24	3
Araruna	38	383	23	6	130	34	82	21	115	30	30	8	3	1
Areia	33	663	186	28	159	24	92	14	180	27	36	5	10	2
Barra de Santa Rosa	38	207	35	17	77	37	38	18	48	23	8	4	1	0
Barra do Juá	38	224	6	3	57	25	45	20	82	37	29	13	5	2
Cabaceiras	37	186	41	22	51	27	39	21	49	26	5	3	1	1
Cajazeiras	38	189	13	7	59	31	33	17	66	35	14	7	4	2
Campina Grande	33	431	84	19	141	33	80	19	109	25	15	3	2	0
Caraúbas	38	179	48	27	49	27	34	19	35	20	12	7	1	1
Catolé do Rocha	38	371	84	23	79	21	58	16	103	28	38	10	9	2
Conceição	38	146	6	4	31	21	23	16	66	45	18	12	2	1
Curemas	35	262	48	18	87	33	43	16	63	24	18	7	3	1
Guarabira	31	376	43	11	88	23	58	15	127	34	42	11	18	5
Ingá	38	537	227	42	121	23	63	12	109	20	17	3	0	0
Itabaiana	38	384	56	15	115	30	71	18	108	28	27	7	7	2
Itaporanga	38	278	67	24	80	29	47	17	58	21	21	8	5	2

Cont. TABELA 5

NOME DO POSTO	NM	TDCP	0,1		2,0		6,0		10,0		30,0		60,0	
			FA	FR	FA	FR	FA	FR	FA	FR	FA	FR	FA	FR
João Pessoa	30	665	193	29	131	20	92	14	152	23	68	10	29	4
Mamanguape	36	448	31	8	102	27	78	21	164	43	50	13	23	6
Monteiro	31	163	31	19	54	33	20	12	43	26	13	8	2	1
Patos	38	182	32	18	57	31	28	15	50	27	12	7	3	2
Pedra Lavrada	38	190	32	17	104	55	25	13	23	12	6	3	0	0
Picuí	35	130	26	20	49	38	23	18	28	21	2	2	2	2
Pombal	37	264	60	23	69	26	41	16	62	23	27	10	5	2
Princesa Isabel	38	239	21	9	66	28	48	20	74	31	26	11	4	2
Santa Luzia	38	170	36	21	47	28	31	18	46	27	9	5	1	1
Sapé	37	426	54	13	129	30	48	11	139	33	46	11	10	2
São João do Tigre	36	107	2	2	26	24	24	22	46	43	8	7	1	1
Soledade	38	215	63	29	71	33	29	13	42	20	9	4	1	0
Souza	37	200	9	4	63	32	40	20	67	33	14	7	7	4
Taperoá	38	191	40	21	56	29	30	16	50	26	12	6	3	2
Umbuzeiro	38	433	53	12	134	31	64	15	155	36	26	6	1	0

TABELA 6

JUNHO

Número total de meses (NM) e total de dias chuvosos (TDCP) no período em estudo (1940/77), freqüência absoluta (FA) e relativa (FR) de cada classe da Escala Aritmética Simplificada.

NOME DO POSTO	NM	TDCP	0, 1		2, 0		6, 0		10, 0		30, 0		60, 0	
			FA	FR	FA	FR	FA	FR	FA	FR	FA	FR	FA	FR
Água Branca	38	141	1	1	28	20	39	28	60	43	12	9	1	1
Alhandra	38	710	126	18	184	26	110	15	201	28	66	9	23	3
Araruna	38	391	32	8	119	30	80	21	126	32	29	7	5	1
Areia	33	690	159	23	175	25	100	14	200	29	51	7	5	1
Barra de Santa Rosa	37	171	37	22	71	41	31	18	24	14	7	4	1	1
Barra do Juá	38	123	2	2	44	36	27	22	40	33	9	7	1	1
Cabaceiras	36	191	27	19	50	35	26	18	32	23	5	4	1	1
Cajazeiras	38	91	8	9	25	27	23	25	29	32	6	7	0	0
Campina Grande	34	466	93	20	171	37	78	17	108	23	13	3	3	1
Caraúbas	38	139	64	46	36	26	15	11	21	15	3	2	0	0
Catolé do Rocha	38	219	79	36	66	30	26	12	39	18	8	4	1	0
Conceição	37	61	3	5	15	25	9	15	24	39	9	15	1	2
Curemas	36	150	42	28	42	28	24	16	36	24	6	4	0	0
Guarabira	32	426	59	14	97	23	71	17	123	29	52	12	24	6
Ingá	38	619	267	43	153	25	76	12	104	17	17	3	2	0
Itabaiana	38	400	55	19	135	34	75	19	111	28	22	5	2	1
Itaporanga	38	173	53	31	51	29	30	17	32	18	5	3	2	1

Cont. TABELA 6

NOME DO POSTO	NM	TDCP	0,1		2,0		6,0		10,0		30,0		60,0	
			FA	FR	FA	FR	FA	FR	FA	FR	FA	FR	FA	FR
João Pessoa	30	687	207	30	135	20	83	12	168	24	64	9	30	4
Mamanguape	36	452	26	6	105	23	81	18	151	33	62	14	27	6
Monteiro	30	127	28	22	43	34	20	16	27	21	6	5	3	2
Patos	38	86	19	22	26	30	16	19	21	24	3	3	1	1
Pedra Lavrada	38	163	48	29	86	53	16	10	13	8	0	0	0	0
Picuí	32	84	22	26	32	38	16	19	13	15	1	1	0	0
Pombal	37	154	43	28	51	33	22	14	31	20	6	4	1	1
Princesa Isabel	38	157	33	21	43	27	28	18	40	25	11	7	2	1
Santa Luzia	37	101	38	38	35	35	13	13	13	13	2	2	0	0
Sapé	37	468	66	14	142	30	65	14	145	31	39	8	11	2
São João do Tigre	37	110	4	4	34	3	26	24	37	34	9	8	0	0
Soledade	38	205	76	37	61	30	27	13	35	17	6	3	0	0
Souza	38	102	6	6	37	36	22	22	32	31	4	4	1	1
Taperoá	37	154	46	30	59	35	22	14	28	18	4	3	0	0
Umbuzeiro	37	419	59	19	126	30	65	16	136	32	26	6	7	2

TABELA 7

JULHO

Número total de meses (NM) e total de dias chuvosos (TDCP) no período em estudo (1940/77), frequência absoluta (FA) e relativa (FR) de cada classe da Escala Aritmética Simplificada.

NOME DO POSTO	NM	TDCP	0,1		2,0		6,0		10,0		30,0		60,0	
			FA	FR	FA	FR	FA	FR	FA	FR	FA	FR	FA	FR
Água Branca	37	96	3	3	13	14	19	20	50	52	11	11	0	0
Alhandra	38	727	146	20	190	26	125	17	184	25	69	9	13	2
Araruna	38	399	29	7	147	37	69	17	122	31	27	7	5	1
Areia	34	682	165	24	178	26	92	13	185	27	53	8	9	1
Barra de Santa Rosa	37	185	38	20	74	40	42	23	24	13	3	2	4	2
Barra do Juá	38	74	3	4	23	31	17	23	30	41	1	1	0	0
Cabaceiras	36	109	16	15	35	32	22	20	32	29	4	4	0	0
Cajazeiras	38	38	7	12	21	36	13	22	16	28	1	2	0	0
Campina Grande	35	487	112	23	181	37	64	13	110	23	17	3	3	1
Caraúbas	38	126	57	45	32	25	6	5	30	24	0	0	1	1
Catolé do Rocha	38	144	58	40	41	28	24	17	18	12	2	1	1	1
Conceição	38	29	1	3	4	14	6	21	14	48	3	10	1	3
Curemas	36	103	21	20	49	48	14	14	19	18	0	0	0	0
Guarabira	33	363	31	9	96	26	61	17	113	31	49	13	13	4
Ingá	38	582	247	42	156	27	72	12	93	16	12	2	2	0
Itabaiana	38	375	48	13	146	39	63	17	100	27	15	4	3	1
Itaporanga	38	122	44	36	42	34	11	9	23	19	2	2	0	0

Cont. TABELA 7

NOME DO POSTO	NM	TDCP	0,1		2,0		6,0		10,0		30,0		60,0	
			FA	FR	FA	FR	FA	FR	FA	FR	FA	FR	FA	FR
João Pessoa	30	716	227	32	185	26	101	14	142	20	45	6	16	2
Mamanguape	37	411	21	5	113	27	71	17	143	35	43	10	20	5
Monteiro	31	75	21	28	21	28	12	16	20	27	1	1	0	0
Patos	38	63	22	35	24	38	10	16	6	10	1	2	0	0
Pedra Lavrada	38	148	51	34	72	49	16	11	8	5	0	0	1	1
Picuí	33	67	32	48	19	28	5	7	9	13	2	3	0	0
Pombal	38	96	29	30	32	33	21	22	13	13	1	1	0	0
Princesa Isabel	38	118	40	34	31	26	14	12	25	21	6	5	2	2
Santa Luzia	38	63	20	32	22	35	10	16	9	14	1	2	1	2
Sapé	37	433	58	13	160	37	59	14	114	26	35	8	7	2
São João do Tigre	38	81	8	10	19	23	19	23	27	33	8	10	0	0
Soledade	38	188	66	35	68	36	20	11	29	15	4	2	1	1
Souza	38	60	1	2	28	47	19	32	19	20	0	0	0	0
Taperoá	38	141	53	38	46	33	18	13	21	15	3	2	0	0
Umbuzeiro	38	406	49	12	130	32	72	18	132	33	19	5	4	1

TABELA 8

AGOSTO

Número total de meses (NM) e total de dias chuvosos (TDCP) no período em estudo (1940/77), frequência absoluta (FA) e relativa (FR) de cada classe da Escala Aritmética Simplificada.

NOME DO POSTO	NM	TDCP	0,1		2,0		6,0		10,0		30,0		60,0	
			FA	FR	FA	FR	FA	FR	FA	FR	FA	FR	FA	FR
Água Branca	38	28	1	4	1	4	10	36	15	54	1	4	0	0
Alhandra	38	555	140	25	167	30	92	17	125	23	29	5	2	0
Araruna	38	260	27	10	103	40	53	20	67	26	10	4	0	0
Areia	34	601	211	35	158	26	69	11	135	23	26	4	1	0
Barra de Santa Rosa	37	100	36	36	40	40	13	13	11	11	0	0	0	0
Barra do Juá	38	25	3	12	10	40	5	20	6	24	1	4	0	0
Cabaceiras	37	50	17	34	13	26	6	12	14	28	0	0	0	0
Cajazeiras	38	12	0	0	6	50	1	8	4	33	1	8	0	0
Campina Grande	35	401	116	29	158	39	67	17	56	14	4	1	0	0
Caraúbas	38	50	31	62	13	26	4	8	2	4	0	0	0	0
Catolé do Rocha	38	45	25	56	12	27	1	2	4	9	1	2	2	4
Conceição	38	11	1	9	1	9	2	18	7	64	0	0	0	0
Curemas	35	37	14	38	17	46	2	5	0	0	4	11	0	0
Guarabira	32	266	28	11	93	35	44	17	81	30	17	6	3	1
Ingá	38	461	238	52	128	28	52	11	40	9	3	1	0	0
Itabaiana	38	267	48	18	129	48	44	16	40	15	4	1	2	1
Itaporanga	38	25	11	44	7	28	2	8	5	20	0	0	0	0

Cont. TABELA 8

NOME DO POSTO	NM	TDCP	0,1		2,0		6,0		10,0		30,0		60,0	
			FA	FR	FA	FR	FA	FR	FA	FR	FA	FR	FA	FR
João Pessoa	30	663	254	38	211	32	82	12	98	15	15	2	3	0
Mamanguape	37	328	47	14	126	38	52	16	75	23	19	6	9	3
Monteiro	31	36	17	47	8	22	4	11	6	17	1	3	0	0
Patos	38	15	4	27	6	40	2	13	3	20	0	0	0	0
Pedra Lavrada	38	62	29	47	29	47	2	3	2	3	0	0	0	0
Picuí	32	23	9	39	12	52	1	4	1	4	0	0	0	0
Pombal	38	37	17	46	10	27	3	8	5	14	1	3	1	3
Princesa Isabel	38	45	8	18	16	36	5	11	15	33	1	2	0	0
Santa Luzia	38	14	5	36	3	21	4	29	2	14	0	0	0	0
Sapé	38	326	76	23	115	35	42	13	80	25	9	3	4	1
São João do Tigre	38	36	3	8	8	22	10	28	14	39	1	3	0	0
Soledade	38	74	36	49	22	30	9	12	7	9	0	0	0	0
Souza	38	11	0	0	4	36	5	45	1	9	1	9	0	0
Taperoá	38	34	11	32	10	29	8	24	4	12	0	0	1	3
Umbuzeiro	38	320	62	19	116	36	65	20	71	22	6	2	0	0

TABELA 9

SETEMBRO

Número total de meses (NM) e total de dias chuvosos (TDCP) no período em estudo (1940/77), freqüência absoluta (FA) e relativa (FR) de cada classe da Escala Aritmética Simplificada.

NOME DO POSTO	NM	TDCP	0,1		2,0		6,0		10,0		30,0		60,0	
			FA	FR	FA	FR	FA	FR	FA	FR	FA	FR	FA	FR
Água Branca	38	19	0	0	3	16	3	16	10	53	3	16	0	0
Alhandra	37	374	136	36	118	32	48	13	56	15	16	4	0	0
Araruna	38	148	29	20	54	36	27	18	32	22	6	4	0	0
Areia	33	417	172	41	123	29	52	12	61	15	9	2	0	0
Barra de Santa Rosa	37	58	13	22	34	59	5	9	6	10	0	0	0	0
Barra do Juá	38	14	0	0	5	36	6	43	2	14	0	0	1	7
Cabaceiras	36	34	19	56	9	26	5	15	0	0	1	3	0	0
Cajazeiras	38	19	0	0	12	63	4	21	3	16	0	0	0	0
Campina Grande	33	204	71	35	82	40	32	16	19	9	0	0	0	0
Caraúbas	38	18	12	67	2	11	2	11	2	11	0	0	0	0
Catolé do Rocha	38	29	17	59	3	10	3	10	4	14	2	7	0	0
Conceição	38	15	3	20	0	0	0	0	7	47	2	13	3	20
Curemas	36	19	7	37	7	37	2	11	2	11	1	5	0	0
Guarabira	30	170	39	23	64	38	21	12	38	22	7	4	1	1
Ingá	38	323	196	60	83	26	24	7	18	6	2	1	0	0
Itabaiana	38	149	29	19	64	43	28	19	23	15	4	3	1	1
Itaporanga	38	39	10	26	12	31	4	10	9	23	2	5	2	5

Cont. TABELA 9

NOME DO POSTO	NM	TDCP	0,1		2,0		6,0		10,0		30,0		60,0	
			FA	FR	FA	FR	FA	FR	FA	FR	FA	FR	FA	FR
João Pessoa	30	495	246	50	143	29	58	12	44	9	2	0	2	0
Mamanguape	37	217	33	15	95	44	34	16	51	24	2	1	2	1
Monteiro	31	11	5	45	0	0	2	18	3	27	0	0	1	9
Patos	38	7	3	43	3	43	1	14	0	0	0	0	0	0
Pedra Lavrada	38	31	13	42	17	55	1	3	0	0	0	0	0	0
Picuí	31	4	2	50	1	25	1	25	0	0	0	0	0	0
Pombal	38	14	4	29	6	43	1	7	3	21	0	0	0	0
Princesa Isabel	38	41	4	10	14	34	11	27	11	27	1	2	0	0
Santa Luzia	38	12	4	33	7	58	1	8	0	0	0	0	0	0
Sapé	38	224	58	26	92	41	26	12	42	19	5	2	1	0
São João do Tigre	38	19	2	11	6	32	2	11	8	42	1	5	0	0
Soledade	38	19	7	37	6	32	2	10	4	21	0	0	0	0
Souza	38	8	1	12	2	25	2	25	1	12	2	25	0	0
Taperoá	38	23	13	57	7	30	1	4	2	9	0	0	0	0
Umbuzeiro	38	193	41	21	66	34	38	20	43	22	4	2	1	1

TABELA 10

OUTUBRO

Número total de meses (NM) e total de dias chuvosos (TDCP) no período em estudo (1940/77), frequência absoluta (FA) e relativa (FR) de cada classe da Escala Aritmética Simplificada.

NOME DO POSTO	NM	TDCP	0,1		2,0		6,0		10,0		30,0		60,0	
			FA	FR	FA	FR	FA	FR	FA	FR	FA	FR	FA	FR
Água Branca	37	11	2	18	1	9	4	36	4	36	0	0	0	0
Alhandra	38	275	100	36	116	42	31	11	25	9	3	1	0	0
Araruna	38	86	11	13	44	51	23	27	7	8	0	0	1	1
Areia	32	310	155	51	94	31	26	9	26	9	2	1	0	0
Barra de Santa Rosa	37	34	12	35	15	44	2	6	5	15	0	0	0	0
Barra do Juá	37	6	1	17	1	17	0	0	3	50	1	17	0	0
Cabaceiras	36	14	6	43	2	14	1	7	5	36	0	0	0	0
Cajazeiras	38	39	6	15	15	38	8	21	7	18	2	5	1	3
Campina Grande	35	130	57	44	62	48	7	5	4	3	0	0	0	0
Caraúbas	38	14	7	50	1	7	1	7	4	29	1	7	0	0
Catolé do Rocha	38	24	10	42	7	29	1	4	4	17	2	8	0	0
Conceição	38	18	3	17	3	17	3	17	8	44	1	6	0	0
Curemas	36	35	5	14	14	40	3	9	7	20	4	11	2	6
Guarabira	30	108	35	32	38	35	17	16	17	16	0	0	1	1
Ingá	38	238	166	70	54	23	7	3	10	4	1	0	0	0
Itabaiana	38	89	23	26	40	45	16	18	9	10	0	0	1	1
Itaporanga	38	51	13	25	12	24	11	22	11	22	3	6	1	2

Cont. TABELA 10

NOME DO POSTO	NM	TDCP	0,1		2,0		6,0		10,0		30,0		60,0	
			FA	FR	FA	FR	FA	FR	FA	FR	FA	FR	FA	FR
João Pessoa	30	329	210	64	85	26	23	7	10	3	1	0	0	0
Mamanguape	36	143	26	18	72	50	26	18	18	13	1	1	0	0
Monteiro	29	18	3	17	4	22	3	17	4	22	3	17	1	6
Patos	38	16	3	19	5	31	1	6	6	37	1	6	0	0
Pedra Lavrada	38	16	9	56	4	25	1	6	1	6	0	0	1	6
Picuí	32	3	1	33	2	67	0	0	0	0	0	0	0	0
Pombal	38	17	1	6	3	18	3	18	6	35	4	24	0	0
Princesa Isabel	38	39	8	21	9	23	8	21	12	31	2	5	0	0
Santa Luzia	38	7	2	29	2	29	0	0	0	0	3	43	0	0
Sapé	38	131	47	36	56	43	20	15	4	3	2	2	2	2
São João do Tigre	38	20	1	5	8	40	5	25	5	25	1	5	0	0
Soledade	38	12	2	17	5	42	0	0	4	33	1	8	0	0
Souza	38	22	2	9	7	31	2	9	9	41	2	9	0	0
Taperoá	35	10	5	50	2	20	2	20	1	10	0	0	0	0
Umbuzeiro	38	102	33	32	39	38	13	13	16	16	1	1	0	0

TABELA 11

NOVEMBRO

Número total de meses (NM) e total de dias chuvosos (TDCP) no período em estudo (1940/77), frequência absoluta (FA) e relativa (FR) de cada classe da Escala Aritmética Simplificada.

NOME DO POSTO	NM	TDCP	0,1		2,0		6,0		10,0		30,0		60,0	
			FA	FR	FA	FR	FA	FR	FA	FR	FA	FR	FA	FR
Água Branca	38	27	1	4	2	7	5	19	11	41	8	30	0	0
Alhandra	38	245	105	43	85	35	32	13	20	8	3	1	0	0
Araruna	38	97	13	13	48	49	15	15	17	18	3	3	1	1
Areia	33	268	151	56	71	26	20	7	21	8	4	1	1	0
Barra de Santa Rosa	37	41	16	39	15	37	3	7	6	15	0	0	1	2
Barra do Juá	38	22	1	5	7	32	3	14	8	36	2	9	1	5
Cabaceiras	36	17	9	53	5	29	1	6	1	6	1	6	0	0
Cajazeiras	38	38	3	8	13	34	7	18	8	21	5	13	2	5
Campina Grande	35	123	58	47	48	39	10	8	7	6	0	0	0	0
Caraúbas	38	33	11	33	9	27	4	12	4	12	5	15	0	0
Catolé do Rocha	38	32	7	22	10	31	5	16	6	19	3	9	1	3
Conceição	37	47	2	4	3	6	7	15	24	51	7	15	4	9
Curemas	36	42	9	21	7	17	6	14	9	21	7	17	4	9
Guarabira	30	112	31	28	44	39	17	15	19	17	0	0	1	1
Ingá	38	179	125	70	32	18	8	4	12	7	1	1	1	1
Itabaiana	38	97	19	20	59	61	10	10	9	9	0	0	0	0
Itaporanga	38	62	8	13	18	29	10	16	15	24	9	15	2	3

Cont. TABELA 11

NOME DO POSTO	NM	TDCP	0,1		2,0		6,0		10,0		30,0		60,0	
			FA	FR	FA	FR	FA	FR	FA	FR	FA	FR	FA	FR
João Pessoa	30	284	178	63	76	27	10	4	18	6	2	1	0	0
Mamanguape	37	145	29	20	72	50	18	12	22	15	4	3	0	0
Monteiro	30	27	4	15	8	30	4	15	6	22	4	15	1	4
Patos	38	41	8	20	14	34	2	5	11	27	2	5	4	10
Pedra Lavrada	38	16	5	13	6	37	2	13	3	19	0	0	0	0
Picuí	33	16	2	13	2	13	3	19	7	44	2	12	0	0
Pombal	37	34	7	21	7	21	4	12	7	21	5	15	4	12
Princesa Isabel	38	72	7	10	13	18	8	11	25	35	14	19	5	7
Santa Luzia	38	33	3	9	17	52	6	18	5	15	1	3	1	3
Sapé	38	104	38	37	43	41	12	12	9	9	2	2	0	0
São João do Tigre	38	22	0	0	4	18	3	14	7	32	4	18	4	18
Soledade	38	13	4	31	4	31	3	23	2	15	0	0	0	0
Souza	38	28	1	4	8	29	4	14	9	32	4	14	2	7
Taperoá	35	24	5	21	4	17	6	25	3	12	4	17	2	8
Umbuzeiro	38	68	23	34	19	28	14	21	11	16	1	1	0	0

TABELA 12

DEZEMBRO

Número total de meses (NM) e total de dias chuvosos (TDCP) no período em estudo (1940/77), frequência absoluta (FA) e relativa (FR) de cada classe da Escala Aritmética Simplificada.

NOME DO POSTO	NM	TDCP	0,1		2,0		6,0		10,0		30,0		60,0	
			FA	FR	FA	FR	FA	FR	FA	FR	FA	FR	FA	FR
Água Branca	38	46	6	13	7	15	5	11	21	46	5	11	2	4
Alhandra	38	313	123	39	109	35	37	12	35	11	7	2	2	1
Araruna	37	111	14	13	52	47	19	17	23	21	3	3	0	0
Areia	33	336	168	50	89	26	35	10	38	11	6	2	0	0
Barra de Santa Rosa	36	51	15	29	15	29	12	24	9	18	0	0	0	0
Barra do Juá	36	36	3	8	11	31	3	8	12	33	5	14	2	6
Cabaceiras	34	20	1	5	8	40	3	15	5	25	2	10	1	5
Cajazeiras	38	100	9	9	20	20	15	15	32	32	22	22	2	2
Campina Grande	35	173	70	40	63	36	19	11	19	11	2	1	0	0
Caraúbas	38	43	11	26	7	26	11	26	9	21	3	7	2	5
Catolé do Rocha	38	85	26	31	18	21	13	15	20	24	7	8	1	1
Conceição	38	91	8	9	18	20	10	11	38	42	14	15	3	3
Curemas	36	102	20	20	36	35	13	13	20	20	11	11	2	2
Guarabira	31	138	41	30	38	28	21	15	27	20	7	5	4	3
Ingá	38	249	157	63	50	20	17	7	23	9	2	1	0	0
Itabaiana	38	127	23	18	45	35	27	21	29	23	3	2	0	0
Itaporanga	38	145	31	21	33	23	25	17	34	23	16	11	6	4

Cont. TABELA 12

NOME DO POSTO	NM	TDCP	0,1		2,0		6,0		10,0		30,0		60,0	
			FA	FR	FA	FR	FA	FR	FA	FR	FA	FR	FA	FR
João Pessoa	30	336	190	57	92	27	25	7	26	8	2	1	1	0
Mamanguape	36	167	19	11	79	47	27	16	26	16	14	8	2	1
Monteiro	30	47	12	26	8	17	6	13	15	32	4	9	2	4
Patos	38	80	17	21	22	28	10	12	23	29	7	9	1	1
Pedra Lavrada	37	35	10	29	6	17	7	20	8	23	4	11	0	0
Picuí	32	20	4	20	6	30	0	0	6	30	3	15	1	5
Pombal	38	93	22	24	37	40	8	9	19	20	7	8	0	0
Princesa Isabel	37	137	16	12	28	20	22	16	47	34	20	15	4	3
Santa Luzia	38	67	8	12	26	39	9	13	15	22	6	9	3	4
Sapé	36	139	46	33	46	33	21	15	23	17	2	1	1	1
São João do Tigre	38	46	2	4	11	24	5	11	19	41	7	15	2	4
Soledade	36	28	10	36	6	21	5	18	6	21	1	4	0	0
Souza	38	61	3	5	17	28	8	13	20	33	10	16	3	5
Taperoá	35	66	18	27	10	15	9	14	21	32	3	4	5	8
Umbuzeiro	38	119	27	23	47	39	13	11	29	24	0	0	3	3

A P È N D I C E B

FIG.: 1 - CARACTERÍSTICAS DA PRECIPITAÇÃO PLUVIOMÉTRICA EM ANOS SECOS  
 (—●—) E CHUVOSOS (—x—) (A - C) E REGIME PLUVIAL (D).

POSTO: ÁGUA BRANCA

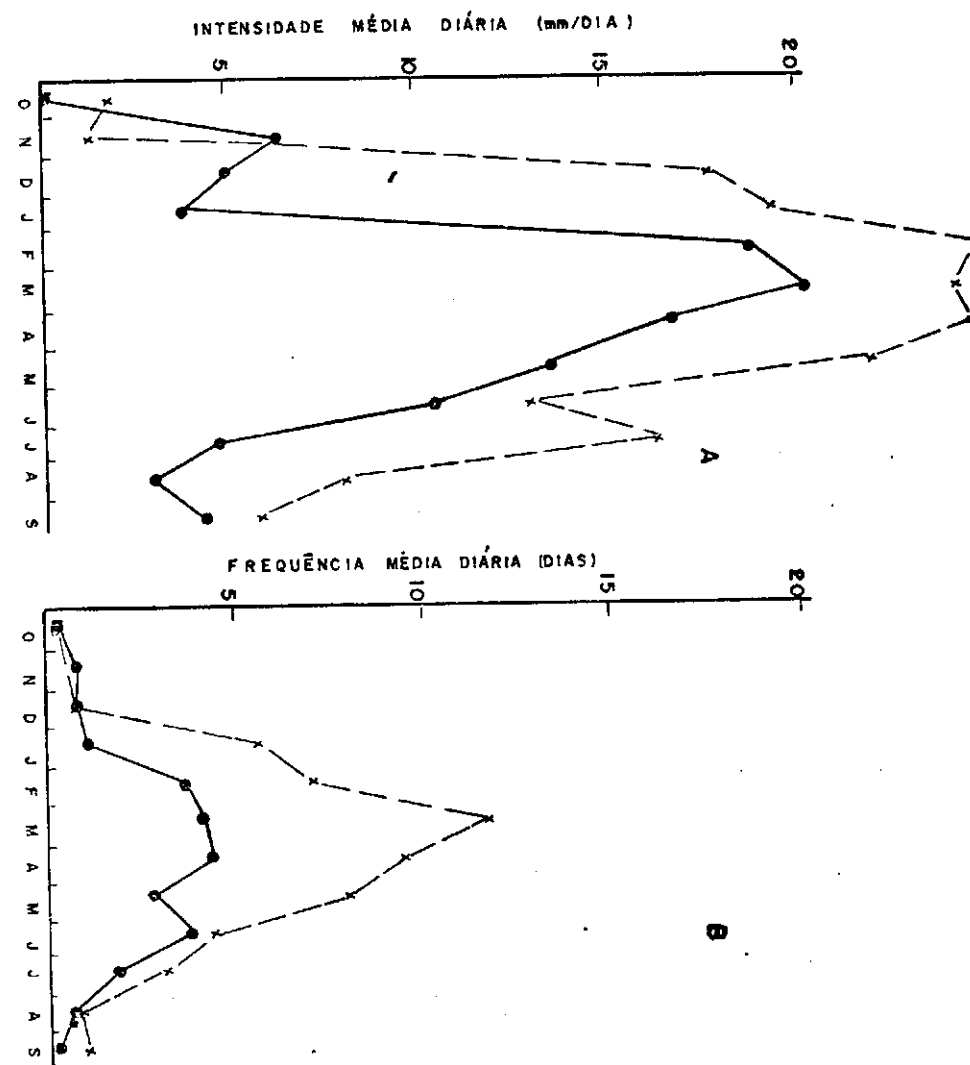
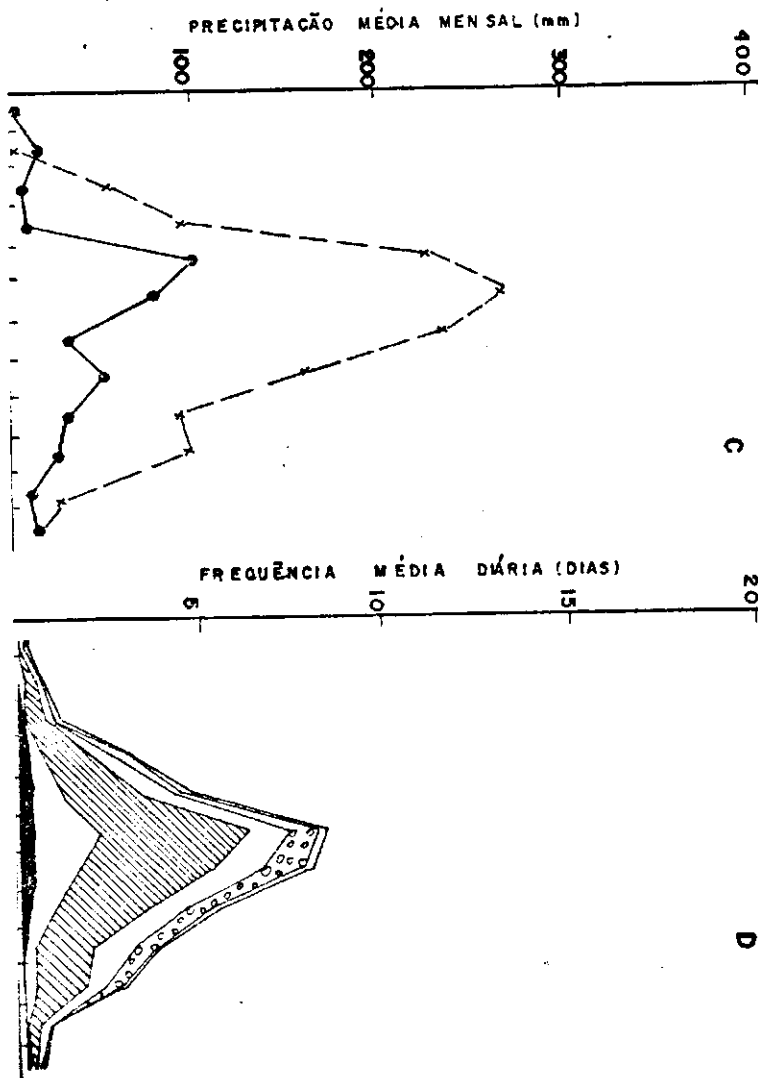


FIG: 2 — CARACTERÍSTICAS DA PRECIPITAÇÃO PLUVIOMÉTRICA EM ANOS SECOS  
 (—●—) E CHUVOSOS (—x—x—) (A-C) E REGIME PLUVIAL (D).

POSTO: ALHANDRA

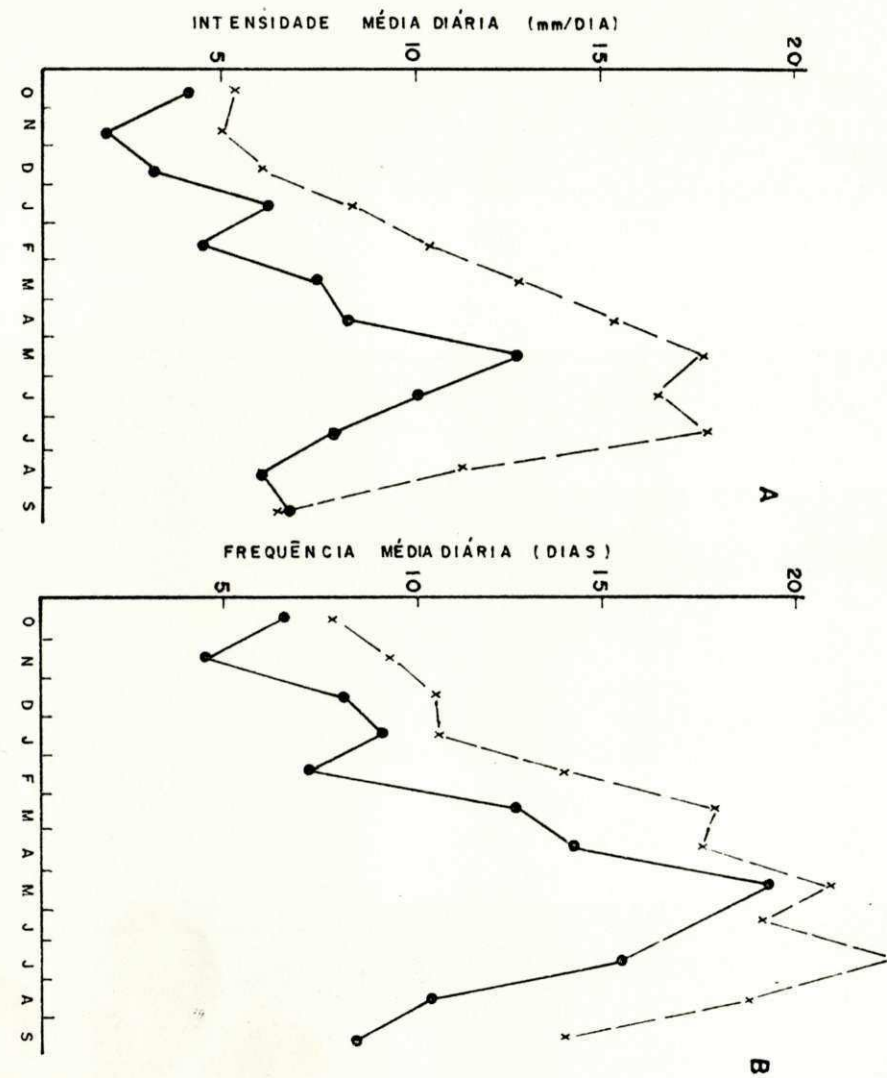
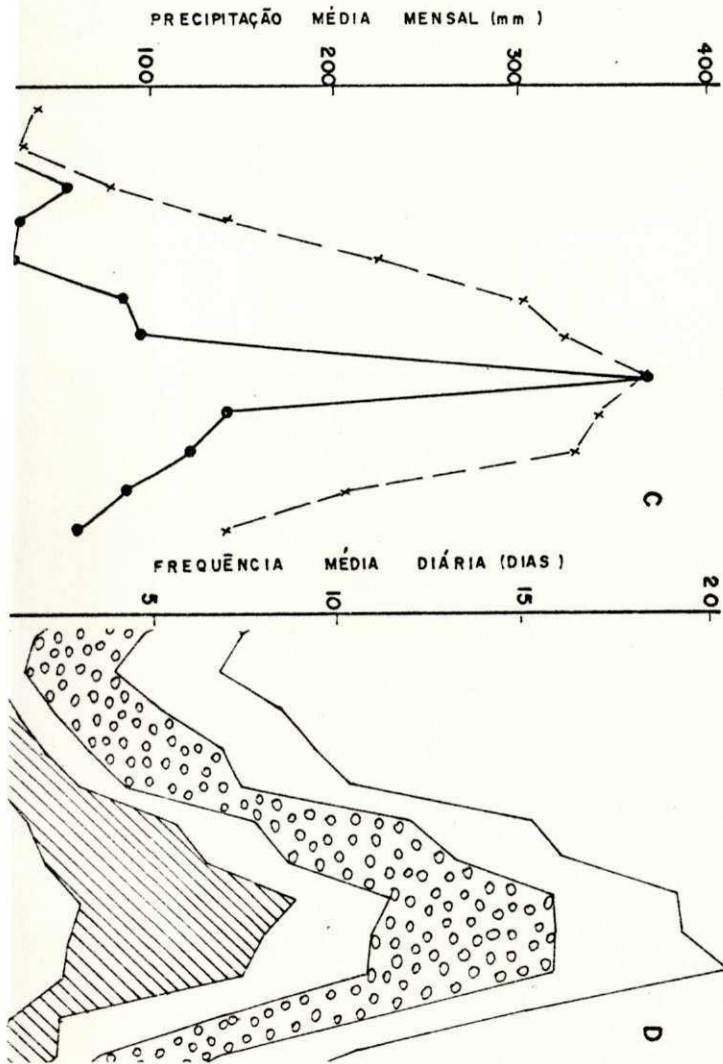


FIG. 3 — CARACTERÍSTICAS DA PRECIPITAÇÃO PLUVIOMÉTRICA EM ANOS SECOS (—●—) E CHUVOSOS (—×—) (A-C) E REGIME PLUVIAL (D).

POSTO: ARARUNA

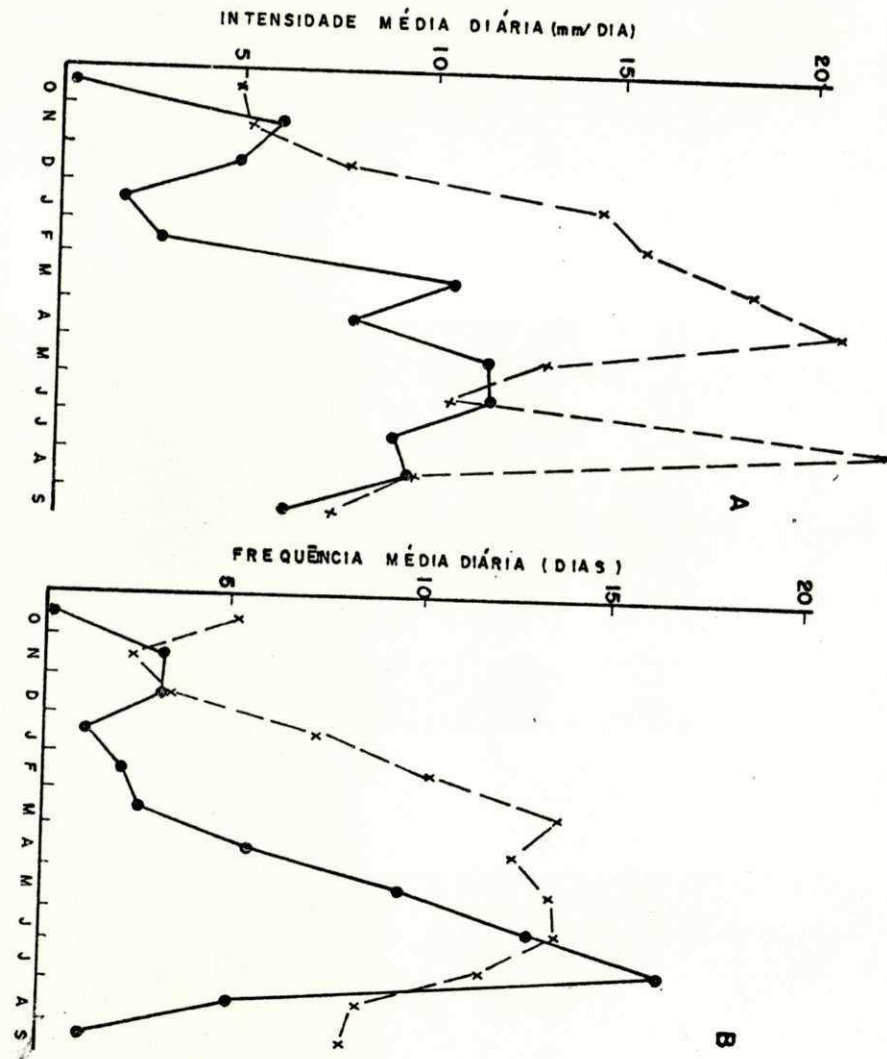
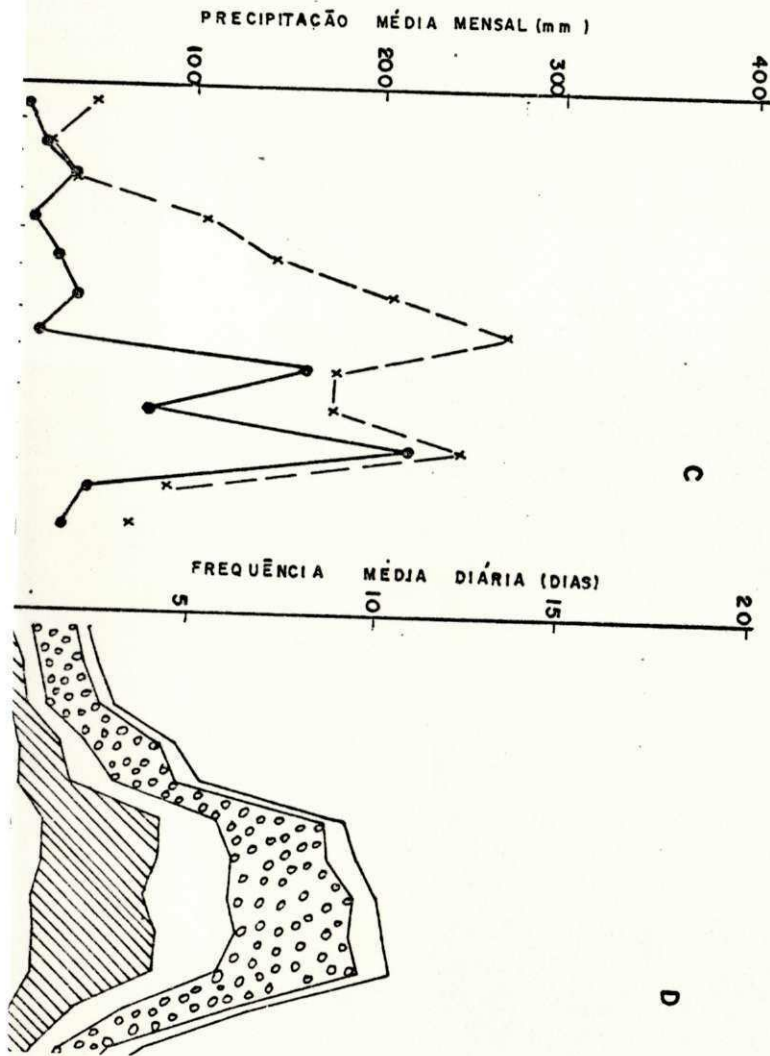


FIG. 4 - CARACTERÍSTICAS DA PRECIPITAÇÃO PLUVIOMÉTRICA EM ANOS SECOS  
 (—●—) E CHUVOSOS (—×—×—) (A-C) E RÉGIME PLUVIAL (D).

POSTO: AREIA

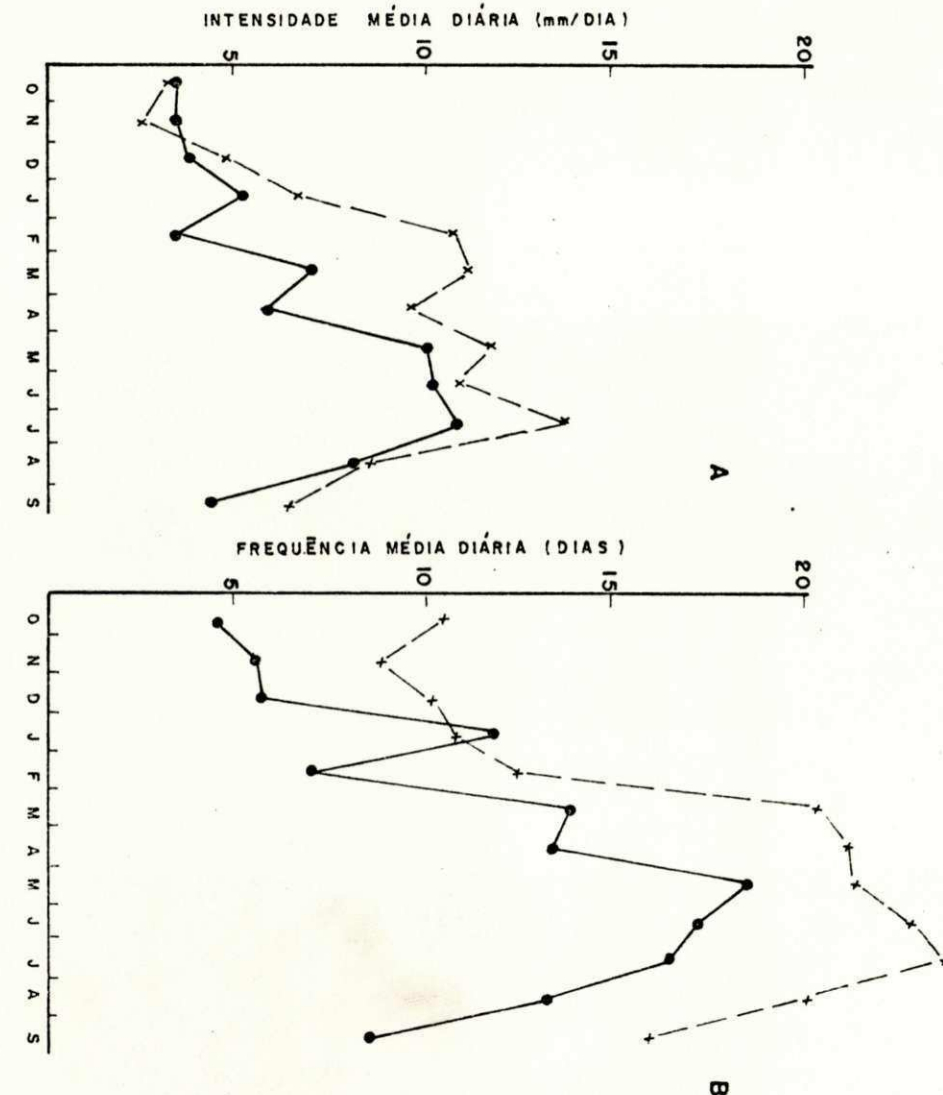
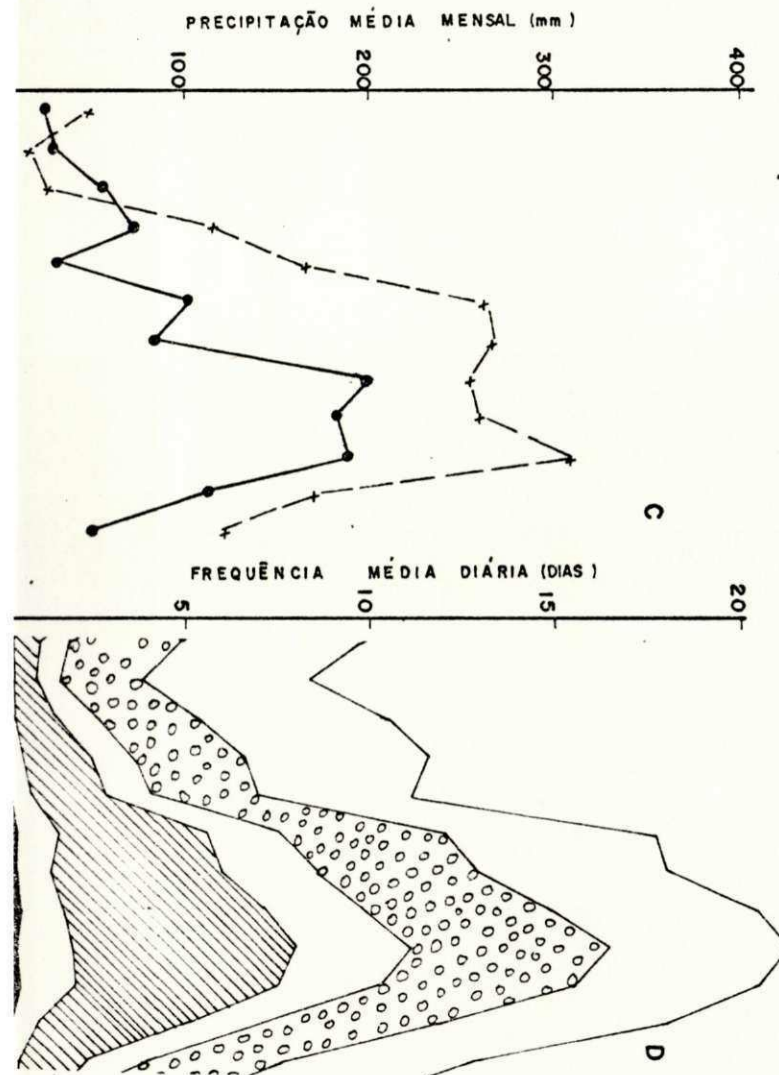


FIG. 5 — CARACTERÍSTICAS DA PRECIPITAÇÃO PLUVIOMÉTRICA EM ANOS SECOS  
 (—●—) E CHUVOSOS (—×—) (A-C) E REGIME PLUVIAL (D).

POSTO: BARA DE STA ROSA

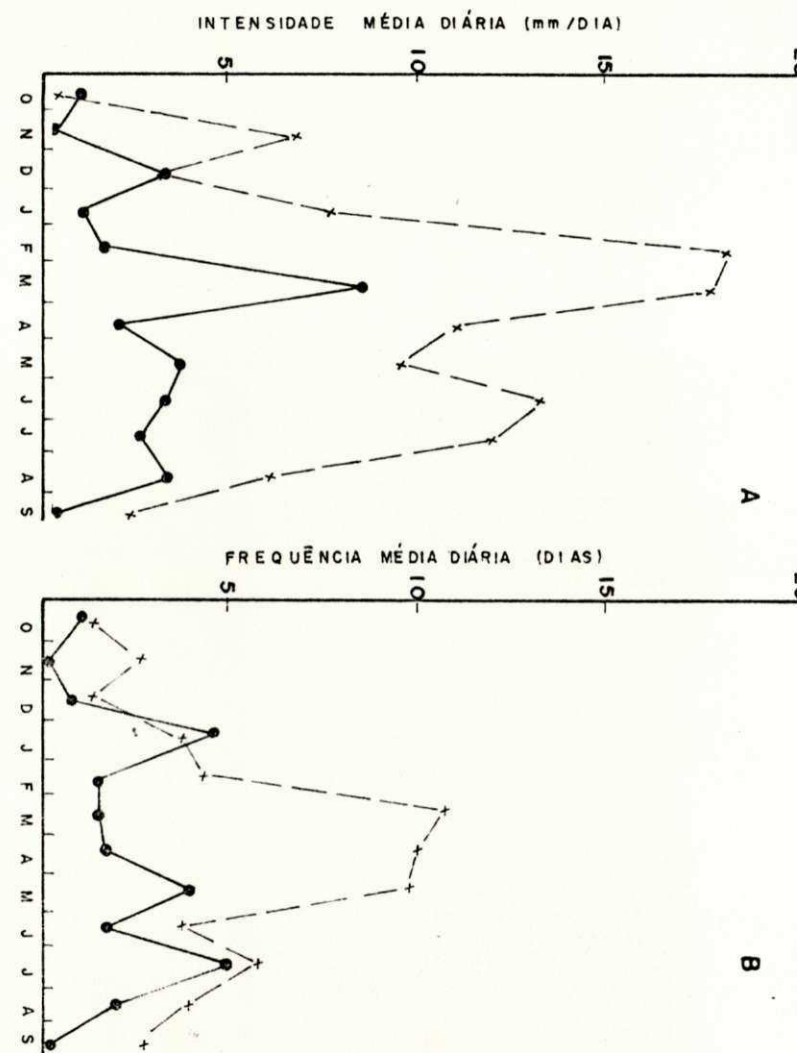
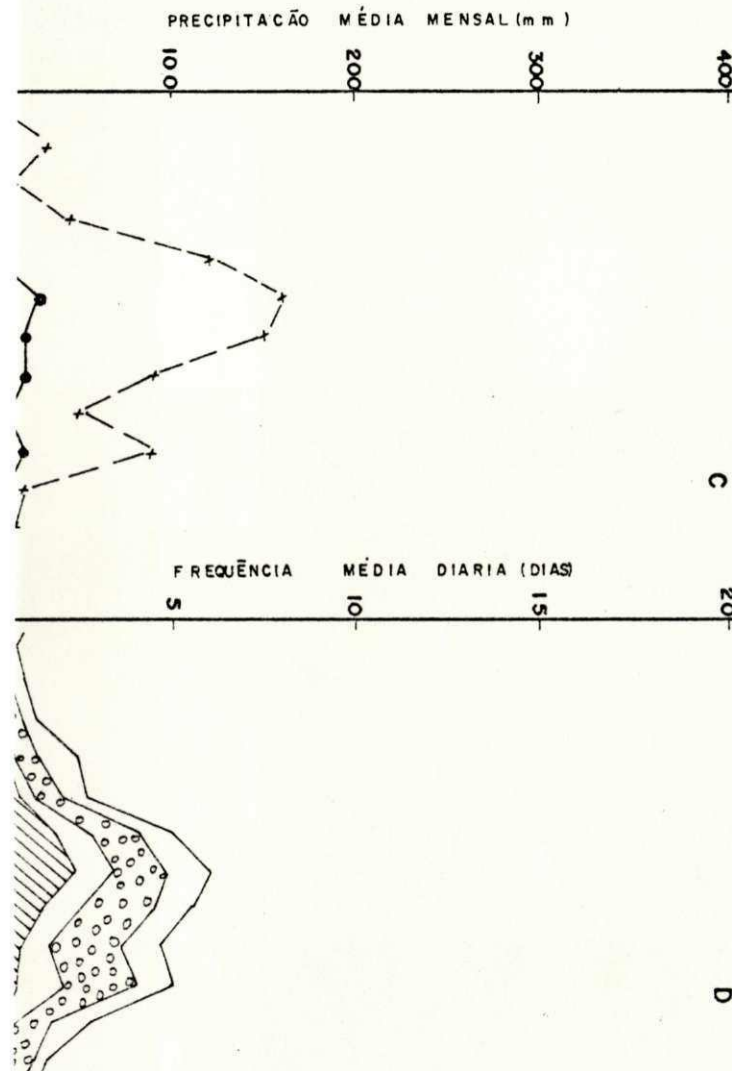


FIG: 6 - CARACTERÍSTICAS DA PRcipitação PLUVIOMÉTRICA EM ANOS SECOS E REGIME PLUVIAL (D).

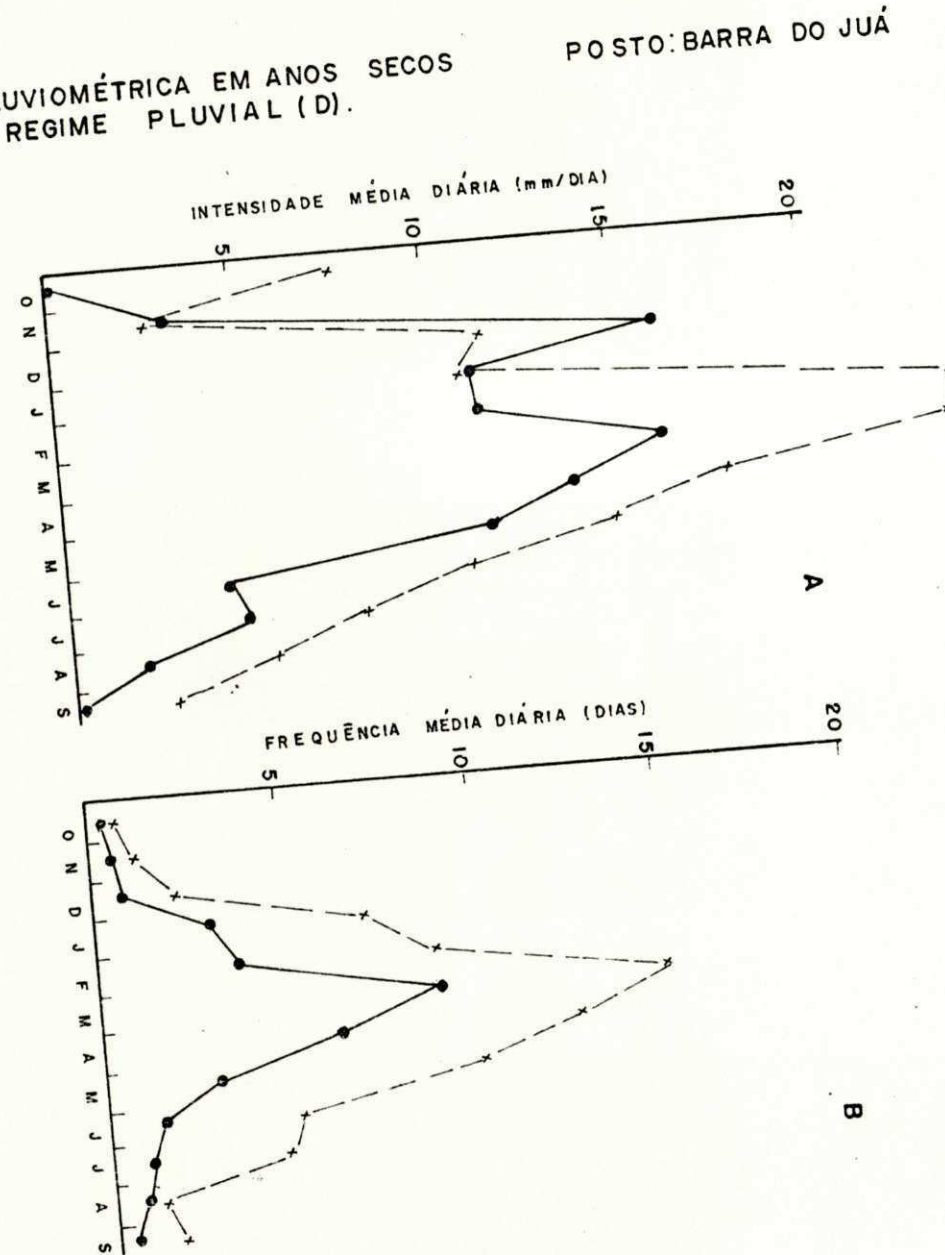
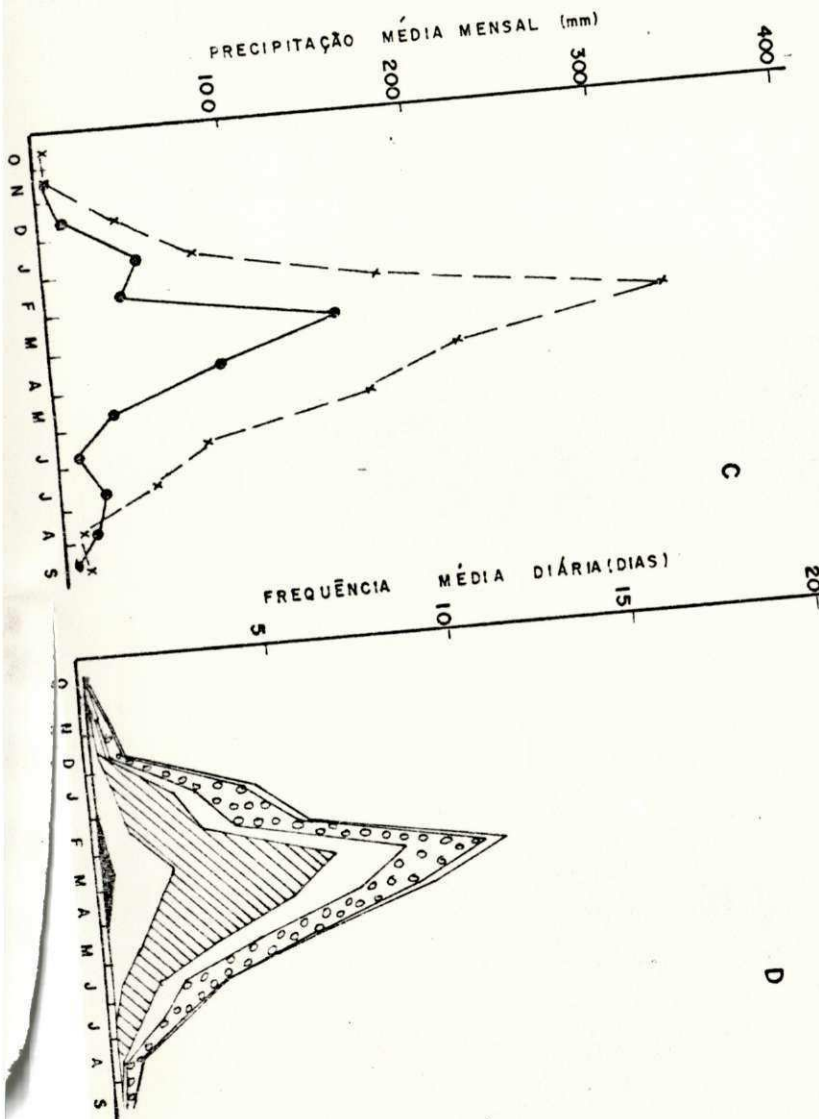
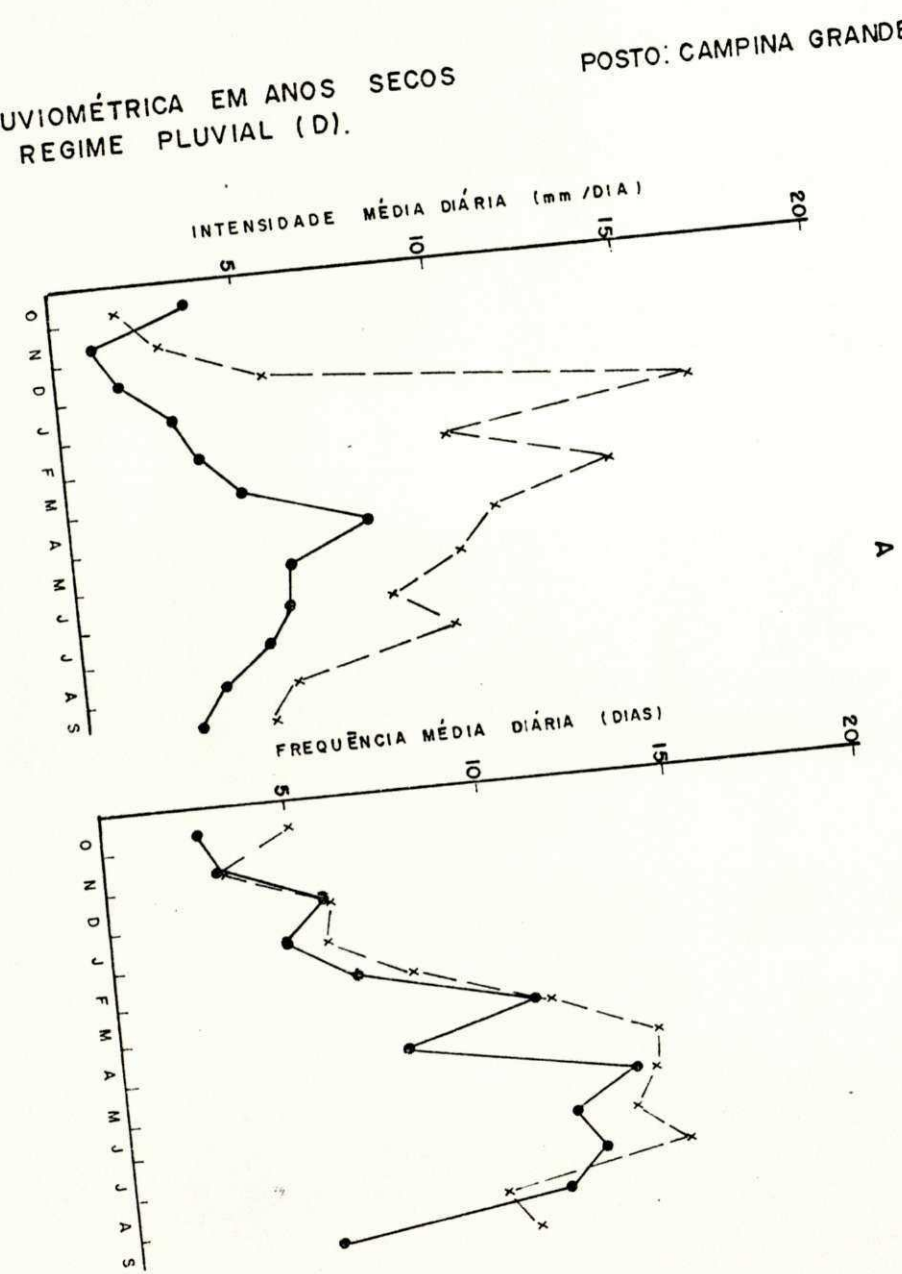
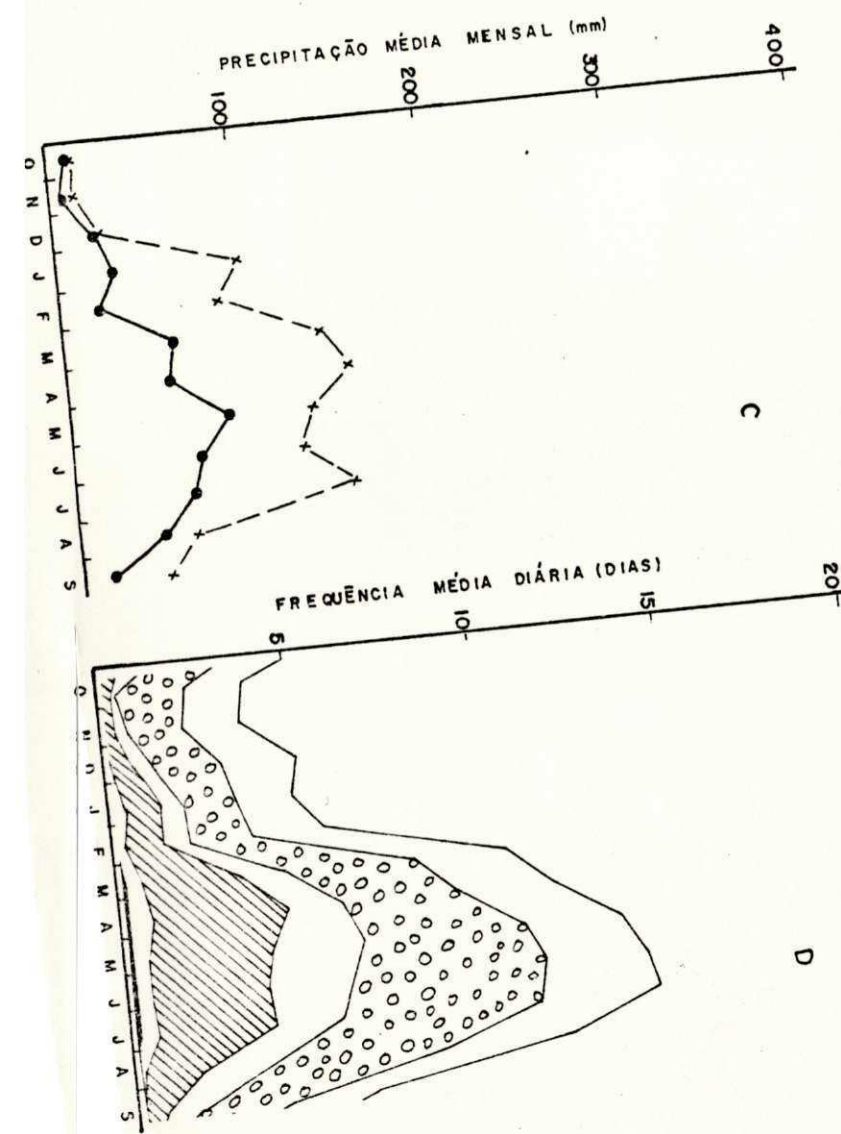
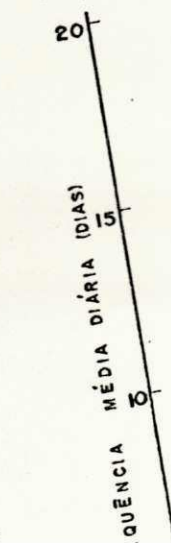
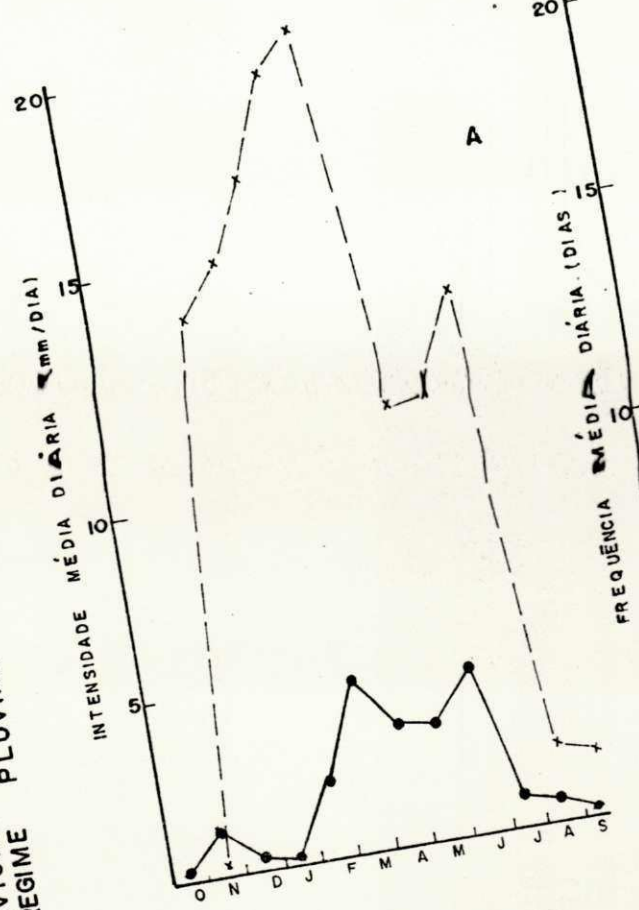
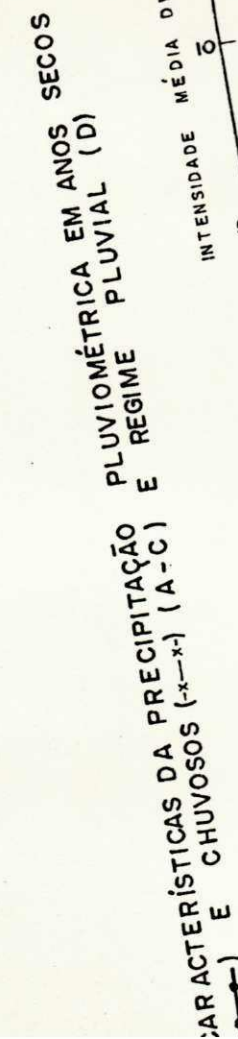


FIG. 7 - CARACTERÍSTICAS DA PRECIPITAÇÃO PLUVIOMÉTRICA EM ANOS SECOS  
 (—●—) E CHUVOSOS (—×—) (A-C) E REGIME PLUVIAL (D).



PÓSTO: CABACEIRAS



D

FIG. 9 - CARACTERÍSTICAS DA PRECIPITAÇÃO PLUVIOMÉTRICA EM ANOS SECOS  
 (—●—) E CHUVOSOS (—×—) (A - C) E REGIME PLUVIAL (D).

POSTO: CATOLE DO ROCHA

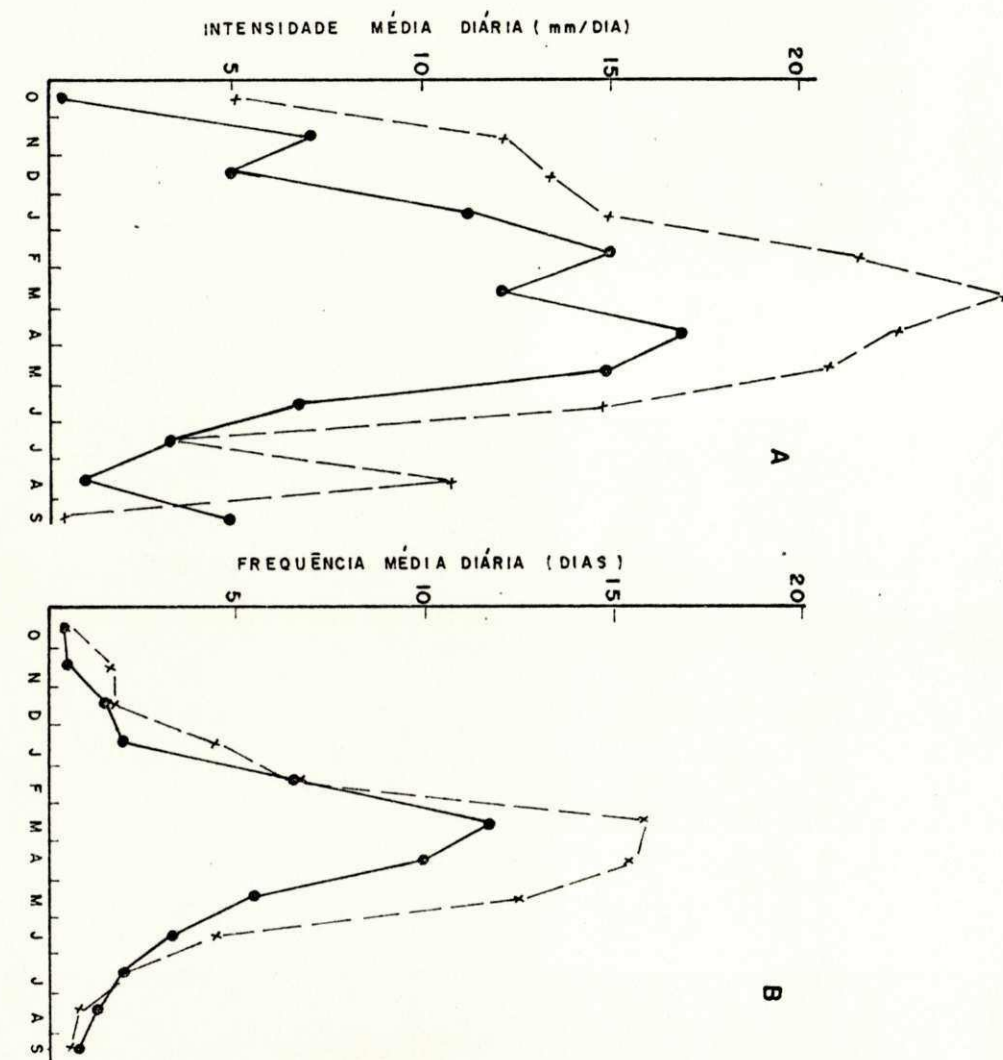
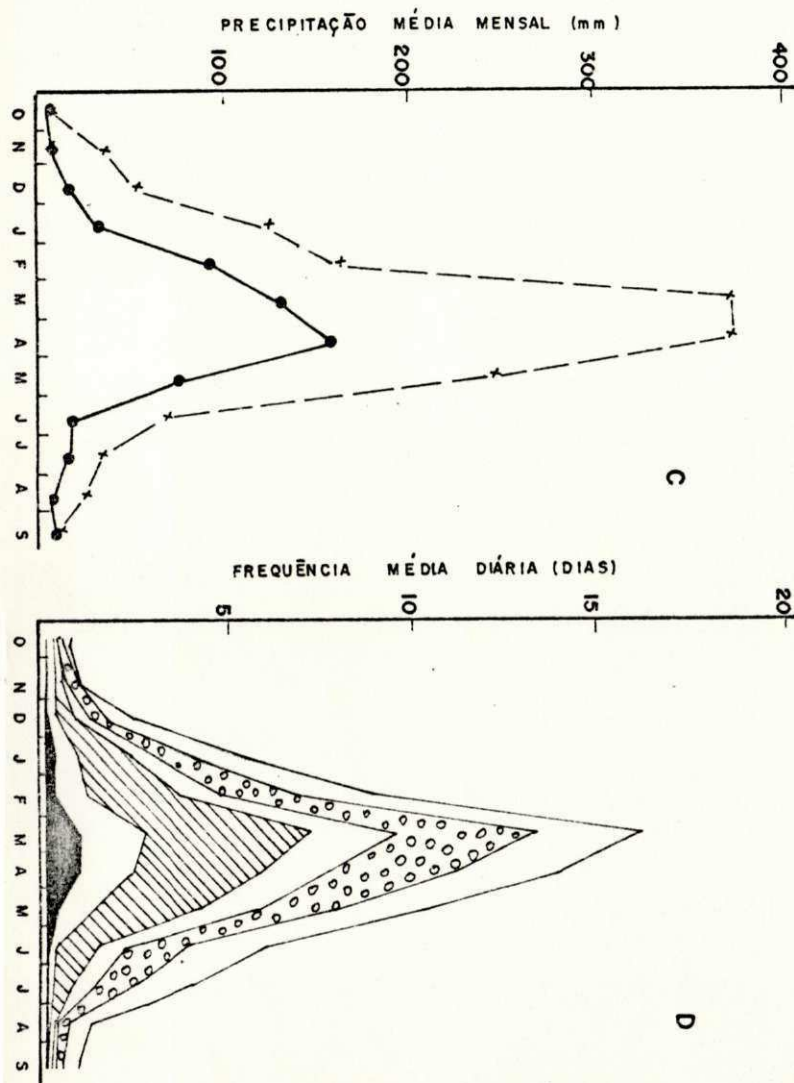


FIG. 10 - CARACTERÍSTICAS DA PRECIPITAÇÃO PLUVIOMÉTRICA EM ANOS SECOS  
 (—●—) E CHUVOSOS (—x—) (A-C) E REGIME PLUVIAL (D).

POSTO: COREMAS

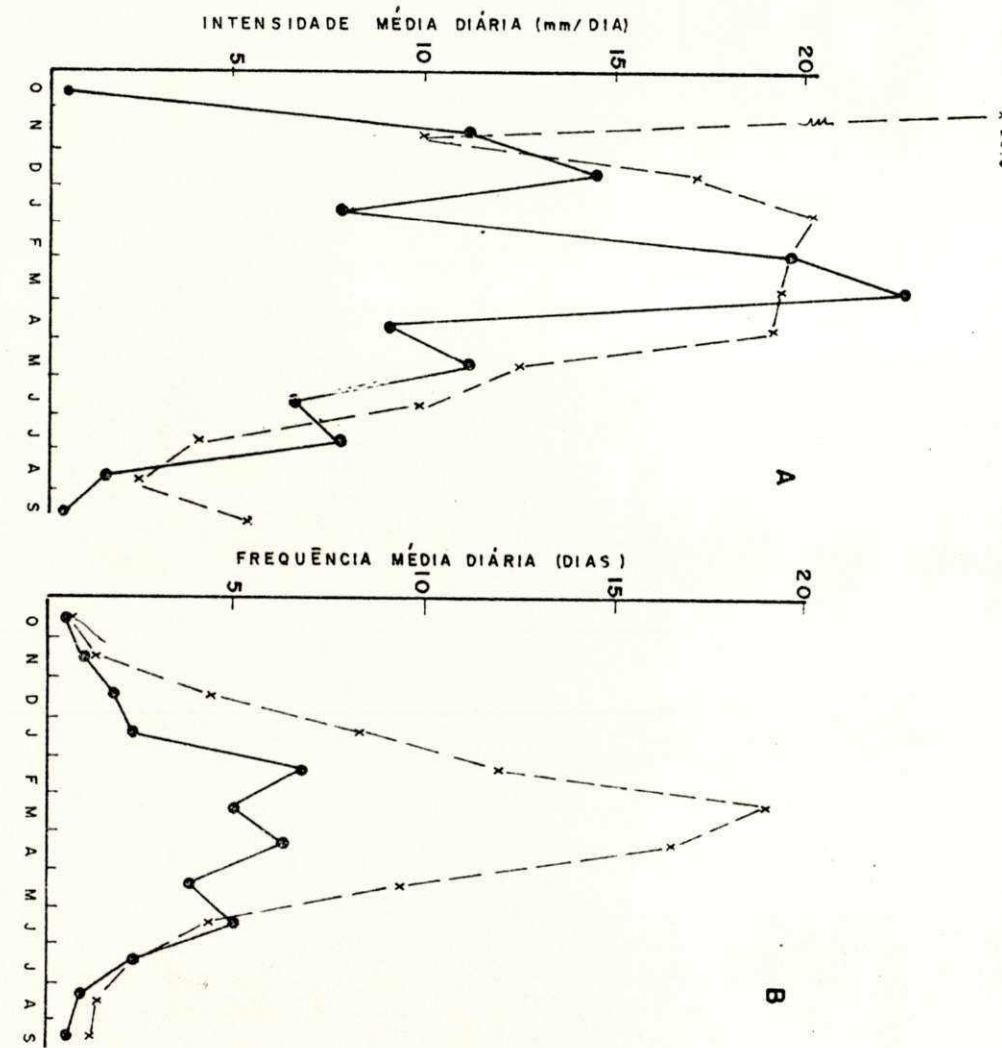
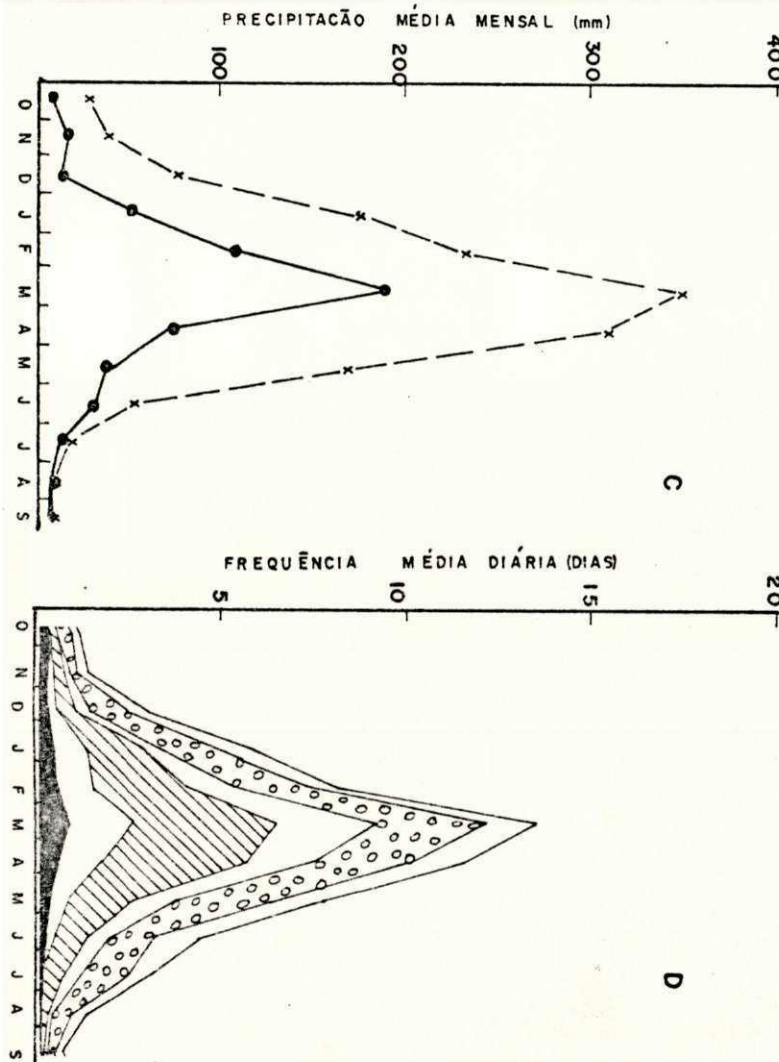
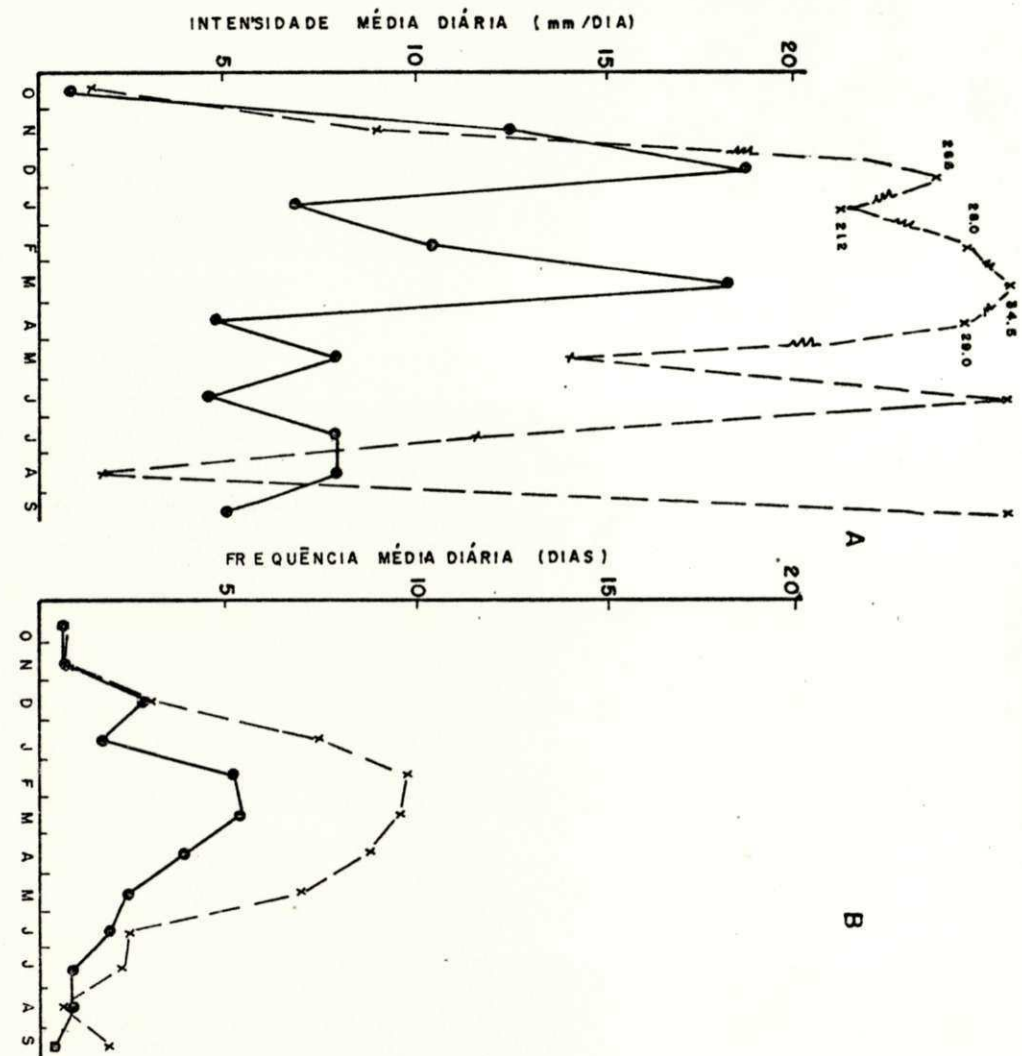
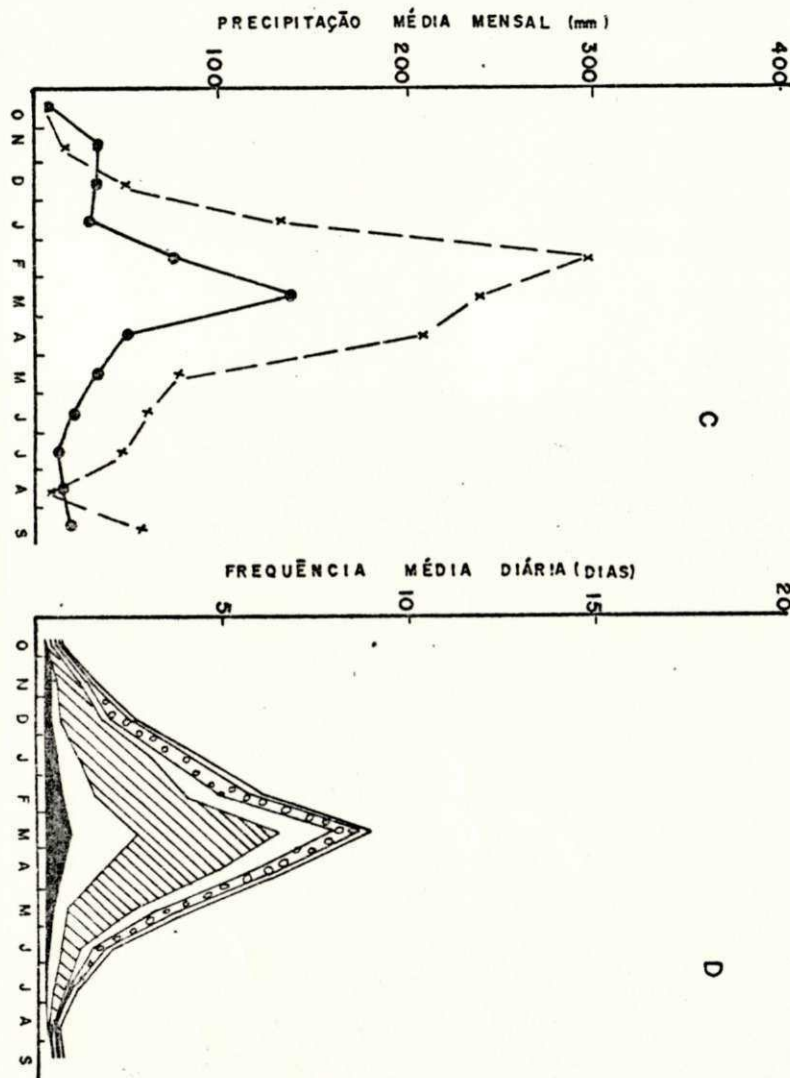


FIG. 11 - CARACTERÍSTICAS DA PRECIPITAÇÃO PLUVIOMÉTRICA EM ANOS SECOS  
 (—●—) E CHUVOSOS (—x—x—) (A-C) E REGIME PLUVIAL (D).

POSTO: CONCEIÇÃO



POSTO: CARAÚBAS

FIG. 12 - CARACTERÍSTICAS DA PRECIPITAÇÃO PLUVIOMÉTRICA EM ANOS SECOS (—●—) E CHUVOSOS (—×—) (A-C) E REGIME PLUVIAL (D).

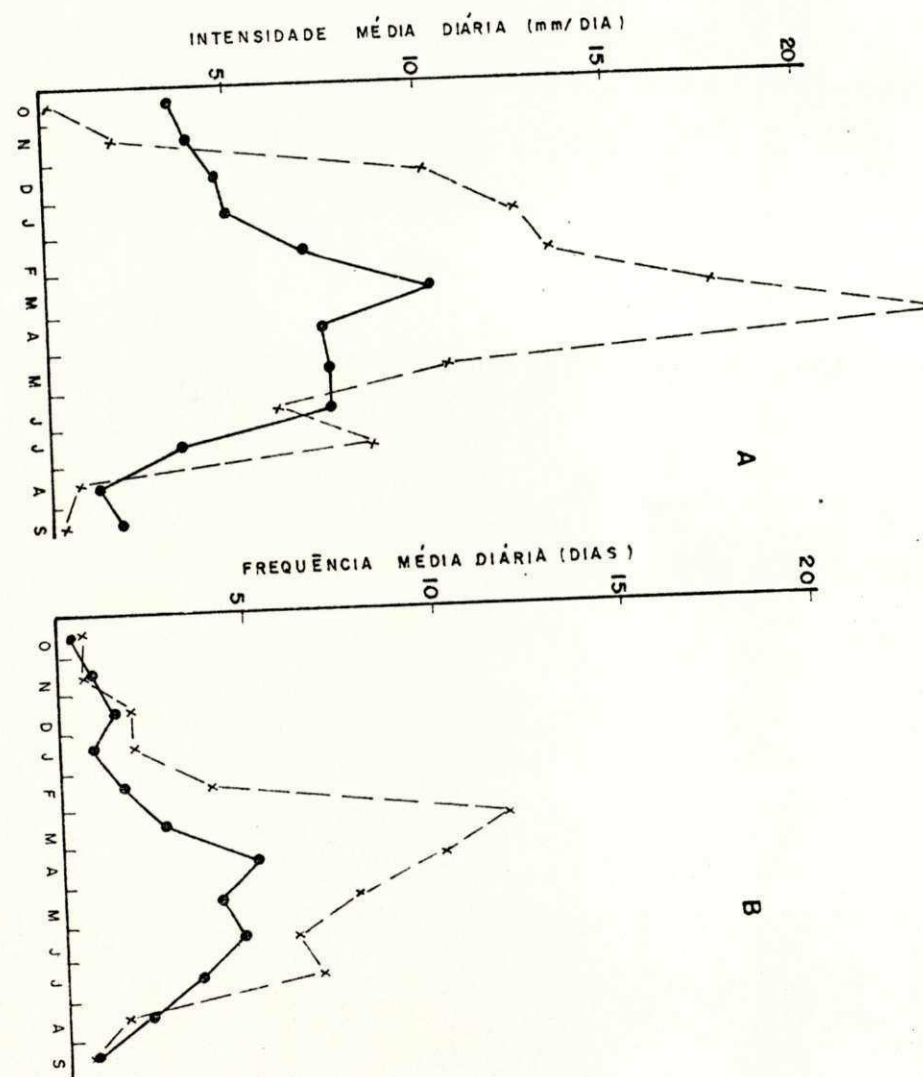
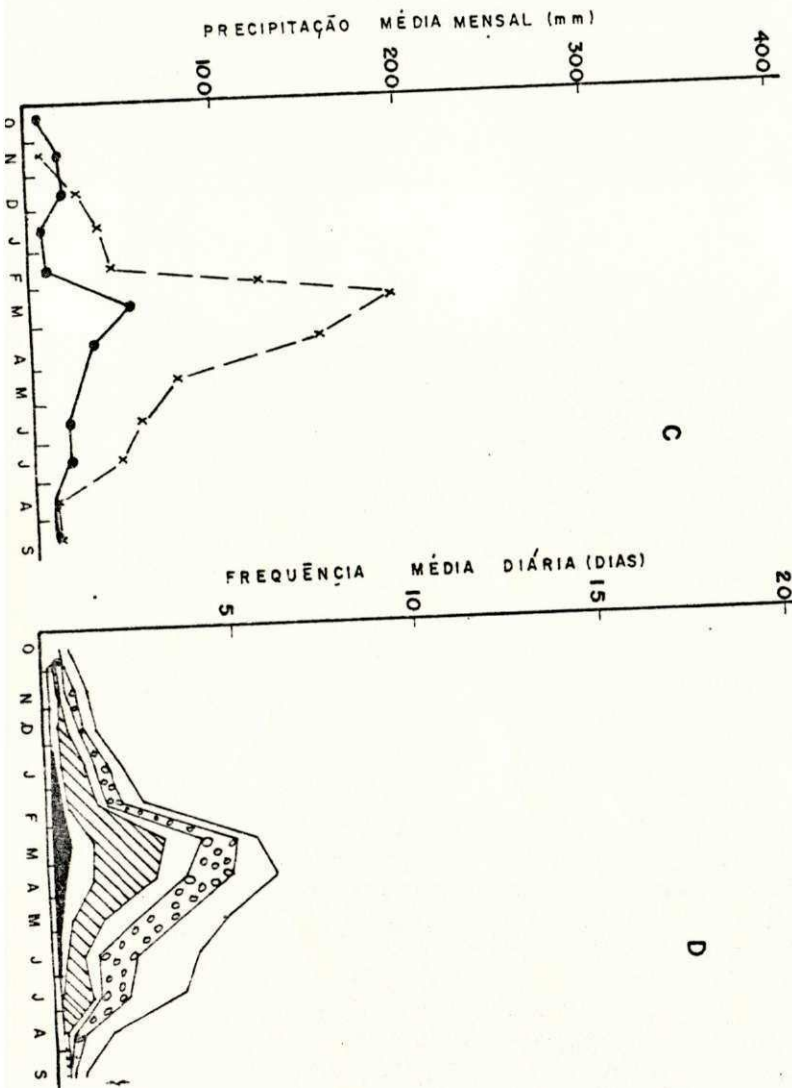


FIG. 13 - CARACTERÍSTICAS DA PRECIPITAÇÃO PLUVIOMÉTRICA EM ANOS SECOS  
 (—●—) E CHUVOSOS (—x—x—) (A - C) E REGIME PLUVIAL (D).

POSTO GUARABIRA

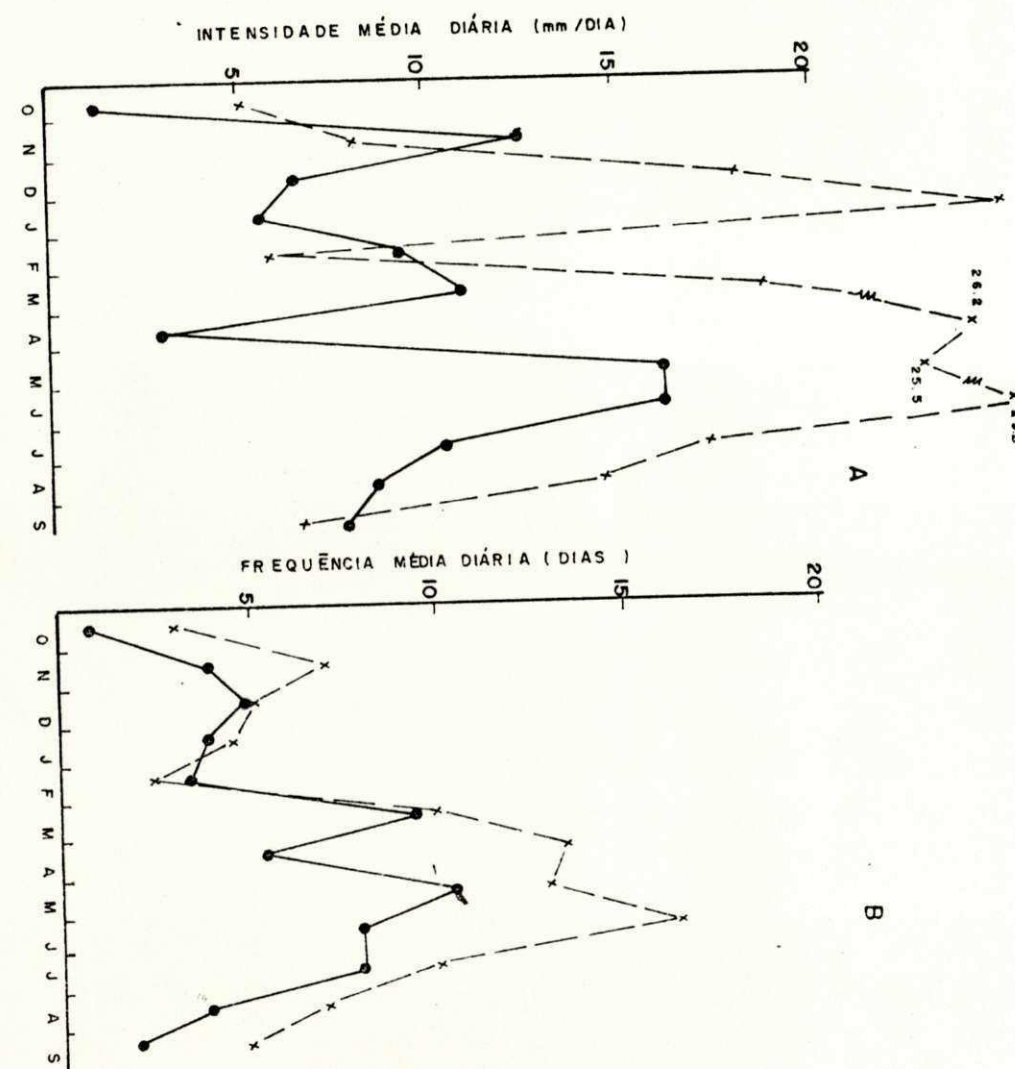
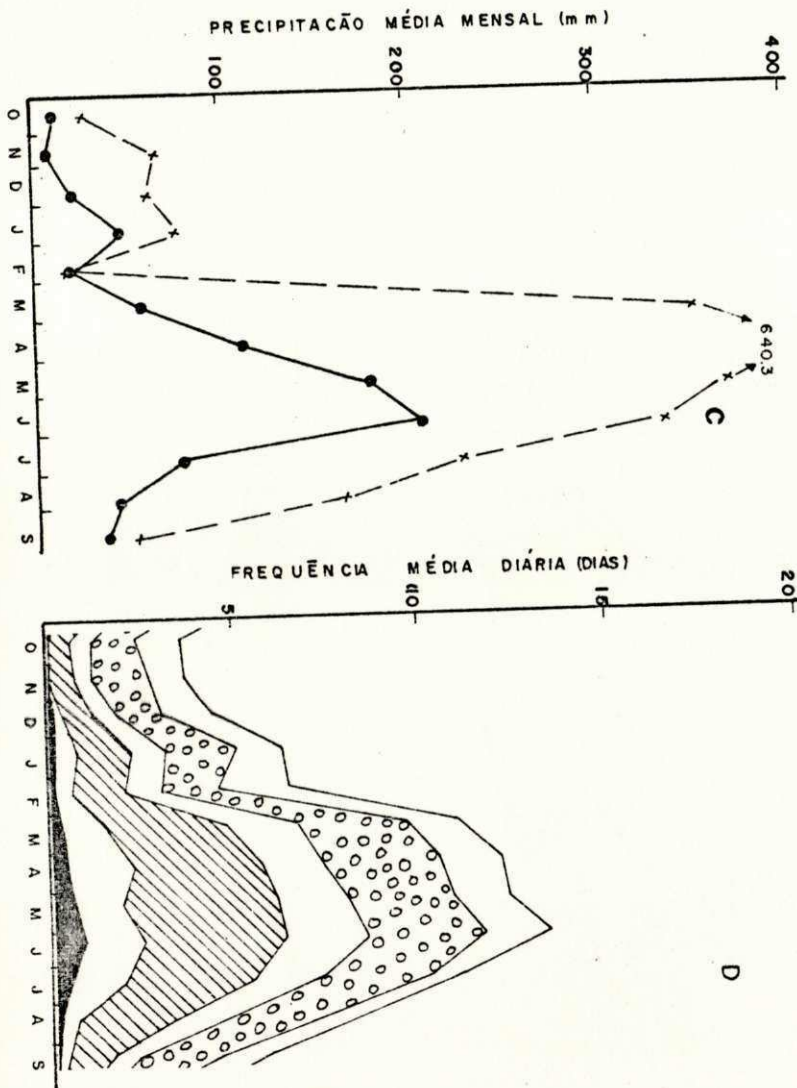
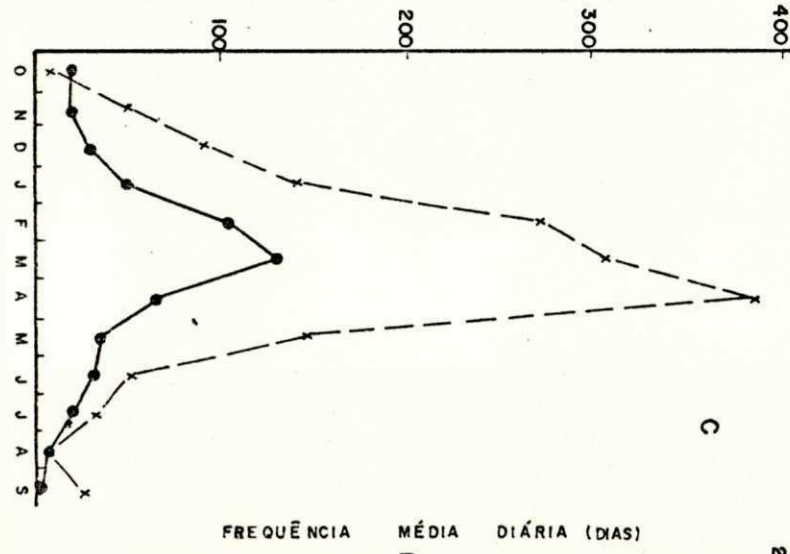


FIG.14 - CARACTERÍSTICAS DA PRECIPITAÇÃO PLUVIOMÉTRICA EM ANOS SECOS  
(—●—) E CHUVOSOS (—x—) (A - C) E REGIME PLUVIAL (D).

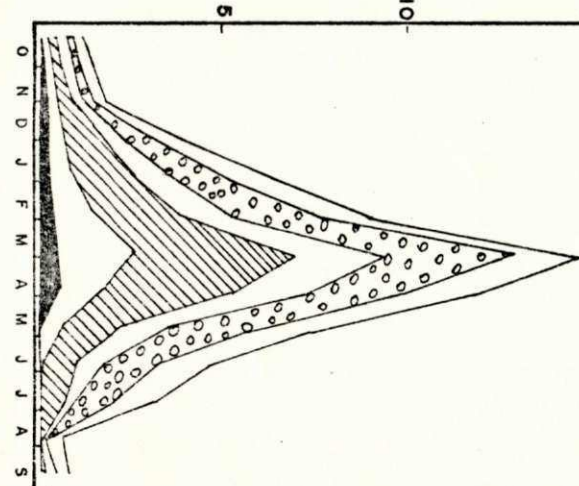
POSTO ITAPORANGA

PRECIPITAÇÃO MÉDIA MENSAL (mm)



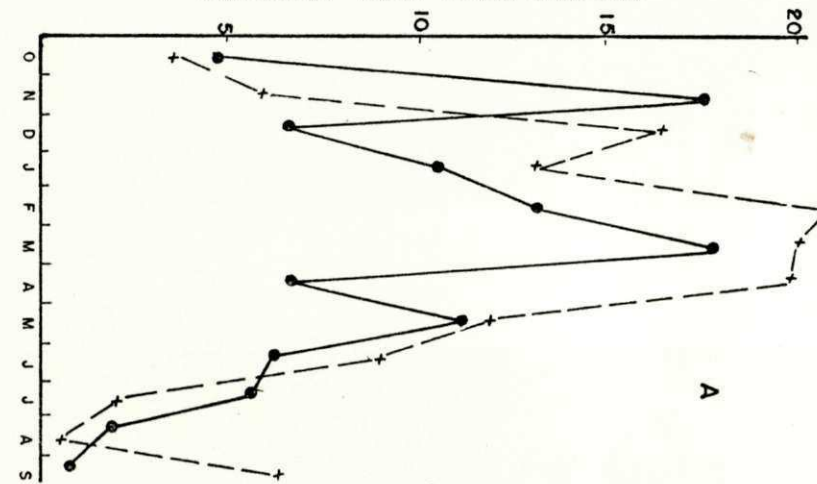
C

FREQUÊNCIA MÉDIA DIÁRIA (DIAS)



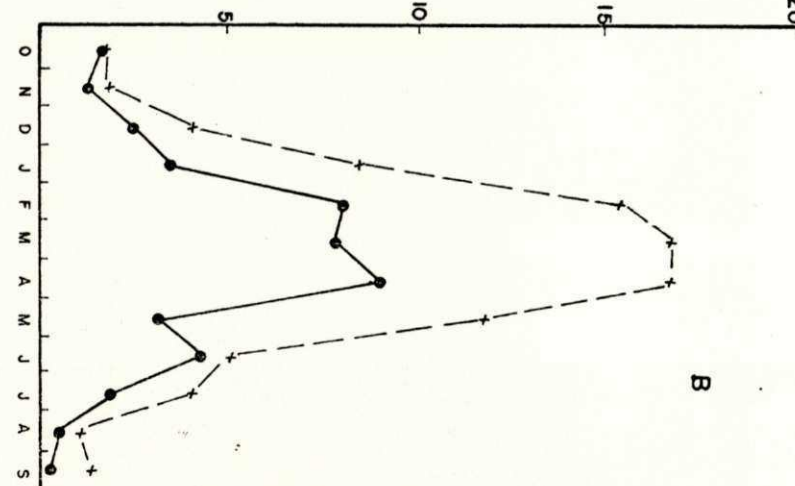
D

INTENSIDADE MÉDIA DIÁRIA (mm/DIA)



A

FREQUÊNCIA MÉDIA DIÁRIA (DIAS)



B

FIG. 15 - CARACTERÍSTICAS DA PRECIPITAÇÃO PLUVIOMÉTRICA EM ANOS SECOS  
 (—●—) E CHUVOSOS (—x—x—) (A-C) E REGIME PLUVIAL (D).

POSTO: INGÁ

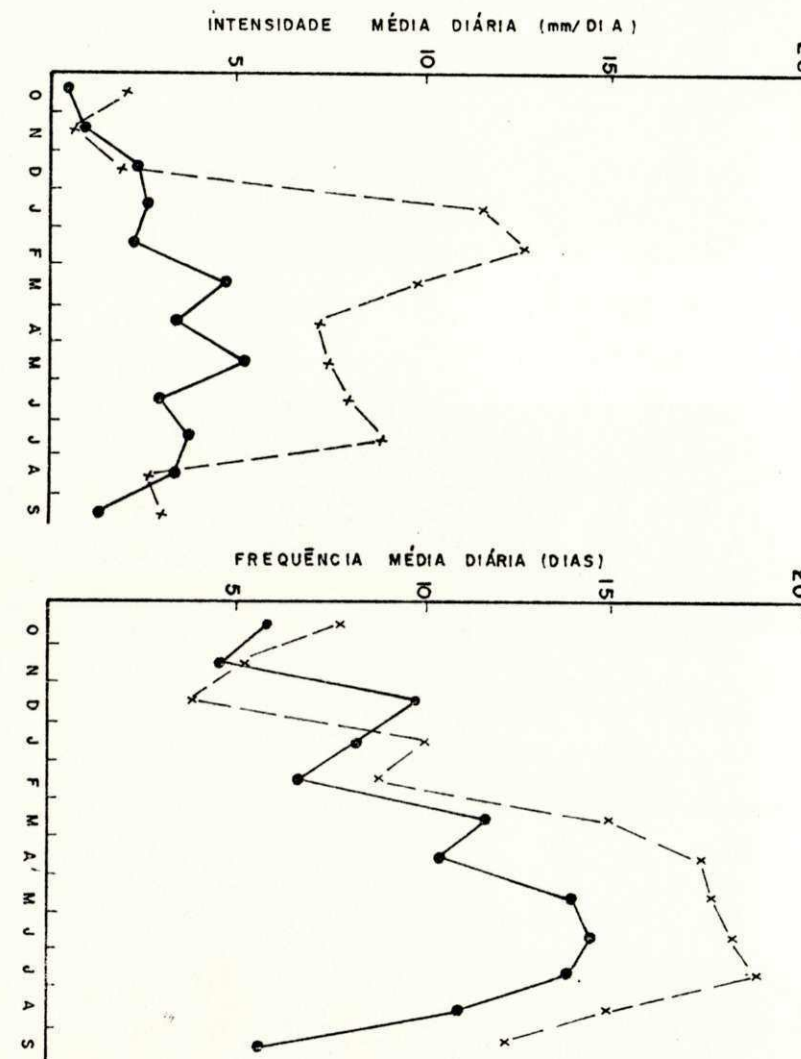
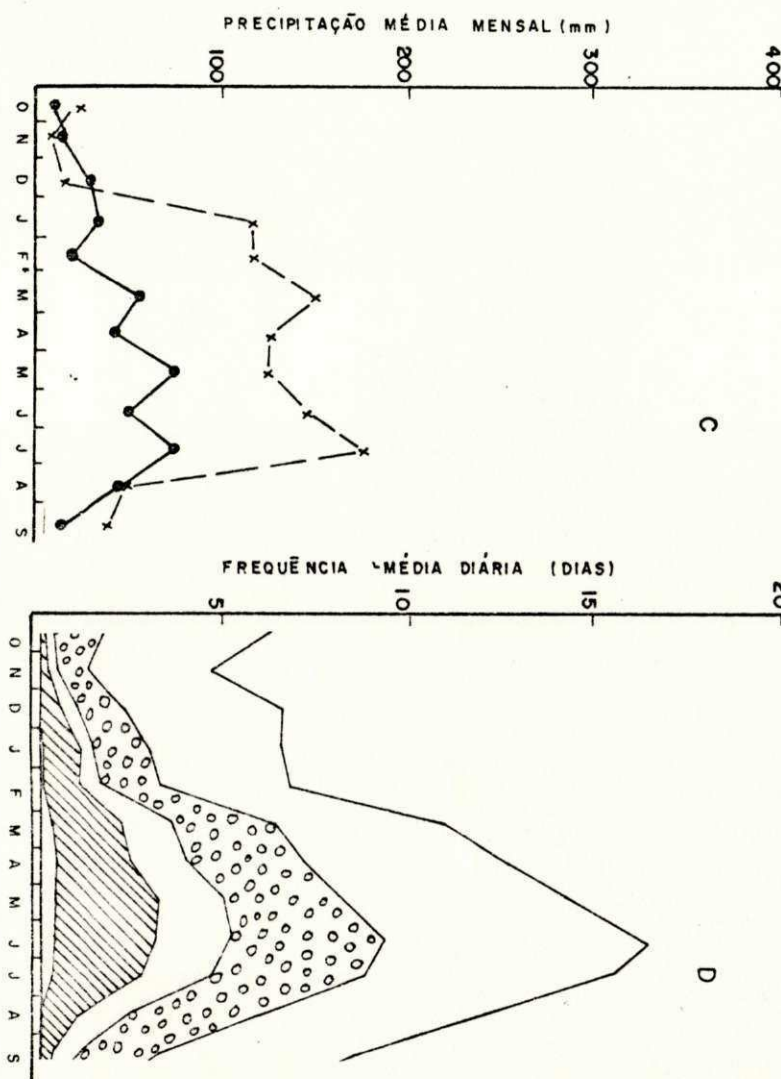


FIG. 16—CARACTERÍSTICAS DA PRECIPITAÇÃO PLUVIOMÉTRICA EM ANOS SECOS  
 (—●—) E CHUVOSOS (—x—x—) (A-C) E REGIME PLUVIAL (D).

POSTO: ITABAIANA

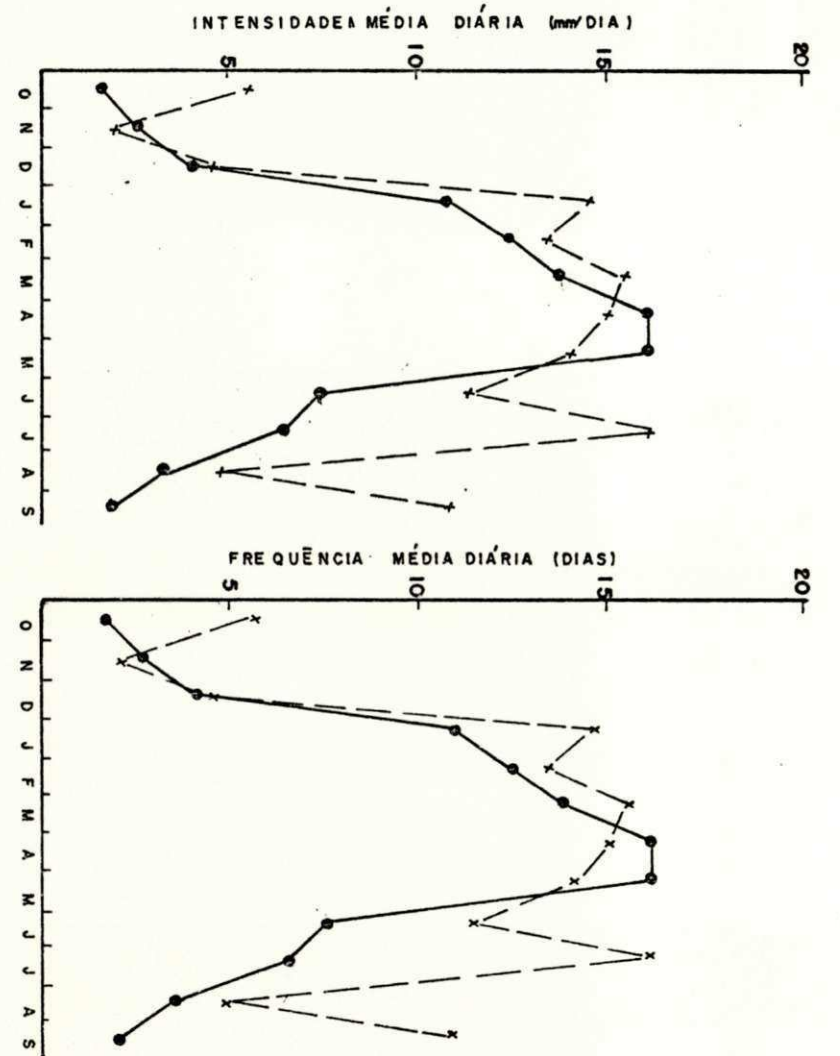
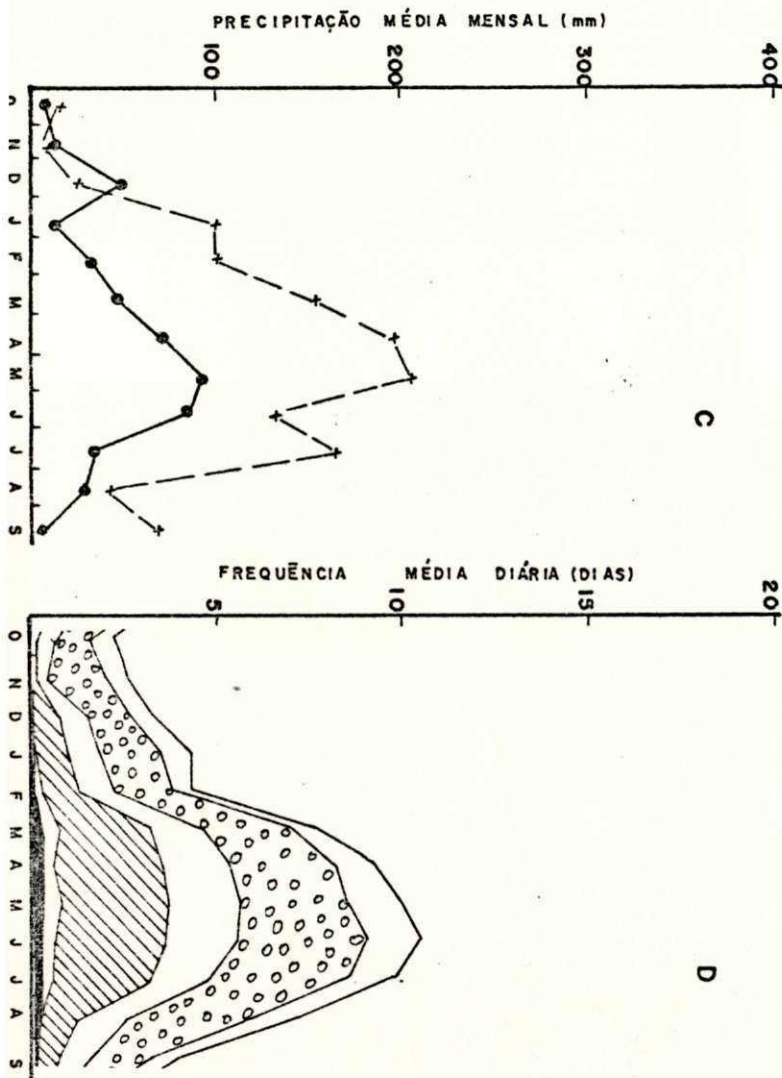
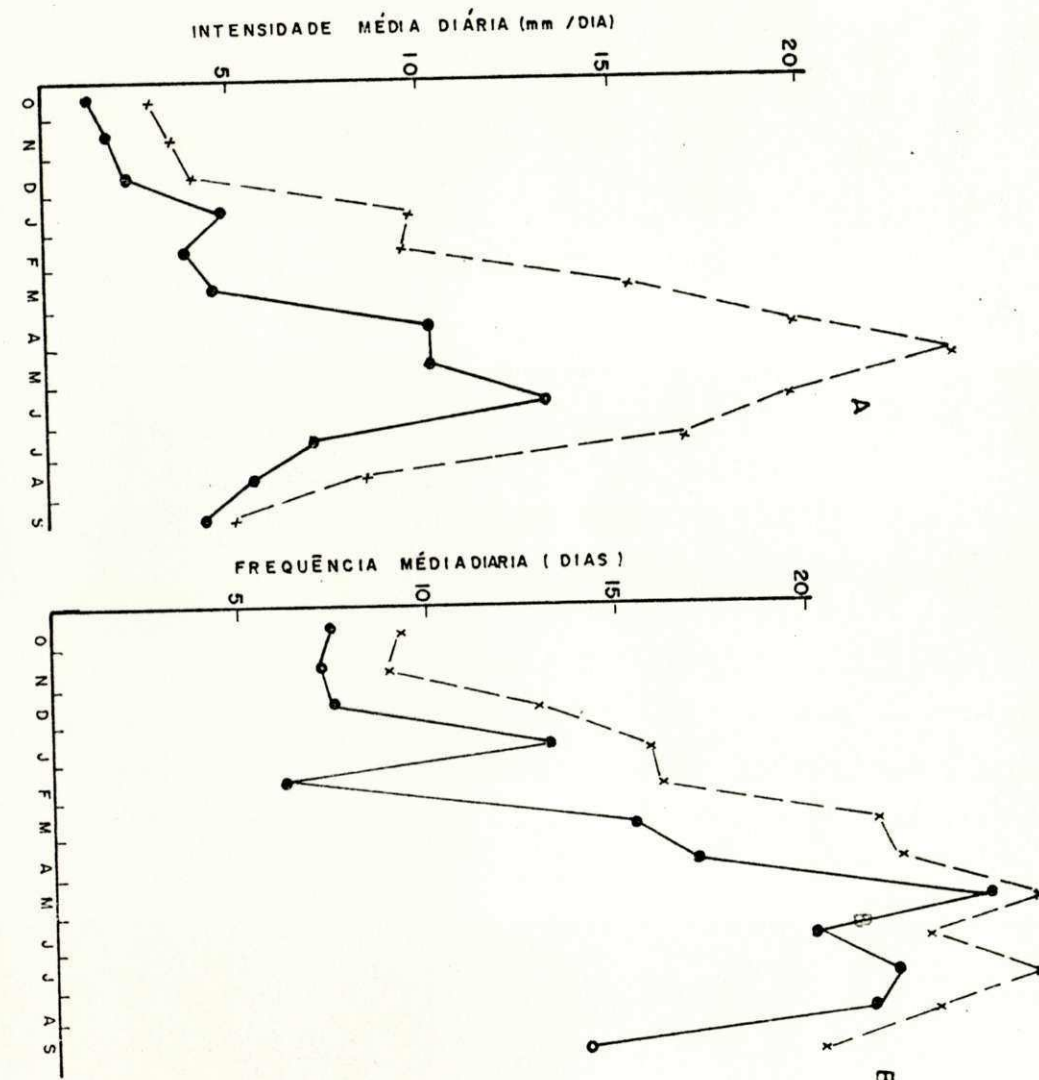
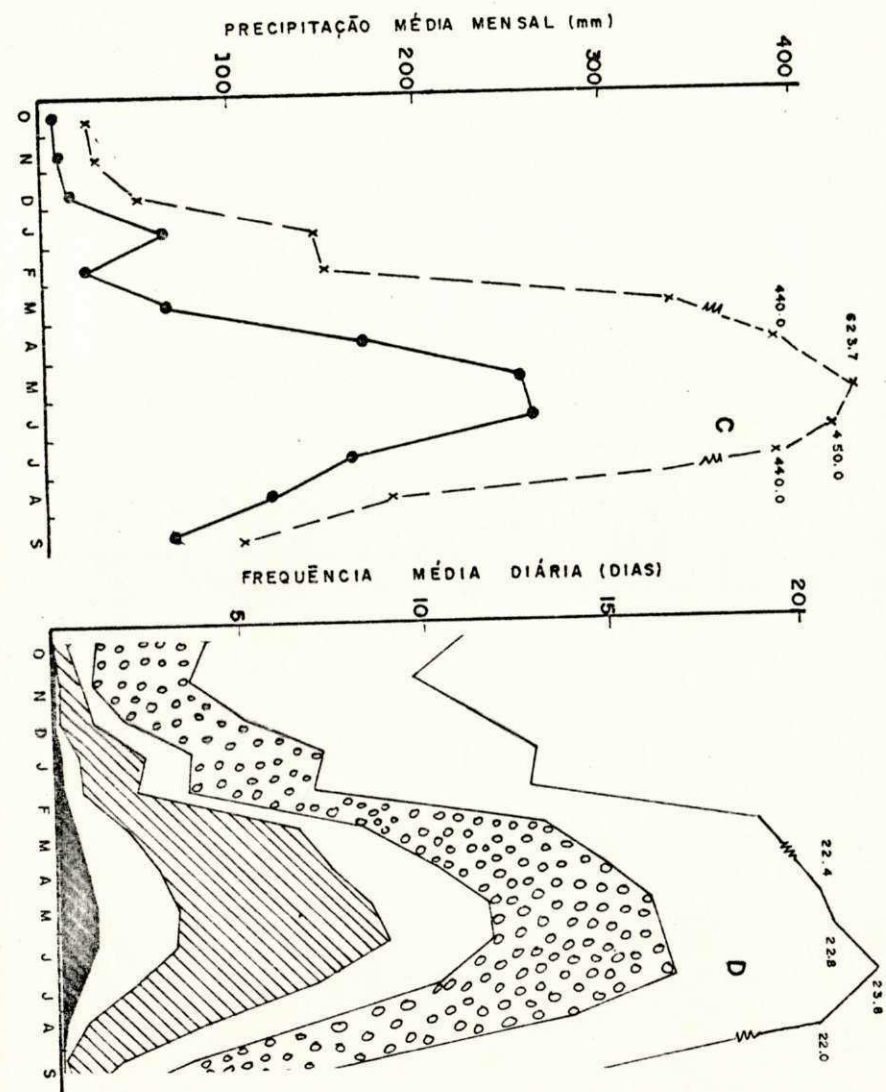


FIG.17 - CARACTERÍSTICAS DA PRECIPITAÇÃO PLUVIOMÉTRICA EM ANOS SELOS  
 (-●-) E CHUVOSOS (-x-x-) (A - C) E REGIME PLUVIAL (D).

POSTO: JOÃO PESSOA



POSTO MAMANGUAPE

FIG. 18 - CARACTERÍSTICAS DA PRECIPITAÇÃO PLUVIOMÉTRICA EM ANOS SEcos  
(—●—) E CHUVOSOS (—×—) (A - C) E REGIME PLUVIAL (D).

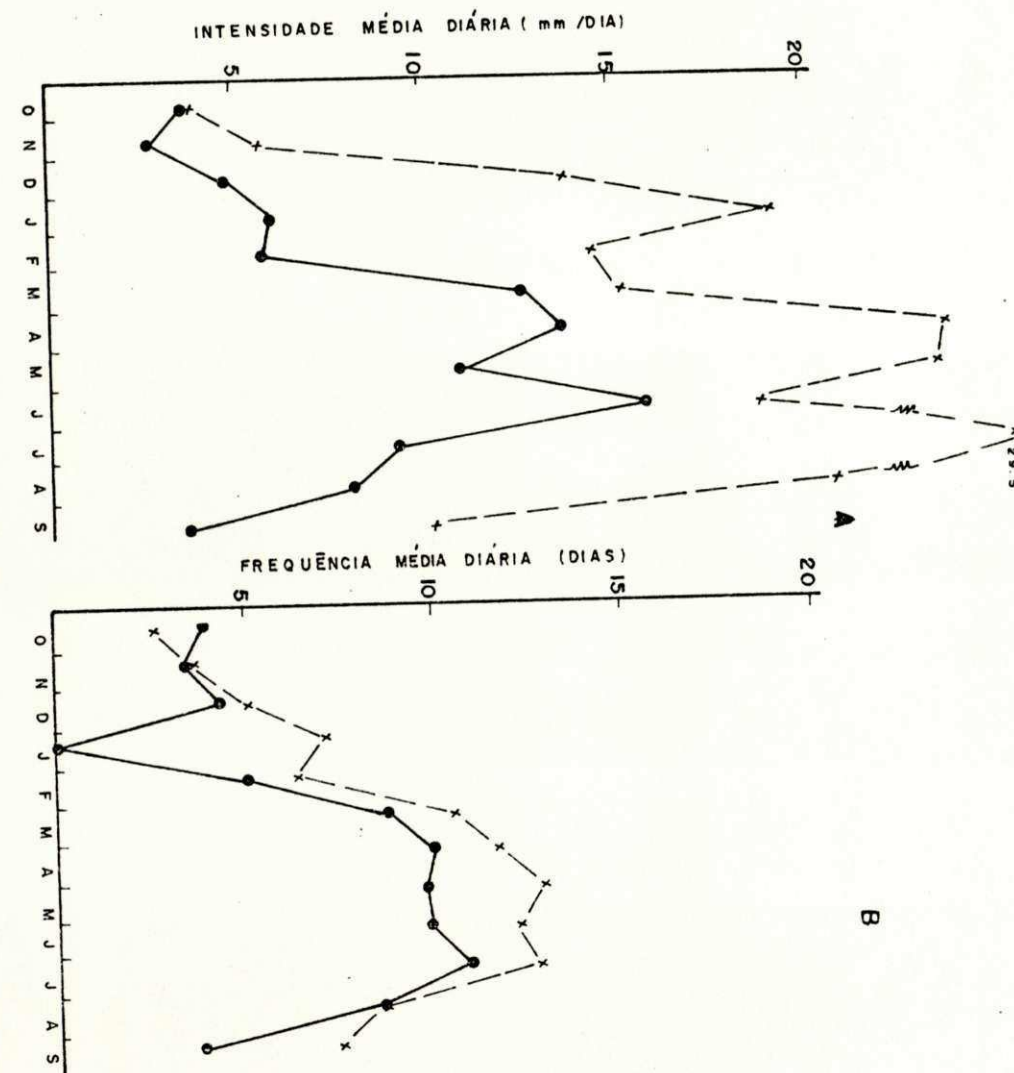
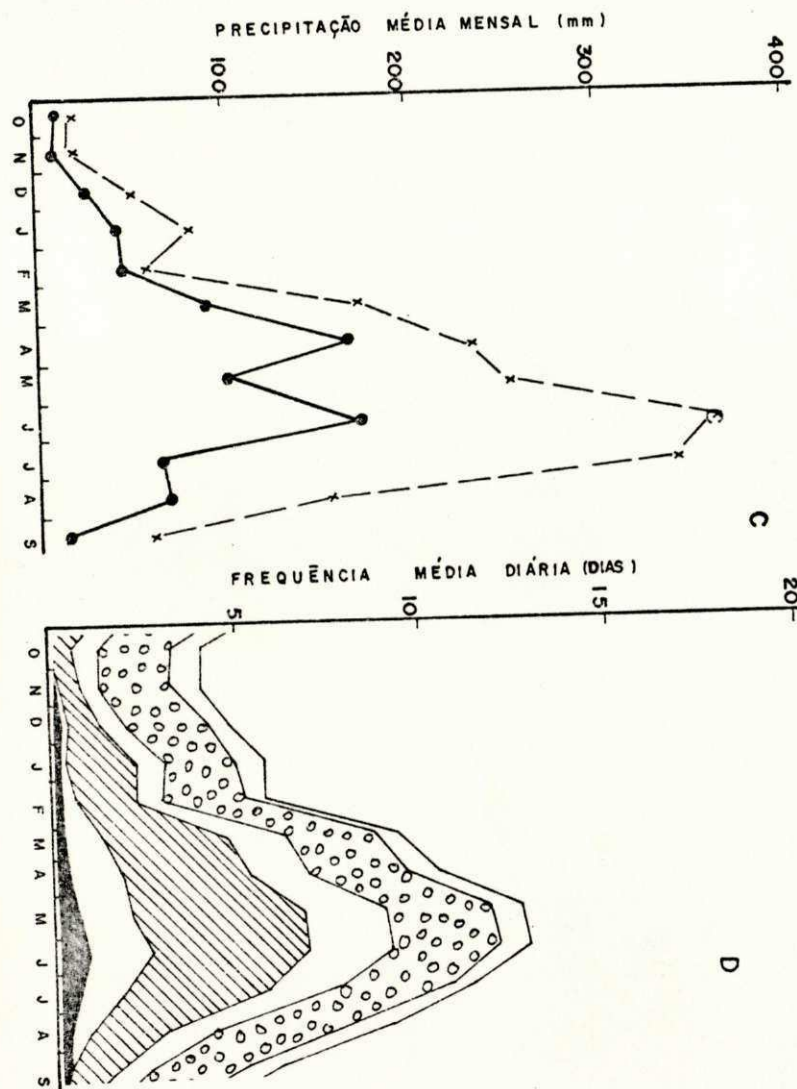


FIG. 19 - CARACTERÍSTICAS DA PRECIPITAÇÃO PLUVIOMÉTRICA EM ANOS SECOS  
 (—●—) E CHUVOSOS (—×—) (A-C) E REGIME PLUVIAL (D).

POSTO: MONTEIRO

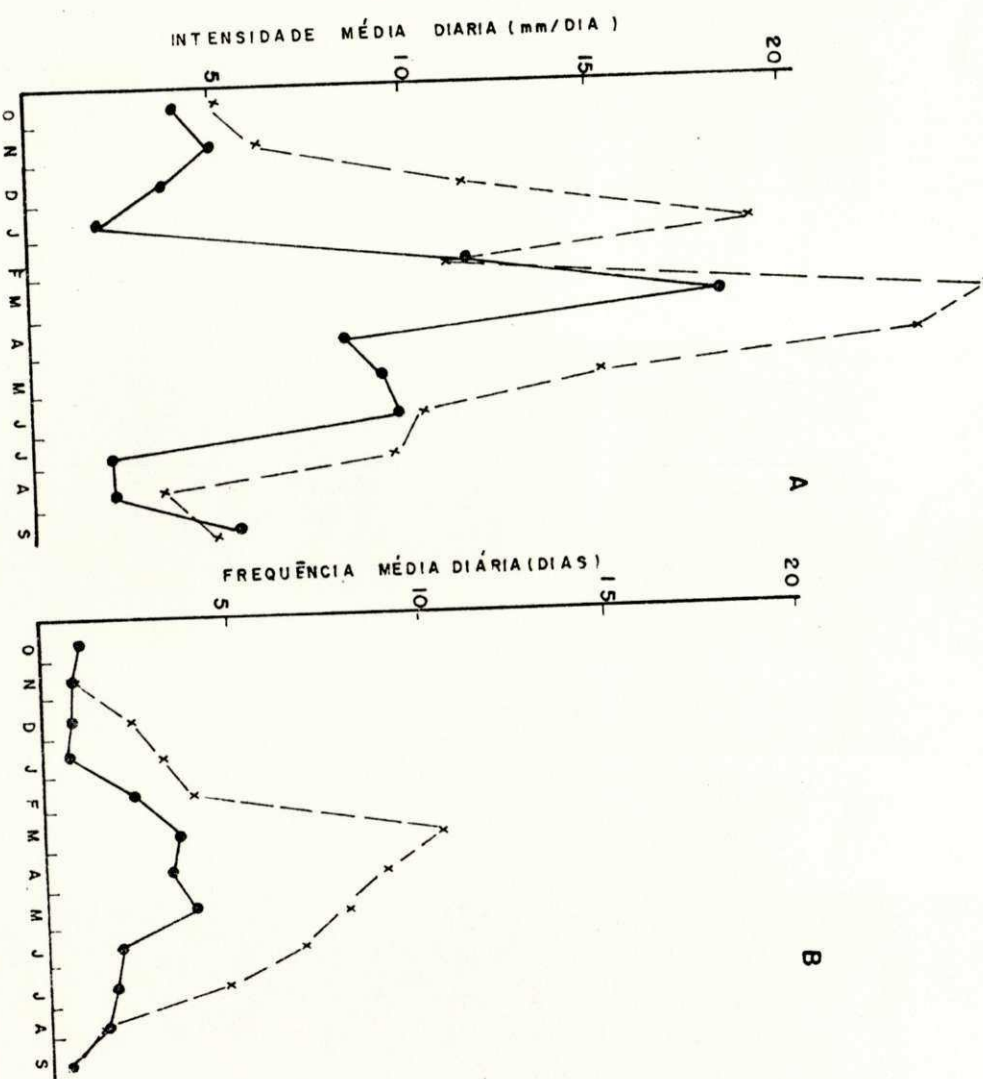
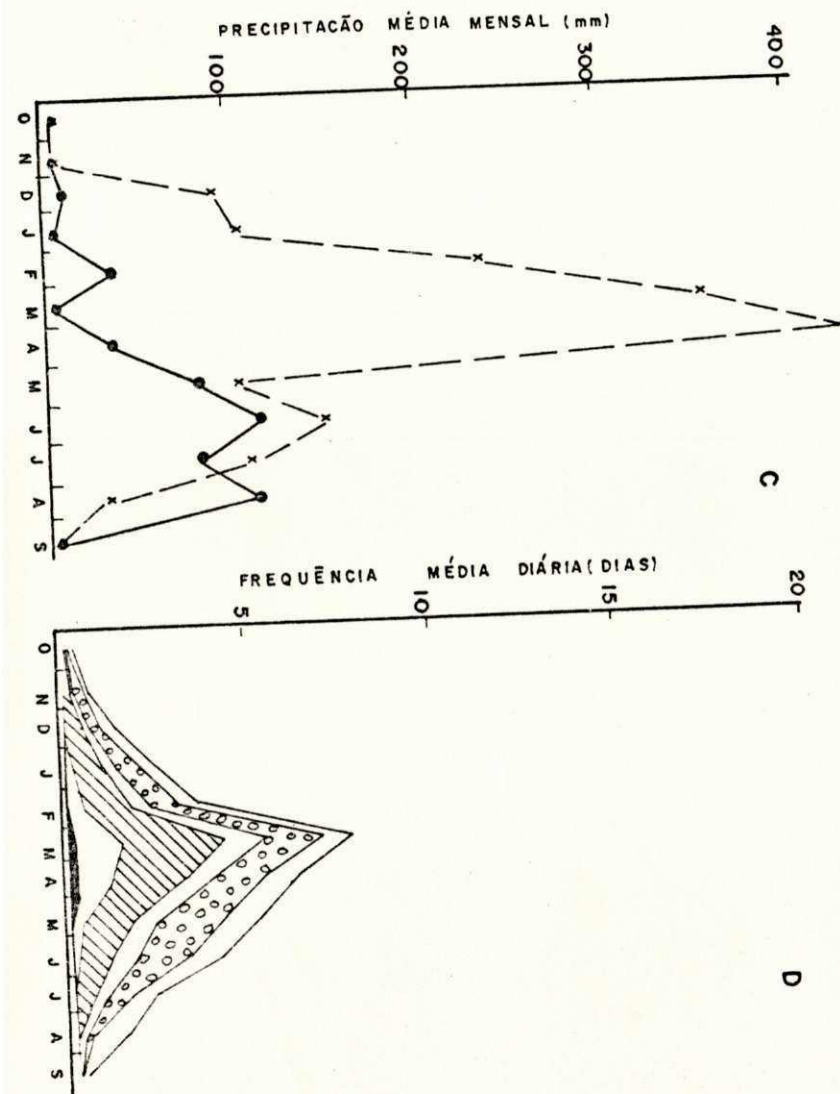


FIG. 20 - CARACTERÍSTICAS DA PRECIPITAÇÃO PLUVIOMÉTRICA EM ANOS SECOS  
 (—●—) E CHUVOSOS (—×—) (A-C) E REGIME PLUVIAL(D).

POSTO: PATOS

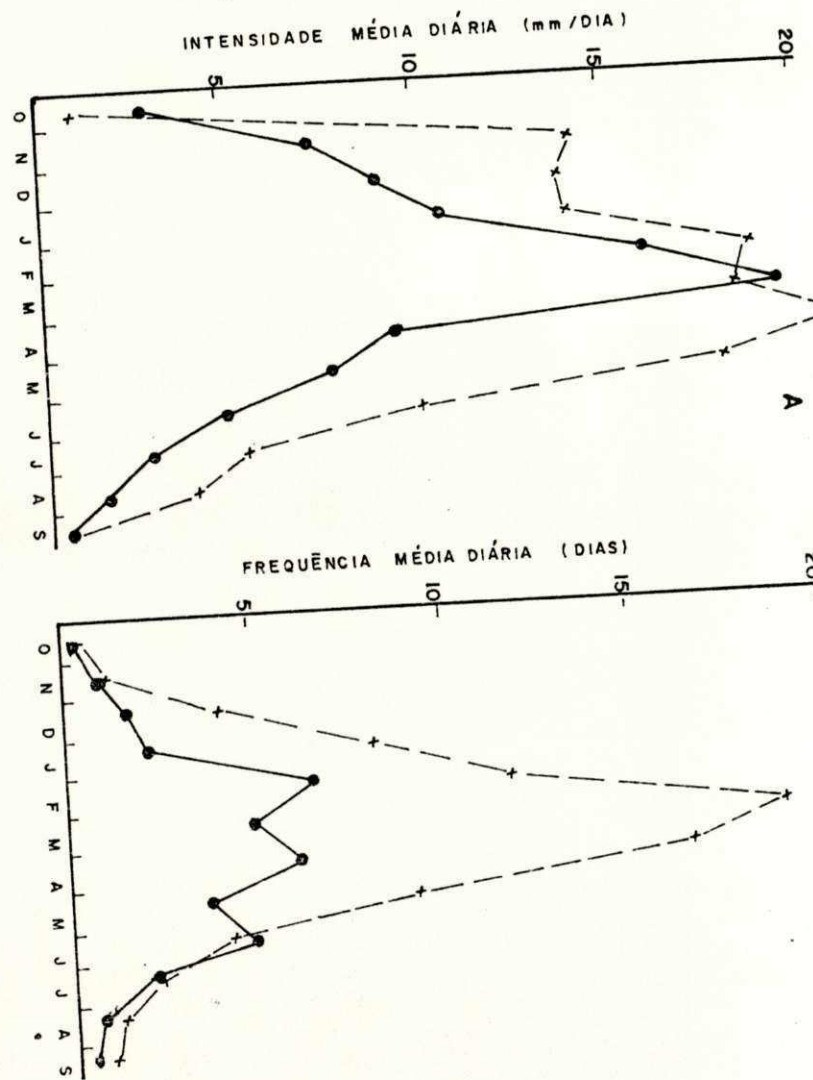
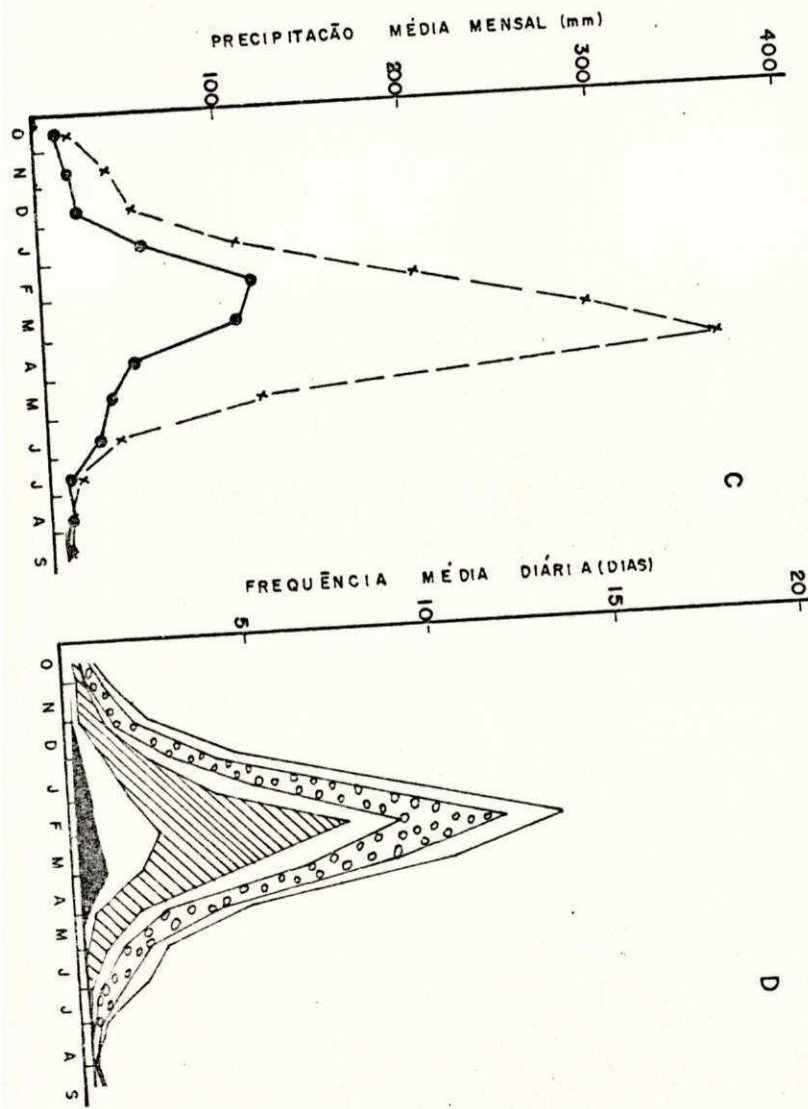
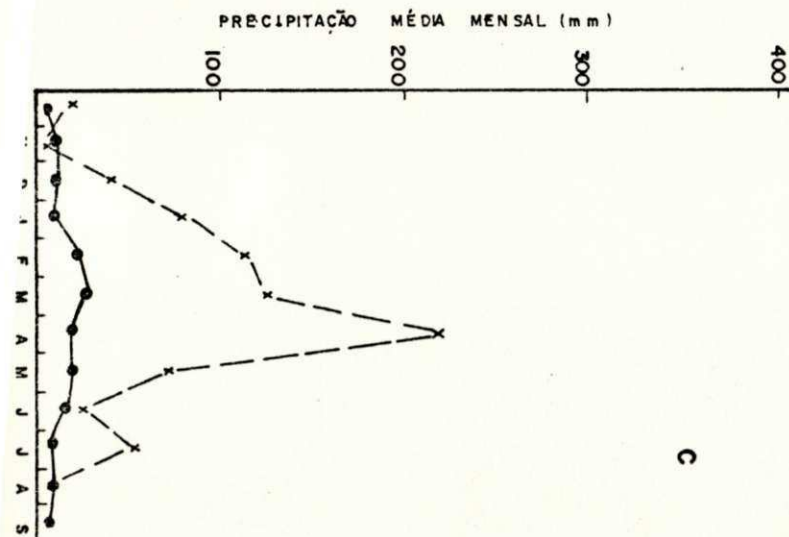
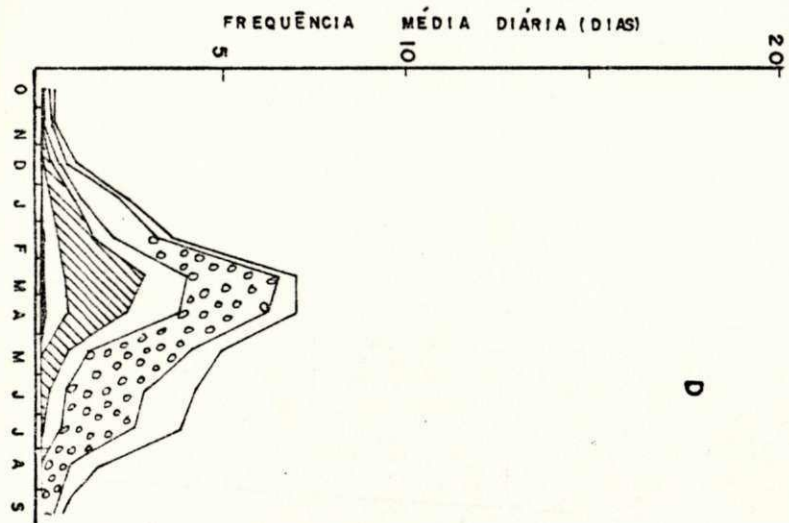


FIG: 21 - CARACTERÍSTICAS DA PRECIPITAÇÃO PLUVIOMÉTRICA EM ANOS SECOS  
 (—●—) E CHUVOSOS (—x—x—) (A - C) E REGIME PLUVIAL (D).

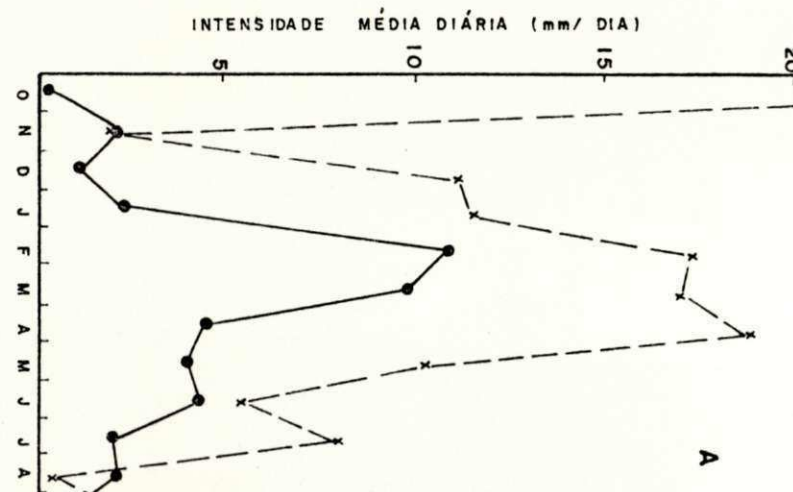
POSTO: PEDRA LAVRADA



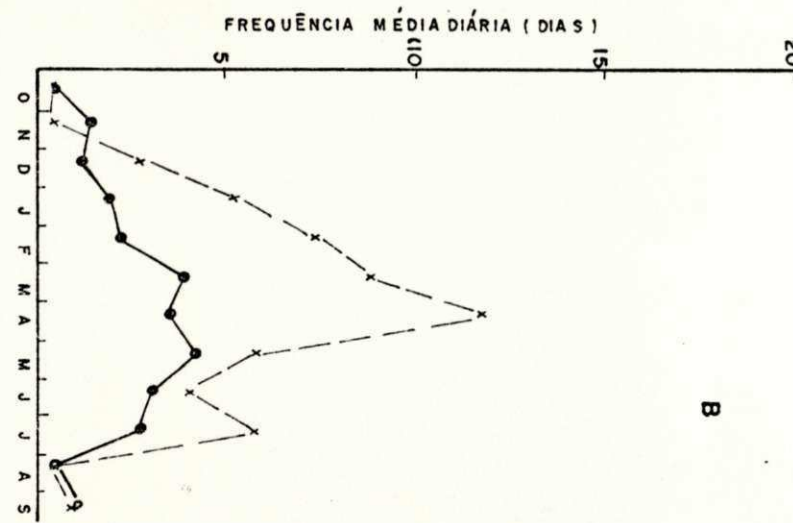
C



D



A



B

**FIG.22 — CARACTERÍSTICAS DA PRECIPITAÇÃO PLUVIOMÉTRICA EM ANOS SECOS (—●—) E CHUVOSOS (—×—) (A-C) E REGIME PLUVIAL (D).**

POSTO: POMBAL

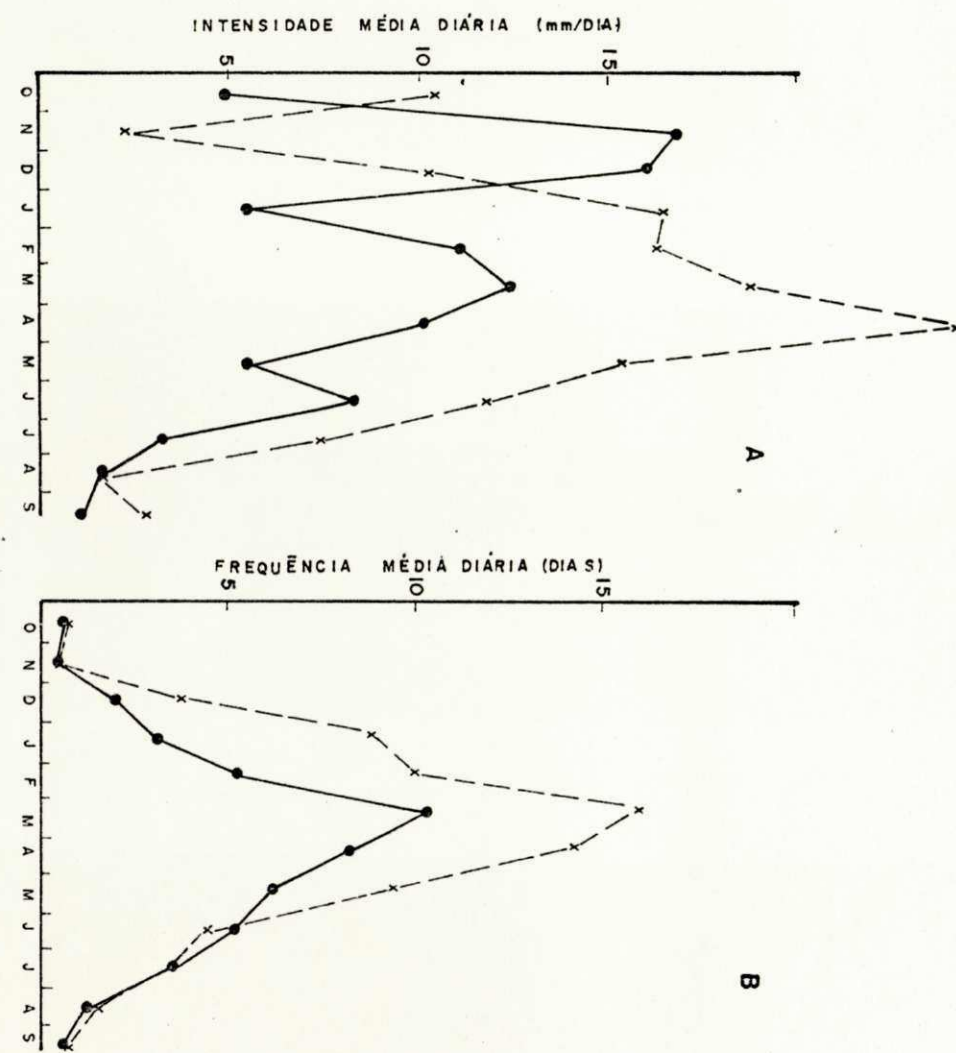
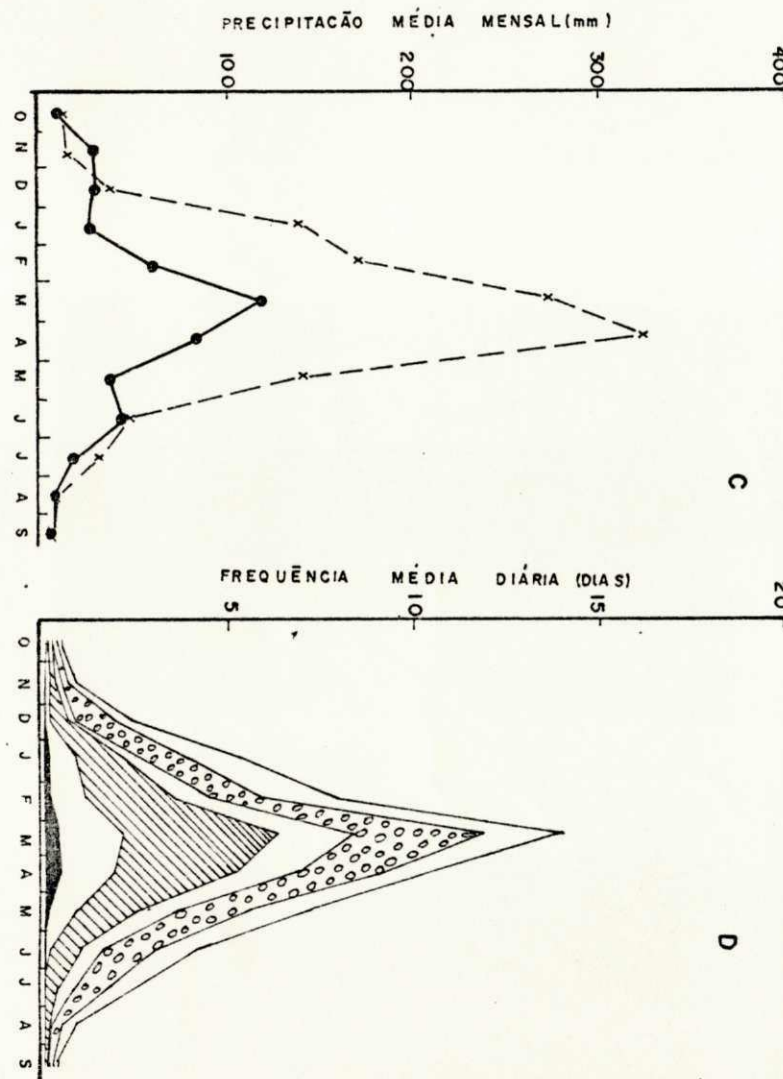


FIG. 23 - CARACTERÍSTICAS DA PRECIPITAÇÃO PLUVIOMÉTRICA EM ANOS SECOS  
 (—●—) E CHUVOSOS (—×—) (A-C) E RÉGIME PLUVIAL (D).

POSTO: PRINCESA ISABEL

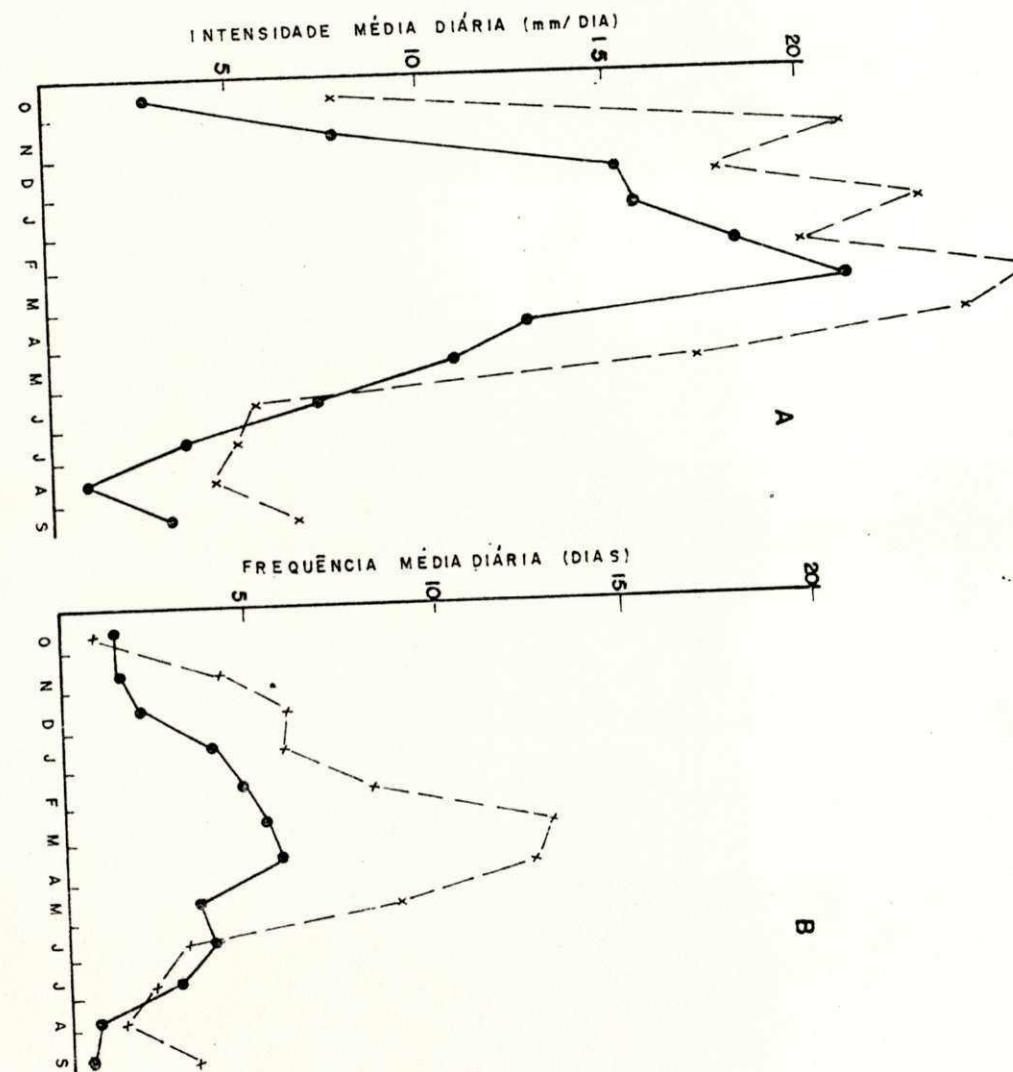
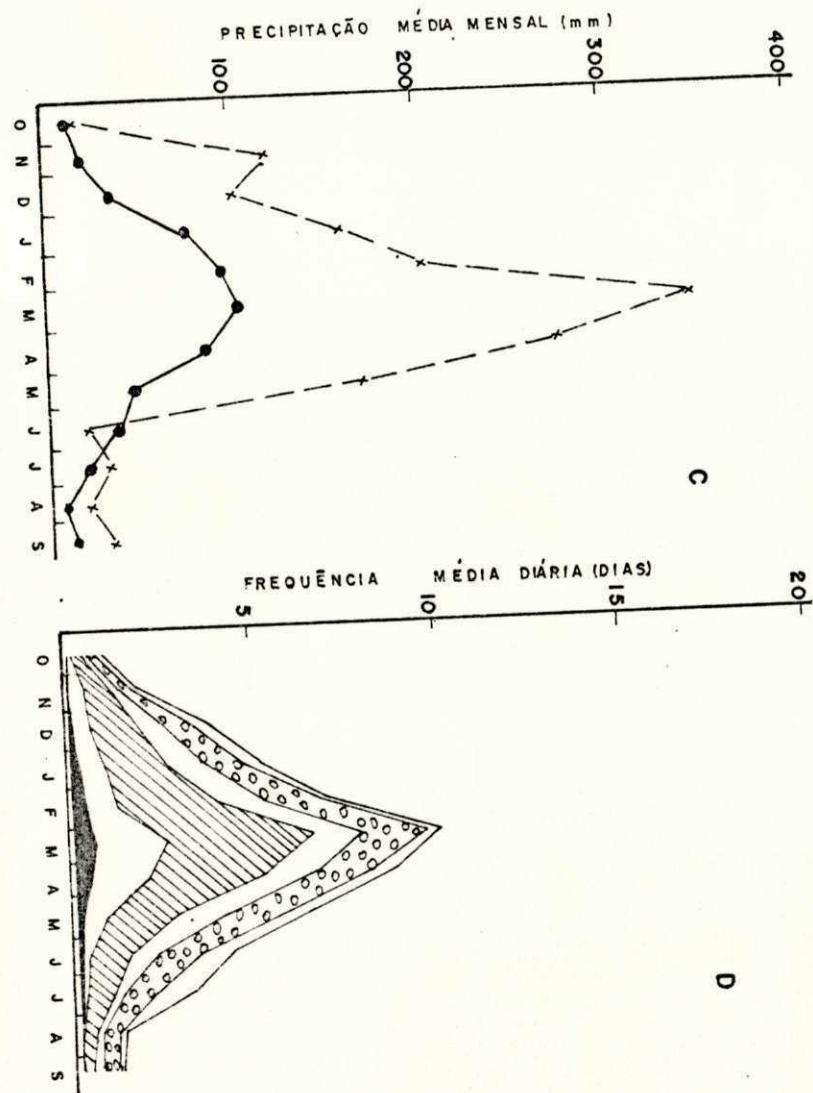


FIG:24 - CARACTERÍSTICAS DA PRECIPITAÇÃO PLUVIOMÉTRICA EM ANOS SECOS  
 (—●—) E CHUVOSOS (—x—x—) (A-C) E REGIME PLUVIAL (D).

POSTO: PICUI

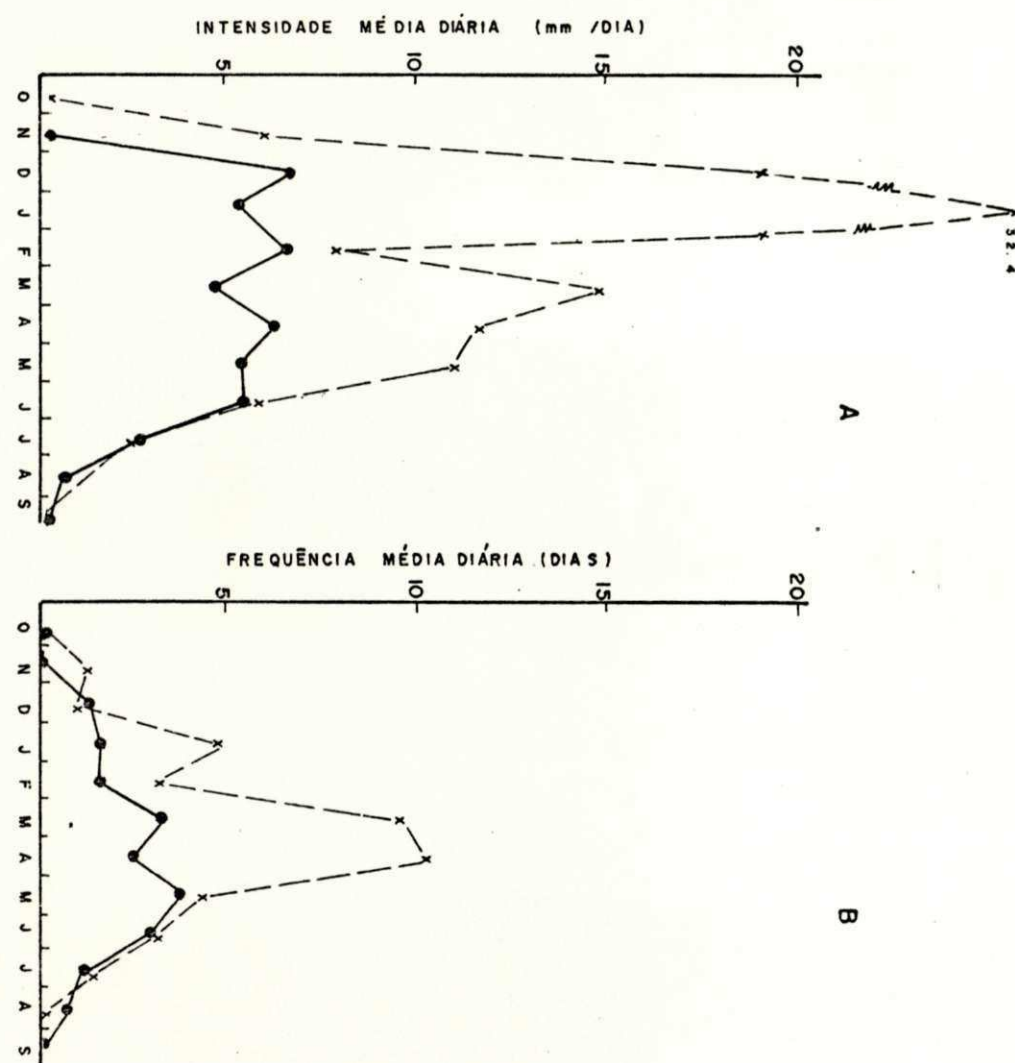
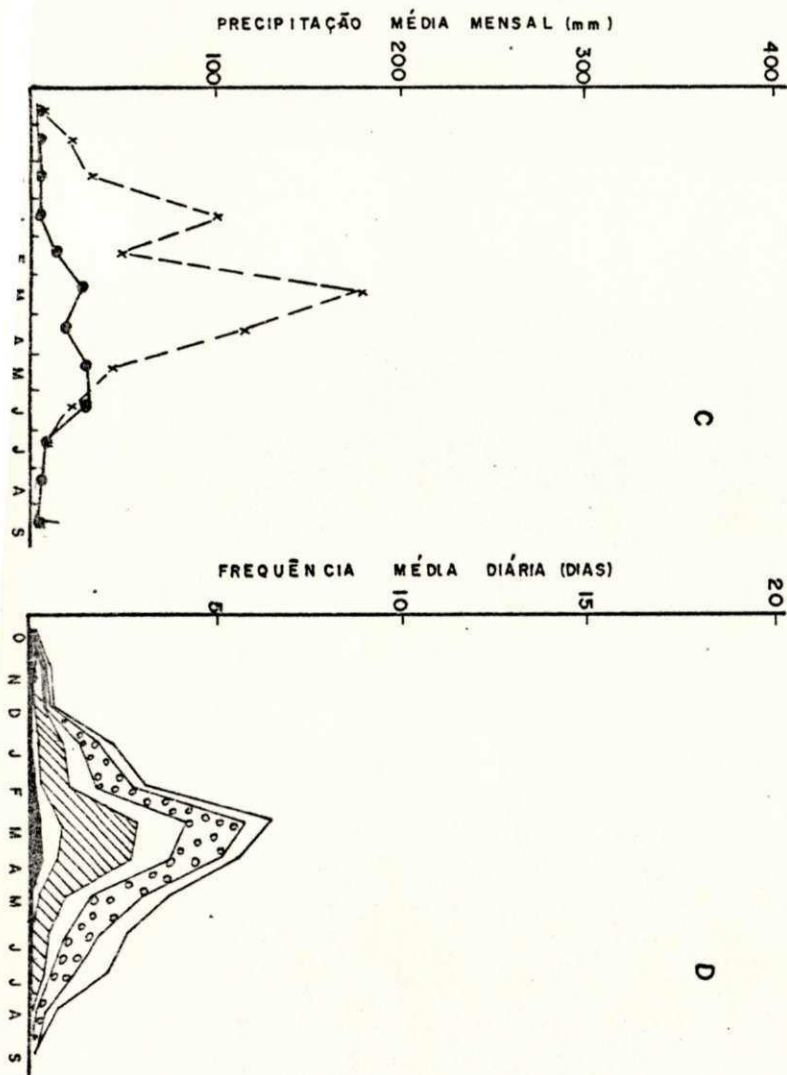


FIG.25 - CARACTERÍSTICAS DA PRECIPITAÇÃO PLUVIOMÉTRICA EM ANOS SECOS  
 (—●—) E CHUVOSOS (—×—) (A - C) E REGIME PLUVIAL (D).

POSTO: SAPÉ

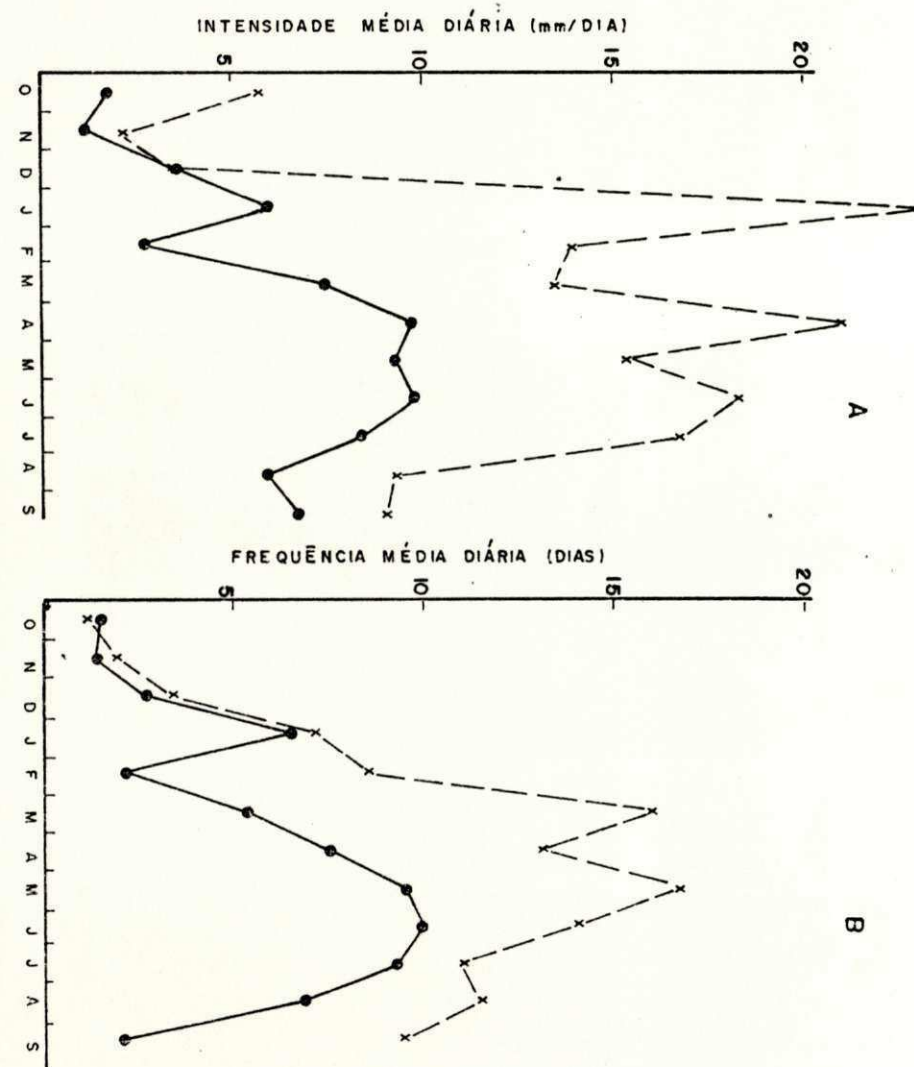
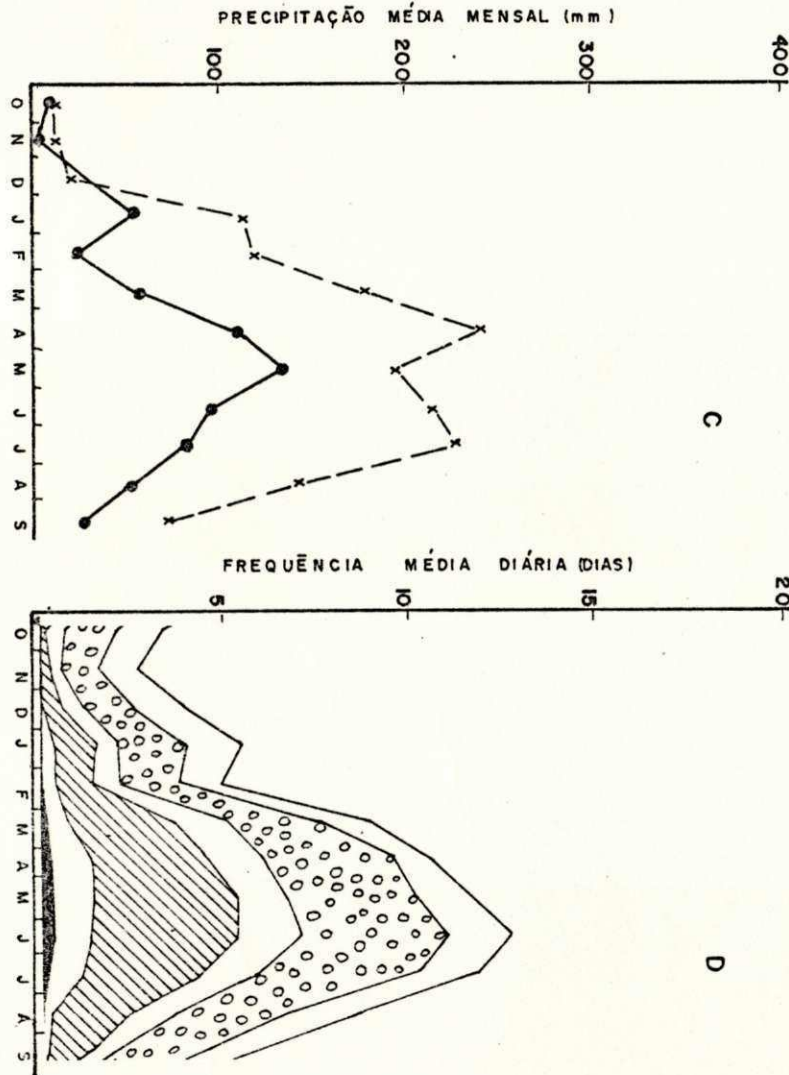


FIG. 26 - CARACTERÍSTICAS DA PRECIPITAÇÃO PLUVIOMÉTRICA EM ANOS SECOS  
 (—●—) E CHUVOSOS (—×—) (A-C) E REGIME PLUVIAL (D).

POSTO: STA. LUZIA

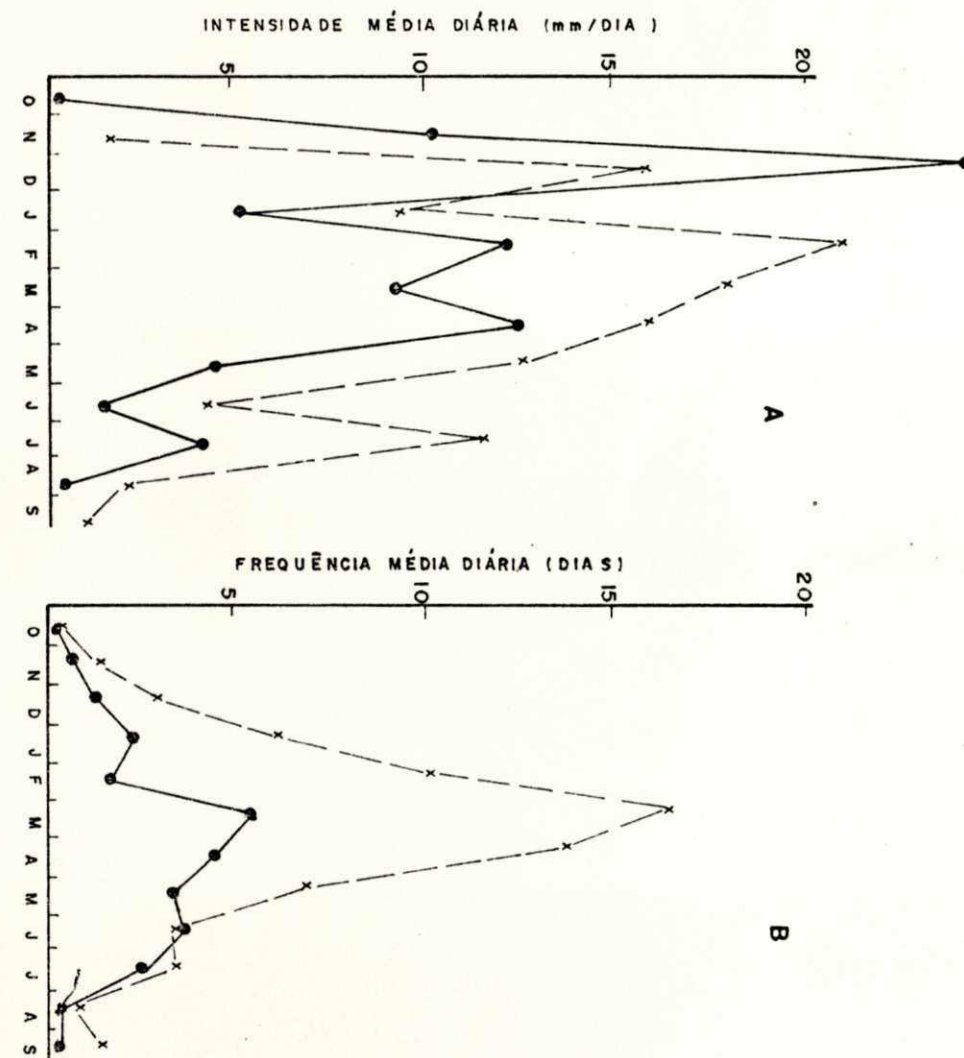
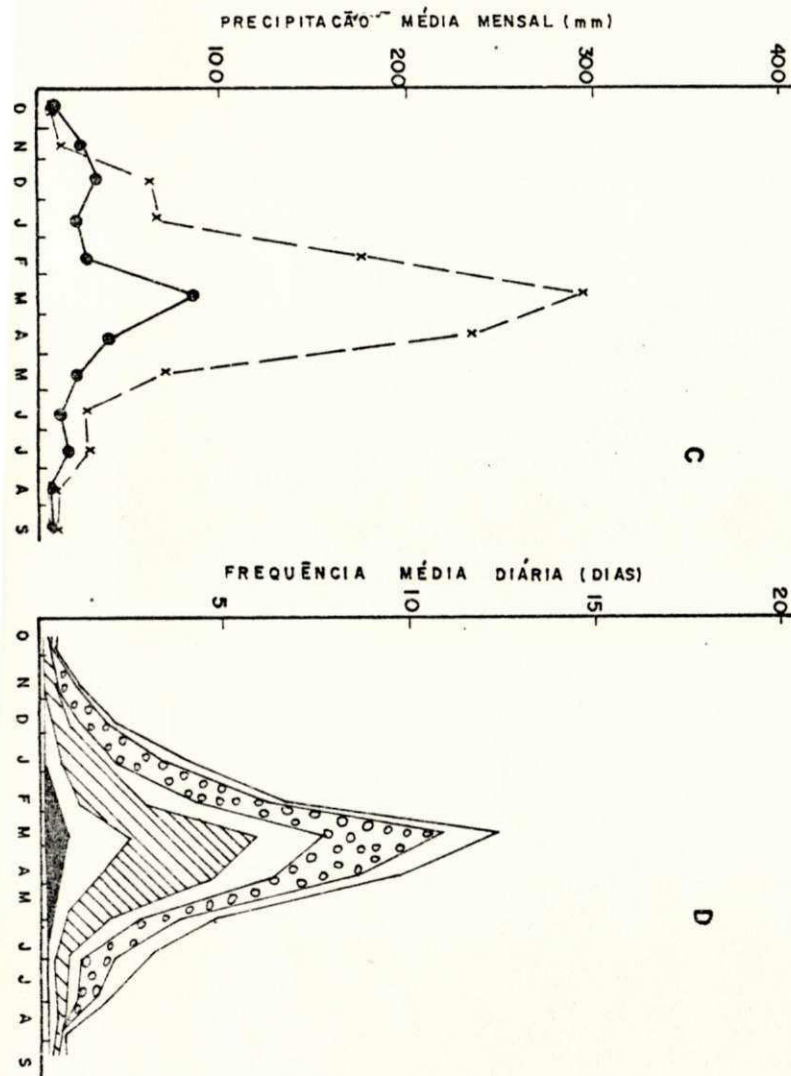


FIG: 27 - CARACTERÍSTICAS DA PRECIPITAÇÃO PLUVIOMÉTRICA EM ANOS SECOS  
 (—●—) E CHUVOSOS (—×—) (A - C) E REGIME PLUVIAL (D).

POSTO: SOUZA

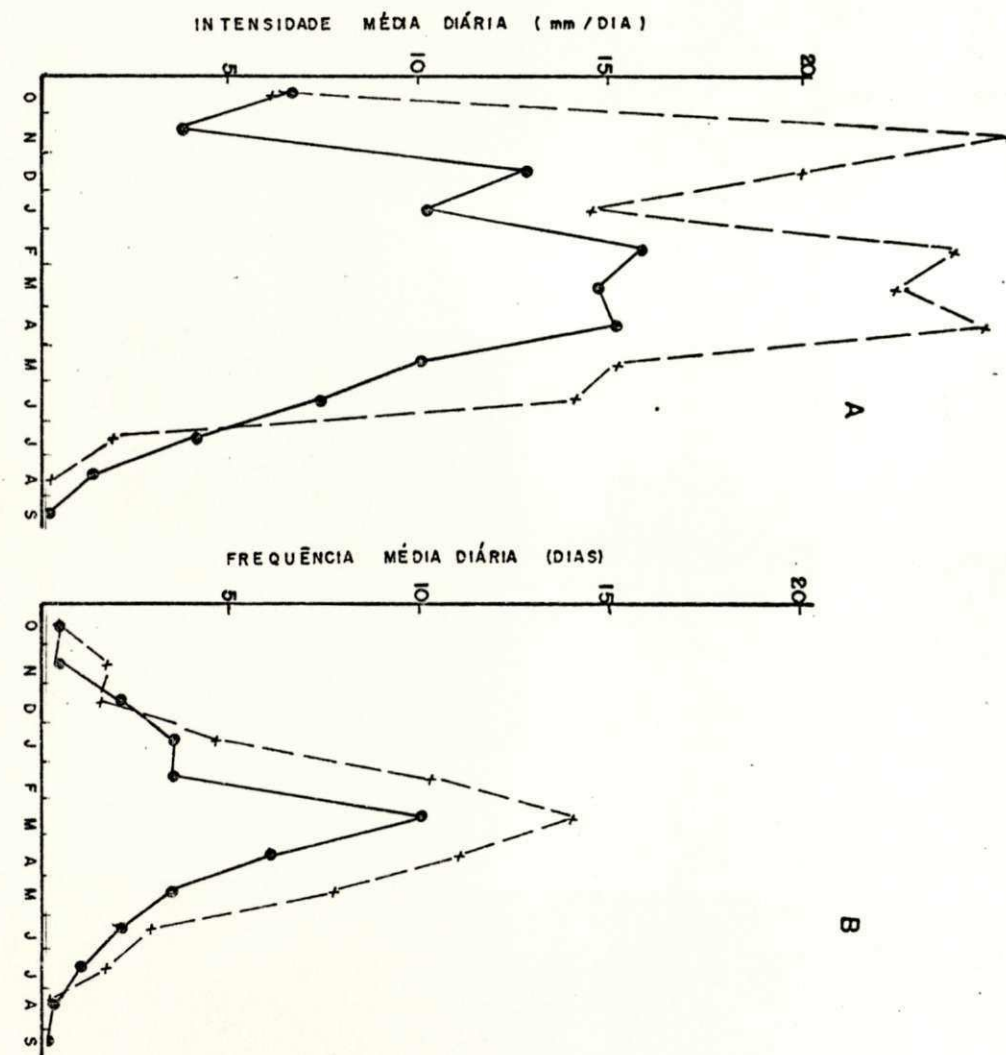
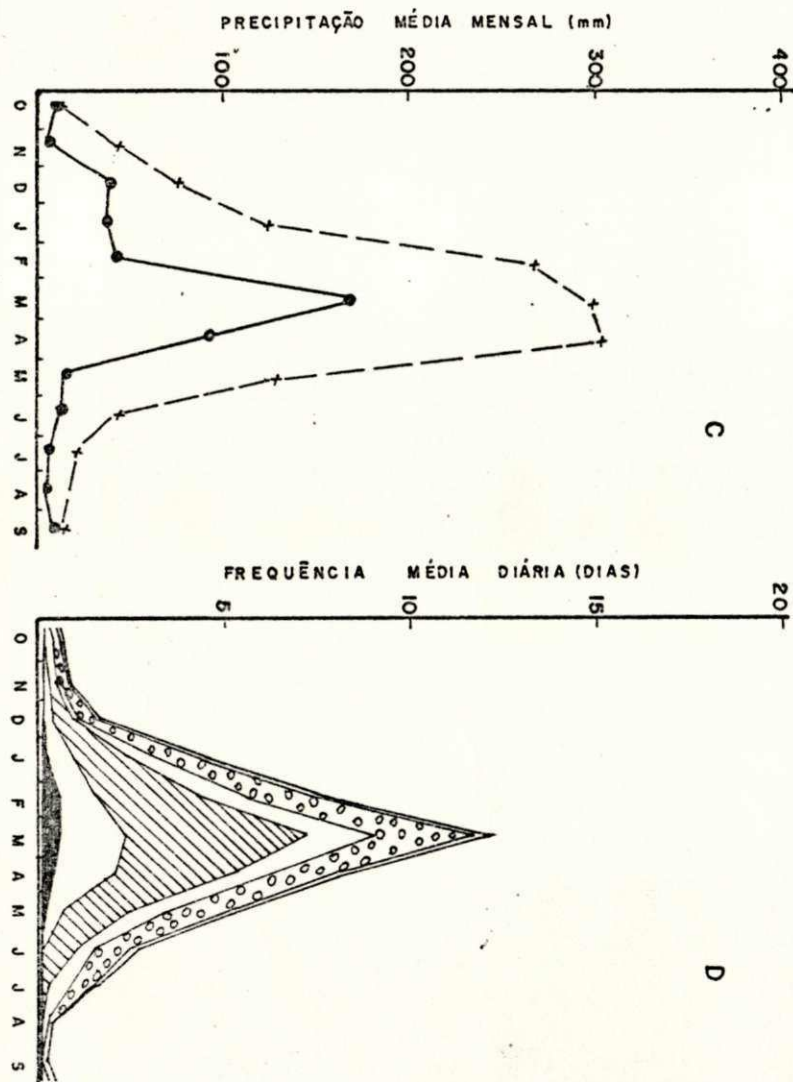


FIG. 28 - CARACTERÍSTICAS DA PRECIPITAÇÃO PLUVIOMÉTRICA EM ANOS SEcos  
 (—●—) E CHUVOSOS (—×—) (A-C) E REGIME PLUVIAL (D).

POSTO: SOLEDADE

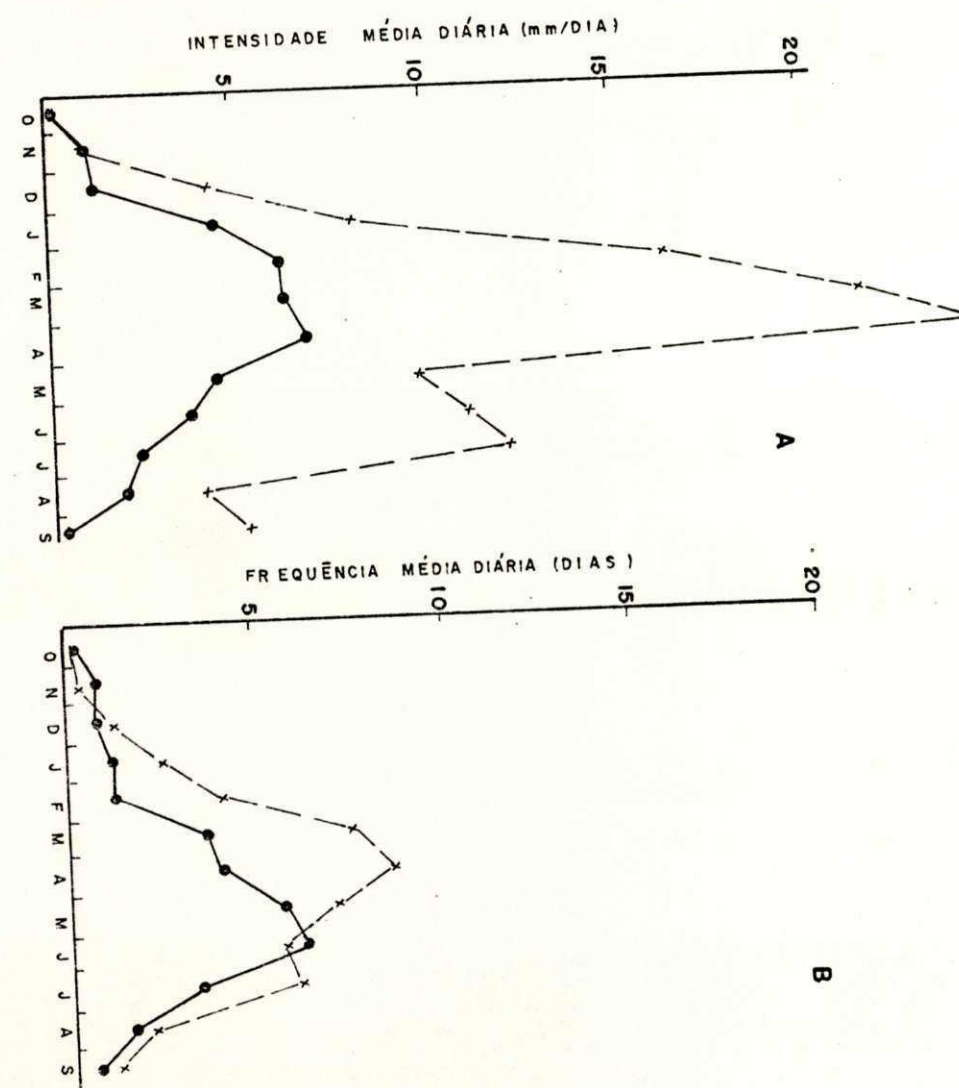
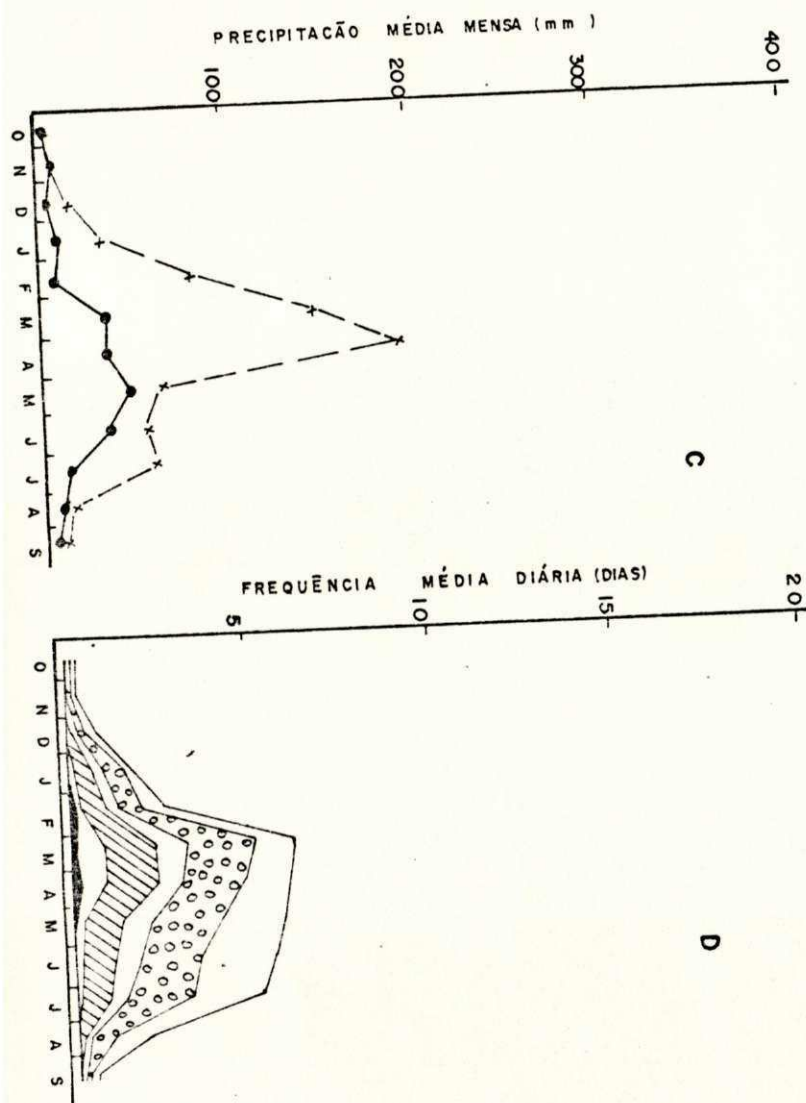


FIG:29 - CARACTERÍSTICAS DA PRECIPITACÃO PLUVIOMÉTRICA EM ANOS SEOS  
 (—●—) E CHUVOSOS (—×—) (A - C) E REGIME PLUVIAL (D).

POSTO: S. JOÃO DO TIGRE

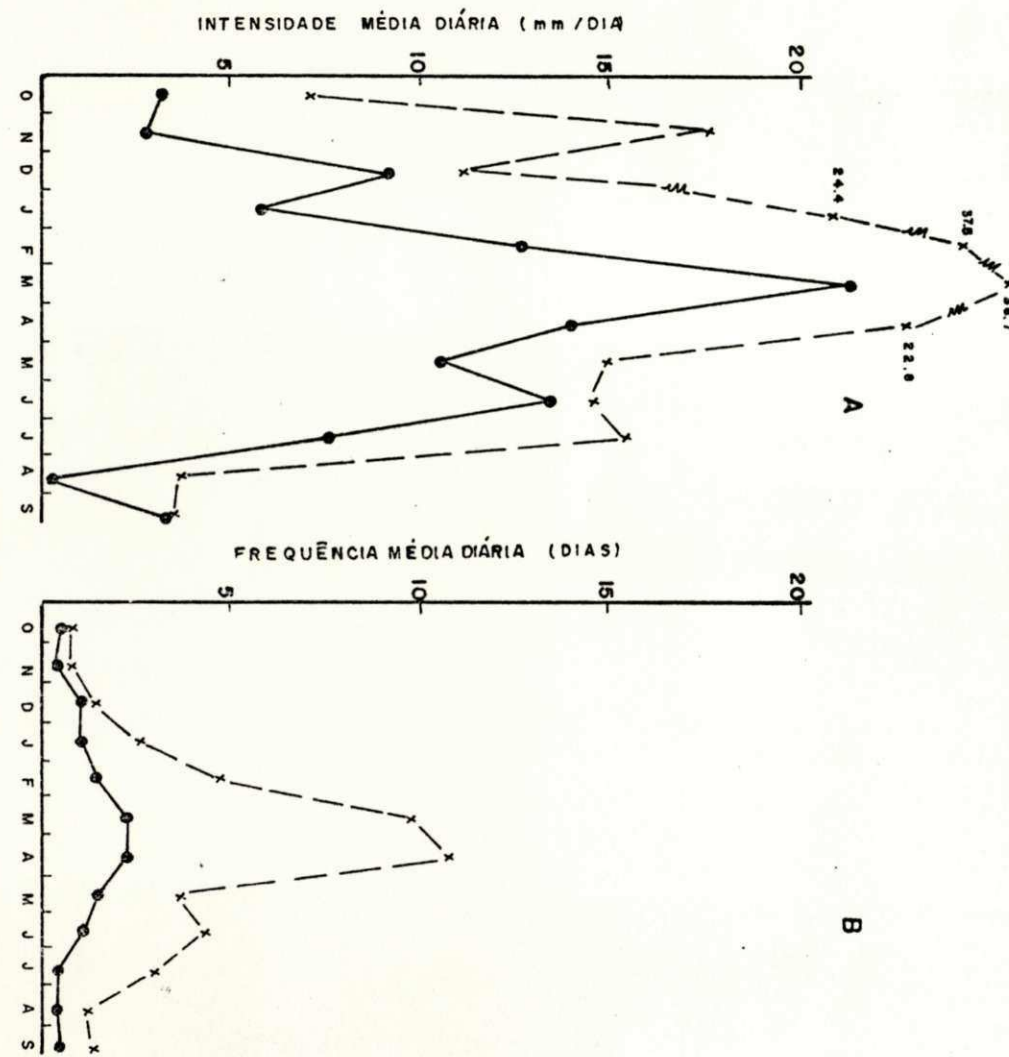
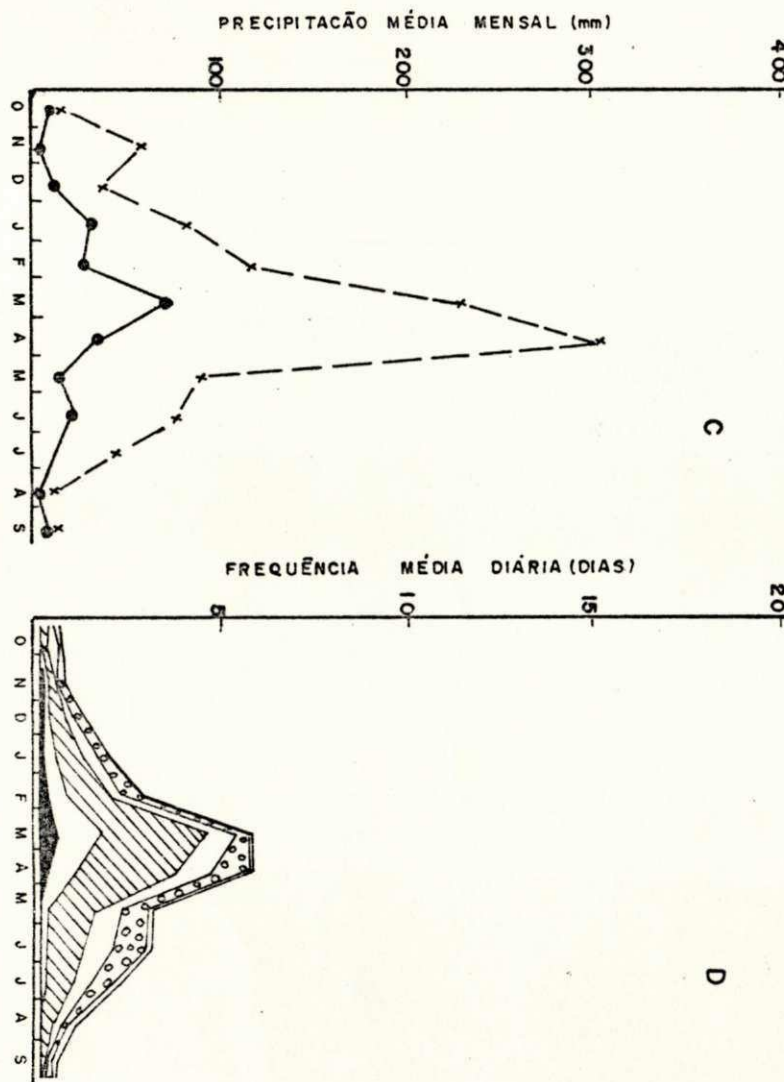


FIG. 30 - CARACTERÍSTICAS DA PRECIPITAÇÃO PLUVIOMÉTRICA EM ANOS SECOS  
 (—●—) E CHUVOSOS (—×—) (A - C) E REGIM PLUVIAL (D).

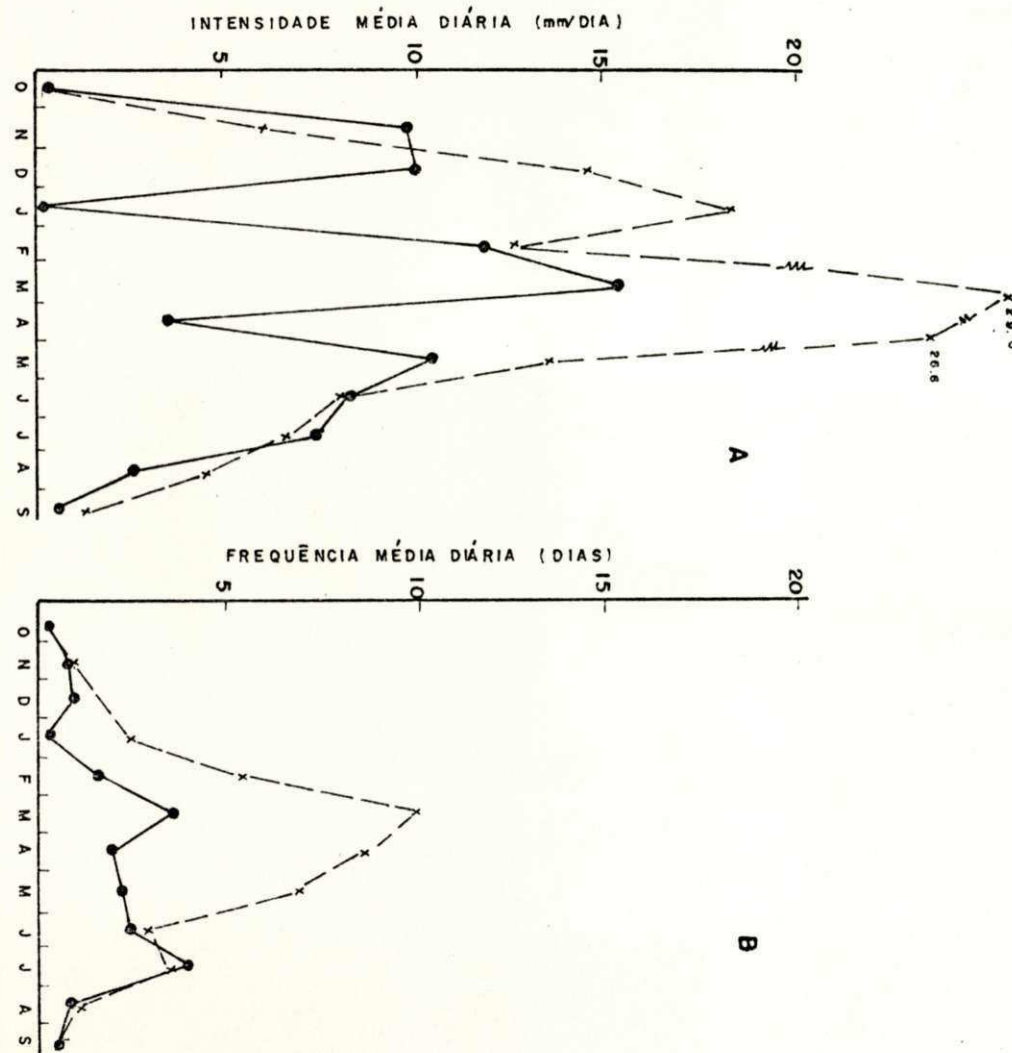
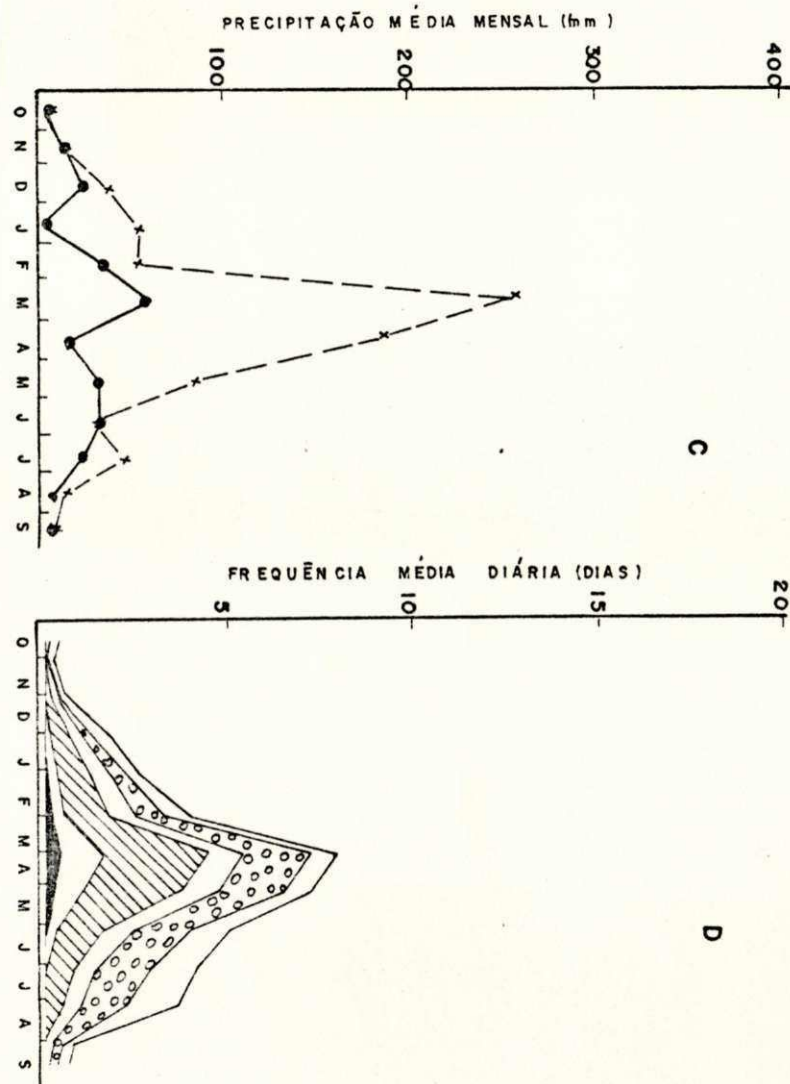


FIG: 31 CARACTERÍSTICAS DA PRECIPITAÇÃO PLUVIOMÉTRICA EM ANOS SECOS  
 (—●—) E CHUVOSOS (—x—x—) (A-C) E REGIME PLUVIAL (D).

POSTO: UMBUZEIRO

